





دانشکده : شیمی

بررسی اثر دما، غلظت، حلال و نوع پیش ماده در تهیه نانو اسپینل
آلومینات روی به روش سل ژل - هیدروترمال

مهندی آبرودی

استاد راهنما:

دکتر مهدی میرزا^{ای}

پایان نامه ارشد جهت اخذ درجه کارشناسی ارشد

شهریور ۱۳۹۳

تعهد نامه

اینجانب مهدی آبرودی دانشجوی دوره کارشناسی ارشد رشته شیمی معدنی دانشگاه صنعتی شهرود نویسنده پایان نامه بررسی اثر دما، غلظت، حلال و نوع پیش ماده در تهیه نانو اسپینل آلومینات روی به روش سل ژل- هیدرورترمال تحت راهنمائی آقای دکتر مهدی میرزایی متعهد می شوم تحقیقات در این پایان نامه توسط اینجانب انجام شده است و از صحت و اصالت بخوردار است.

- در استفاده از نتایج پژوهش‌های محققان دیگر به مرجع مورد استفاده استناد شده است.

• مطالب مندرج در پایان نامه تاکنون توسط خود یا فرد دیگری برای دریافت هیچ نوع مدرک یا امتیازی در هیچ جا ارائه نشده است.

• کلیه حقوق معنوی این اثر متعلق به دانشگاه صنعتی شهرود می باشد و مقالات مستخرج با نام « دانشگاه صنعتی شهرود » و یا « Shahrood University of Technology » به چاپ خواهد رسید.

• حقوق معنوی تمام افرادی که در به دست آمدن نتایج اصلی پایان نامه تأثیرگذار بوده اند در مقالات مستخرج از پایان نامه رعایت می گردد.

• در کلیه مراحل انجام این پایان نامه ، در مواردی که از موجود زنده (یا بافت‌های آنها) استفاده شده است ضوابط و اصول اخلاقی رعایت شده است .

• در کلیه مراحل انجام این پایان نامه، در مواردی که به حوزه اطلاعات شخصی افراد دسترسی یافته یا استفاده شده است اصل رازداری ، ضوابط و اصول اخلاق انسانی رعایت شده است .

تاریخ

امضای دانشجو

مالکیت نتایج و حق نشر

• کلیه حقوق معنوی این اثر و محصولات آن (مقالات مستخرج ، کتاب ، برنامه های رایانه ای ، نرم افزار ها و تجهیزات ساخته شده است) متعلق به دانشگاه صنعتی شهرود می باشد . این مطلب باید به نحو مقتضی در تولیدات علمیس مربوطه ذکر شود .

• استفاده از اطلاعات و نتایج موجود در پایان نامه بدون ذکر مرجع مجاز نمی باشد.

ما حصل آموخته‌ایم را تقدیم می‌کنم به آنان که مرآهای شان آرام بخش آلام زینی ام است

به استوارترین تکیه گاهیم، دستان پر مریدرم

به سبزترین نگاه زندگیم، چشان سبز مادرم

که هرچه آموختم در کتب عشق شما آموختم و هرچه بکوشم قطره‌ای از دریای بی کران مریانیان را پس تو انگیم بگویم.

امروز، هستی ام به امید شاست و فرد اکلید باغ بشم رضای شما

امروز دست آورده‌ی کران سُنگ تراز این ارزان نداشتم تا به خاک پایستان نثار کنم، باشد که حاصل تلاش نیم کونه غبار
حگتیان را بزداید.

تقدیم به خواهرانم:

که وجود شان سادی بخش و صعایشان مایه آرامش من است.

تقدیم به پسر خاله عزیزم که وجودش در نزدیکی خداست

با تقدیر و پاس شایسته از استاد راهنمایی، هچون برادرم جناب آقا‌ی دکتر محمدی میرزاکی که بالطف و صبر بسیار بمواره راه

گشای من در اتمام پایان نامه بوده است و در طول این دو سال بمواره بمحبت ما و راهنمایی‌ها ارزشده مرآمور لطف خود

قرار می‌دادند. با پاس بی‌دین خدمت تمامی دوستان گران مایه ام که مراصمه‌نامه و مشقانه‌نامه داده‌اند.

بوسیه بر دستان پر مریان

مقالات و اختراعات مستخرج از پایان نامه

۱) ثبت اختراع پایان نامه با عنوان

Preparation of zinc aluminate (gahnite) nono-particles by hydrothermal assisted sol-gel process

۲) پانزدهمین سمینار شیمی معدنی ایران، دانشگاه حکیم سبزواری، ۱۲ و ۱۳ شهریور ۱۳۹۲

Effect of Solvent and Precursors on Preparation of Gahnite

چکیده

روی آلومینات (Gahnite) به عنوان یک بستر کاتالیزوری با خواص مطلوب مانند ثبات حرارتی بالا ، مقاومت مکانیکی بالا ، دمای پایین ، انتشار و انعطاف پذیری بهتر و اسیدیته سطح کم شناخته شده است. با توجه به این خصوصیات از آلومینات روی در درجه حرارت بالا ، کاتالیزور ، پشتیبانی کاتالیست ، و پوشش های نوری مورد استفاده قرار گرفته است. به طور کلی ، روش های آماده سازی متعددی برای ساخت گاهنیت وجود دارد که می توان به واکنش های حالت جامد، هم رسوبی، سل-ژل، هیدرولیکی، یا استفاده از پیش ماده های نمکی نام برد. روش های هیدرولیکی، سل ژل و احتراق به طور موفقیت آمیزی در تهیه پودرهای اسپینل خالص به کار می روند. از میان این روش ها فرآیند سل-ژل به سبب گذر از یک مرحله محلول که اختلاط مولکولی پیش ماده ها را امکان پذیر می نماید، به طور وسیعی گسترش یافته است. از طرفی فرآیند هیدرولیکی برای تهیه اکسید های فلزی در دمای پایین تر در مقایسه با دیگر روش های تهیه به کار می رود. در این پژوهش، این دو فرآیند قدرتمند تلفیق شده و فرآیند سل ژل- هیدرولیکی برای تهیه نانوذرات روی آلومینات به کار برده شد.

آلومینیوم سکنده بوتوکساید در جایگاه پیش ماده آلومینیوم و روی استات، روی نیترات و روی کلرید در جایگاه پیش ماده روی با نسبت استوکیومتری مناسب در حلal مناسب مخلوط شدند. سپس مخلوط در یک راکتور فلزی در دماهای گوناگون آبکافت شد. ژلهای بدست آمده در طول شب در دمای ۱۰۰ درجه سانتیگراد خشک شده و در دمای ۷۰۰ درجه سانتیگراد به مدت ۳ ساعت تکلیس شدند. پودرهای بدست آمده با تکنیک های FT-IR, XRD, SEM, BET, DTA/TGA, بررسی شدند. بر این اساس $Zn(acac)_2$ در جایگاه پیش ماده، حلal ۲-بوتانول و دمای هیدرولیکی ۵۰ درجه سانتیگراد برای تهیه نانو ریز گونه های خالص روی آلومینات تکفاز با اندازه ذرات ۹-۲۷ نانومتر پارامترهای برگزیده بودند.

کلمات کلیدی: گاهنیت، سل - ژل، هیدرولیکی، روی آلومینات، نانو ذرات.

فهرست مطالب

عنوان
صفحه

فصل اول : دیباچه

۱	- آلکوکسیدهای فلزی
۲	- ویژگی های آلکوکسیدهای فلزی
۳	- روش های تهیه ای آلکوکسیدها
۴	- کاربردهای آلکوکسید فلزی
۵	- آبکافت آلکوکسیدهای فلزی
۶	- روش سل-ژل
۷	- فرآیند هیدروترمال
۸	- تعیین اندازه ذرات با پراش پرتو ایکس.
۹	- تعیین ثابت شبکه با پراش پرتو ایکس.
۱۰	- اکسیدهای فلزی مختلط
۱۱	- ساختار اسپینل های AB_2O_4
۱۲	- اسپینل نرمال
۱۳	- اسپینل معکوس
۱۴	- خواص شیمیایی و فیزیکی اسپینل ها
۱۵	- کاربرد اسپینلها
۱۶	- روش های تهیه اسپینل ها
۱۷	- $ZnAl_2O_4$ (گاهنیت)
۱۸	- کاربردهای روی آلومینات
۱۹	- مروری بر کارهای گذشته
۲۰	- دستگاه ها
۲۱	- دستگاه طیفسنج تبدیل فوریه فروسرخ
۲۲	- دستگاه پراش پرتو ایکس

فصل دوم : تجربی

۲۳	- دستگاه ها
۲۴	- دستگاه طیفسنج تبدیل فوریه فروسرخ
۲۵	- دستگاه پراش پرتو ایکس

۲۶ دستگاه تجزیه حرارتی	۳-۱-۲
۲۷ دستگاه میکروسکوپ الکترونی روبشی	۴-۱-۲
۲۷ کوره الکتریکی الکتریکی 1200°C	۵-۱-۲
۲۷ BET دستگاه	۶-۱-۲
۲۷ مواد اولیه	۲-۲
۲۷ خشک کردن تولوئن	۳-۲
۲۸ تهیه اسپینل روی آلومینات	۴-۲
۳۱ تهیه پیش ماده روی آلومینات با $\text{Zn}(\text{acac})_2$ و $\text{Al(O}^{\circ}\text{Bu)}_3$ در تولوئن	۱-۴-۲
۳۱ تهیه پیش ماده روی آلومینات با $\text{Zn}(\text{acac})_2$ و $\text{Al(O}^{\circ}\text{Bu)}_3$ در تولوئن/۲-بوتanol	۲-۴-۲
۳۲ تهیه پیش ماده روی آلومینات با $\text{Zn}(\text{acac})_2$ و $\text{Al(O}^{\circ}\text{Bu)}_3$ در ۲-بوتanol	۳-۴-۲
۳۲ تهیه پیش ماده روی آلومینات با ZnCl_2 و $\text{Al(O}^{\circ}\text{Bu)}_3$ در تولوئن/۲-بوتanol	۴-۴-۲
۳۲ تهیه پیش ماده روی آلومینات با ZnCl_2 و $\text{Al(O}^{\circ}\text{bu)}_3$ در ۲-بوتanol	۵-۴-۲
۳۳ تهیه پیش ماده روی آلومینات با ZnCl_2 و $\text{Al(O}^{\circ}\text{Bu)}_3$ در تولوئن/۲-بوتanol	۶-۴-۲
۳۳ تهیه روی آلومینات با پیش ماده $\text{Zn}(\text{NO}_3)_2 \cdot 6\text{H}_2\text{O}$ و $\text{Al(O}^{\circ}\text{Bu)}_3$ در تولوئن/۲-بوتanol	۷-۴-۲
۳۴ تهیه پیش ماده روی آلومینات با $\text{Zn}(\text{NO}_3)_2 \cdot 6\text{H}_2\text{O}$ و $\text{Al(O}^{\circ}\text{Bu)}_3$ در ۲-بوتanol	۸-۴-۲
۳۴ آبکافت $\text{ZnAl}_2(\text{O}^{\circ}\text{bu})_6(\text{X})_2$ به شیوه هیدروترمال	۹-۴-۲
۳۴ خشک کردن و تکلیس ژل های بدست آمده از آبکافت	۹-۴-۲
۳۵ خشک کردن و تکلیس ژل های بدست آمده از آبکافت پیش ماده روی آلومینات با $\text{Zn}(\text{acac})_2$ و $\text{Al(O}^{\circ}\text{Bu)}_3$	۱۰-۴-۲

فصل سوم : بحث و نتیجه گیری

۳۸ ۱-بررسی نتایج آبکافت ترکیب $\text{ZnAl}_2(\text{O}^{\circ}\text{Bu})_6(\text{X})_2$ به روش هیدروترمال	۱-۳
۳۸ ۱-۱-۱- طیف‌سنجی تبدیل فوریه فروسرخ FTIR	۱-۱-۳
۴۲ ۱-۲-۱- تجزیه حرارتی TG/DTA نمونه SP9 در ۲-بوتanol در دمای ۵۰ درجه سانتی گراد	۱-۲-۱-۳
۴۳ ۱-۲-۲- تجزیه حرارتی TG/DTA نمونه SP12 در ۲-بوتanol در دمای 200 درجه سانتی گراد	۱-۲-۲-۳
۴۴ ۱-۳-۱- پراش پرتو ایکس از نمونه پودر PXRD	۱-۳-۱-۳
۴۶ ۱-۳-۲- اثر دمای هیدروترمال بر نمونه های حاصل از آبکافت هیدروترمال $\text{Zn}(\text{acac})_2 + \text{Al(O}^{\circ}\text{Bu)}_3$ در حلال های مختلف پس از تکلیس	۱-۳-۲-۳

۲-۳-۱-۳- اثر دمای هیدرترمال بر نمونه های حاصل از آبکافت هیدرورترمال _۳ و ZnCl ₂ + Al(O ⁸ Bu) ₃	۵۰
۳-۱-۳- اثر دمای هیدرترمال بر نمونه های حاصل از آبکافت هیدرورترمال _۳ آبدار در حلول های مختلف پس از تکلیس..... ZnCl ₂ .H ₂ O+ Al(O ⁸ Bu) ₃	۵۴
۳-۱-۳- اثر دمای هیدرترمال بر نمونه های حاصل از آبکافت هیدرورترمال _۳ در حلول های مختلف پس از تکلیس..... Zn(NO ₃) ₂ + Al(O ⁸ Bu) ₃	۵۷
۴-۳-۱-۳- اثر حلول.....	۵۹
۵-۳-۱-۳- اثر پیش ماده.....	۶۵
۶-۳-۱-۳- اثر دمای تکلیس.....	۶۸
۷-۳-۱-۳- اثر دمای هیدرترمال بر نمونه های حاصل از آبکافت هیدرورترمال _۳ در بوتانول..... Zn(acac) ₂ + Al(O ⁸ Bu) ₃	۷۰
۷-۳-۱-۳- ابعاد بلور کها.....	۷۲
۴-۱-۳- بررسی و اندازه گیری میزان تخلخل و سطح موثر به وسیله دستگاه BET	۷۴
۴-۱-۳- بررسی مورفولوژی با میکروسکوپ الکترونی روبشی SEM.....	۷۶
۴-۱-۴-۱-۳- بررسی مورفولوژی نمونه های آبکافت هیدرورترمال _۲ Al(O ⁸ Bu) ₃ +Zn(acac) ₂ با غلظت ۰/۲۵ مولار در بوتانول.....	۷۸
۴-۱-۴-۲- بررسی مورفولوژی نمونه های آبکافت هیدرورترمال در دمای ۵۰°C.....	۷۹
۴-۱-۳-۴-۱-۳- بررسی مورفولوژی نمونه های آبکافت هیدرورترمال _۲ Al(O ⁸ Bu) ₃ +Zn(acac) ₂ با غلظت ۰/۲۵ مولار در بوتانول در دماهای ۴۰۰-۸۰۰ °C.....	۸۳
۲-۳- نتیجه گیری.....	۹۳
۳-۳- آینده نگری.....	۹۵
منابع.....	۹۶

فهرست شکل‌ها

فصل اول

شکل ۱-۱. کاربردهای روش هیدروترمال.	۹
شکل ۱-۲. ارتباط علوم با روش هیدروترمال.	۱۰
شکل ۱-۳. ساختار اسپینل AB_2O_4	۱۴
شکل ۱-۴. ساختار اسپینل نرمال.	۱۵
شکل ۱-۵ ساختار بلوری ZnAl_2O_4	۱۹
شکل ۱-۶: مراحل ساخت روی آلومینات [۵۰]	۲۲
شکل ۱-۷ مراحل ساخت روی آلومینات [۴۵]	۲۳

فصل دوم

شکل ۲-۱. تصویر راکتور به کار گرفته شده برای آبکافت به شیوهٔ هیدروترمال.	۳۵
شکل ۲-۲. بخش‌های فرآیند ساخت گاهنیت.	۳۶

فصل سوم

شکل ۳-۱. طیف FT-IR نمونه (SP12)، آبکافت هیدروترمال در ۲-بوتانول دمای 0°C	۴۰
شکل ۳-۲. طیف FT-IR نمونهٔ (SP12)، آبکافت هیدروترمال در ۲-بوتانول دمای 200°C تکلیس شده در دمای 200°C به مدت ۳ ساعت	۴۰
شکل ۳-۳: طیف‌های FT-IR نمونه‌های (SP9-SP12)، آبکافت هیدروترمال در ۲-بوتانول به ترتیب در دماهای 200°C ، 150°C ، 100°C ، 50°C تکلیس شده در دمای 200°C به مدت ۳ ساعت	۴۱
شکل ۳-۴. نمودار تجزیه حرارتی ژل حاصل از آبکافت نمونهٔ SP9 در ۲-بوتانول در دمای ۵۰ درجه سانتی‌گراد	۴۲
شکل ۳-۵. نمودار تجزیه حرارتی ژل حاصل از آبکافت نمونهٔ SP12 در ۲-بوتانول در دمای ۲۰۰ درجه سانتی‌گراد	۴۳
شکل ۳-۶. الگوی پراش پرتو ایکس آبکافت هیدروترمال Zn(acac) ₂ + Al(O ⁸ Bu) ₃ با غلظت ۲۵/۰ مولار در تولوئن در دمای 100°C تا SP4 و 150°C در دمای 200°C پس از تکلیس در 700°C	۴۷
شکل ۳-۷. الگوی پراش پرتو ایکس آبکافت هیدروترمال Zn(acac) ₂ + Al(O ⁸ Bu) ₃ با غلظت ۲۵/۰ مولار در مخلوط تولوئن و ۲-بوتانول (SP8 تا SP5) در دمای 100°C ، 150°C و 200°C پس از تکلیس در 700°C	۴۸
شکل ۳-۸. الگوی پراش پرتو ایکس آبکافت هیدروترمال Zn(acac) ₂ + Al(O ⁸ Bu) ₃ با غلظت ۲۵/۰ مولار در ۲-بوتانول (SP12 تا SP9) در دمای 100°C ، 150°C و 200°C پس از تکلیس در 700°C	۴۹

- شکل ۹-۳. الگوی پراش پرتو ایکس آبکافت هیدروترمال $Zn(Cl)_2 + Al(O^3Bu)_3$ با غلظت ۲۵/۰ مولار در مخلوط تولوئن و ۲-بوتanol (SP16 تا SP13) در دمای $100^{\circ}C$ و $150^{\circ}C$ پس از تکلیس در $200^{\circ}C$۵۱
- شکل ۱۰-۳. الگوی پراش پرتو ایکس آبکافت هیدروترمال $Zn(Cl)_2 + Al(O^3Bu)_3$ با غلظت ۲۵/۰ مولار در ۲-بوتanol (SP20 تا SP17) در دمای $100^{\circ}C$ و $150^{\circ}C$ پس از تکلیس در $200^{\circ}C$۵۲
- شکل ۱۱-۳. الگوی پراش پرتو ایکس آبکافت هیدروترمال $Zn(Cl)_2 + Al(O^3Bu)_3$ آبدار با غلظت ۲۵/۰ مولار در مخلوط تولوئن و ۲-بوتanol (SP24 تا SP21) در دمای $100^{\circ}C$ و $150^{\circ}C$ پس از تکلیس در $200^{\circ}C$۵۳
- شکل ۱۲-۳. الگوی پراش پرتو ایکس آبکافت هیدروترمال $Zn(NO_3)_2 + Al(O^3Bu)_3$ با غلظت ۲۵/۰ مولار در مخلوط تولوئن و ۲-بوتanol (SP28 تا SP24) در دمای $100^{\circ}C$ و $150^{\circ}C$ پس از تکلیس در $200^{\circ}C$۵۴
- شکل ۱۳-۳. الگوی پراش پرتو ایکس آبکافت هیدروترمال $Zn(NO_3)_2 + Al(O^3Bu)_3$ با غلظت ۲۵/۰ مولار در ۲-بوتanol (SP32 تا SP29) در دمای $100^{\circ}C$ و $150^{\circ}C$ پس از تکلیس در $200^{\circ}C$۵۵
- شکل ۱۴-۳. مقایسه الگوی پراش پرتو ایکس آبکافت هیدروترمال $Al(O^3Bu)_3 + Zn(acac)_2$ در تولوئن (SP1)، $Al(O^3Bu)_3 + Zn(acac)_2$ در ۲-بوتanol (SP9)، $Al(O^3Bu)_3 + Zn(acac)_2$ در تولوئن / ۲-بوتanol (SP5)، $Al(O^3Bu)_3 + ZnCl_2$ در ۲-بوتanol (SP17)، $Al(O^3Bu)_3 + ZnCl_2$ در تولوئن / ۲-بوتanol (SP24)، $Al(O^3Bu)_3 + Zn(NO_3)_2$ در ۲-بوتanol (SP29)، $Al(O^3Bu)_3 + ZnCl_2$ در تولوئن / ۲-بوتanol (SP21) در دمای $50^{\circ}C$ ، پس از تکلیس در دمای $100^{\circ}C$۶۱
- شکل ۱۵-۳. مقایسه الگوی پراش پرتو ایکس آبکافت هیدروترمال $Al(O^3Bu)_3 + Zn(acac)_2$ در تولوئن (SP3)، $Al(O^3Bu)_3 + Zn(acac)_2$ در ۲-بوتanol (SP11)، $Al(O^3Bu)_3 + Zn(acac)_2$ در تولوئن / ۲-بوتanol (SP7)، $Al(O^3Bu)_3 + ZnCl_2$ در ۲-بوتanol (SP19)، $Al(O^3Bu)_3 + ZnCl_2$ در تولوئن / ۲-بوتanol (SP26)، $Al(O^3Bu)_3 + Zn(NO_3)_2$ در ۲-بوتanol (SP22)، $Al(O^3Bu)_3 + ZnCl_2$ در دمای $100^{\circ}C$ ، پس از تکلیس در دمای $100^{\circ}C$۶۲
- شکل ۱۶-۳. مقایسه الگوی پراش پرتو ایکس آبکافت هیدروترمال $Al(O^3Bu)_3 + Zn(acac)_2$ در تولوئن (SP3)، $Al(O^3Bu)_3 + Zn(acac)_2$ در ۲-بوتanol (SP11)، $Al(O^3Bu)_3 + Zn(acac)_2$ در تولوئن / ۲-بوتanol (SP7)، $Al(O^3Bu)_3 + ZnCl_2$ در ۲-بوتanol (SP19)، $Al(O^3Bu)_3 + ZnCl_2$ در تولوئن / ۲-بوتanol (SP26)، $Al(O^3Bu)_3 + Zn(NO_3)_2$ در ۲-بوتanol (SP23) در دمای $150^{\circ}C$ ، پس از تکلیس در دمای $100^{\circ}C$۶۳
- شکل ۱۷-۳. مقایسه الگوی پراش پرتو ایکس آبکافت هیدروترمال $Al(O^3Bu)_3 + Zn(acac)_2$ در تولوئن (SP4)، $Al(O^3Bu)_3 + Zn(acac)_2$ در ۲-بوتanol (SP12)، $Al(O^3Bu)_3 + Zn(acac)_2$ در تولوئن / ۲-بوتanol (SP8)، $Al(O^3Bu)_3 + ZnCl_2$ در ۲-بوتanol (SP20)، $Al(O^3Bu)_3 + ZnCl_2$ در تولوئن / ۲-بوتanol (SP16)، $Al(O^3Bu)_3 + Zn(NO_3)_2$ در ۲-بوتanol (SP27)، $Al(O^3Bu)_3 + Zn(NO_3)_2$ در تولوئن / ۲-بوتanol (SP27)

۱۸-۳. الگوی پراش پرتو ایکس نمونه های حاصل از آبکافت ۲-بوتانول (SP9) در دمای 400°C و 500°C با غلظت 0.25 مولار در ۶۶	$\text{Al(O}^{\text{s}}\text{Bu)}_3 + \text{Zn(acac)}_2$	$\text{Al(O}^{\text{s}}\text{Bu)}_3 + \text{ZnCl}_2$, (SP32)	۷۰۰ °C
شکل ۱۹-۳. الگوی پراش پرتو ایکس نمونه های حاصل از آبکافت ۲-بوتانول (SP12) در دمای 400°C و 500°C با غلظت 0.25 مولار در ۶۷	$\text{Al(O}^{\text{s}}\text{Bu)}_3 + \text{Zn(acac)}_2$	$\text{Al(O}^{\text{s}}\text{Bu)}_3 + \text{Zn(acac)}_2$ ۲-بوتانول	۷۰۰ °C
شکل ۲۰-۳. الگوی پراش پرتو ایکس آبکافت هیدروترمال ۳ با غلظت 0.25 مولار در ۶۹	$\text{Zn(acac)}_2 + \text{Al(O}^{\text{s}}\text{Bu)}_3$	$\text{Zn(acac)}_2 + \text{Al(O}^{\text{s}}\text{Bu)}_3$ ۲-بوتانول (SP9) تا 100°C و 150°C با غلظت 0.25 مولار در ۷۱	۲۰۰ °C
شکل ۲۱-۳. نمودار تغییر آهنگ اندازه متوسط ذرات (SP12) تا SP9 بر حسب دمای هیدروترمال	$\text{Al(O}^{\text{s}}\text{Bu)}_3 + \text{Zn(acac)}_2$	$\text{Al(O}^{\text{s}}\text{Bu)}_3 + \text{Zn(acac)}_2$ ۲-بوتانول	۷۱
شکل ۲۲-۳. میکروگراف SEM آبکافت هیدروترمال ۲ با غلظت 0.25 مولار در ۷۵	$\text{Al(O}^{\text{s}}\text{Bu)}_3 + \text{Zn(acac)}_2$	۲-بوتانول (SP9) در دمای 50°C با بزرگنمایی های متفاوت	۷۵
شکل ۲۳-۳. میکروگراف SEM آبکافت هیدروترمال ۲ با غلظت 0.25 مولار در ۷۶	$\text{Al(O}^{\text{s}}\text{Bu)}_3 + \text{Zn(acac)}_2$	۲-بوتانول (SP10) در دمای 100°C با بزرگنمایی های متفاوت	۷۶
شکل ۲۴-۳. میکروگراف SEM آبکافت هیدروترمال ۲ با غلظت 0.25 مولار در ۷۷	$\text{Al(O}^{\text{s}}\text{Bu)}_3 + \text{Zn(acac)}_2$	۲-بوتانول (SP11) در دمای 150°C با بزرگنمایی های متفاوت	۷۷
شکل ۲۵-۳. میکروگراف SEM آبکافت هیدروترمال ۲ با غلظت 0.25 مولار در ۷۸	$\text{Al(O}^{\text{s}}\text{Bu)}_3 + \text{Zn(acac)}_2$	۲-بوتانول ... (SP12) در دمای 200°C با بزرگنمایی های متفاوت	۷۸
شکل ۲۶-۳. میکروگراف SEM آبکافت هیدروترمال ۲ با غلظت 0.25 مولار در ۸۰	$\text{Al(O}^{\text{s}}\text{Bu)}_3 + \text{Zn(Cl)}_2$	۲-بوتانول ... (SP17) در دمای 50°C با بزرگنمایی های متفاوت	۸۰
شکل ۲۷-۳. میکروگراف SEM آبکافت هیدروترمال ۲ با غلظت 0.25 مولار در ۸۱	$\text{Al(O}^{\text{s}}\text{Bu)}_3 + \text{Zn(acac)}_2$	در مخلوط ۲-بوتانول و 50°C و 100°C (SP5)	۸۱
شکل ۲۸-۳. میکروگراف SEM آبکافت هیدروترمال ۳ با غلظت 0.25 مولار در ۸۲	$\text{Al(O}^{\text{s}}\text{Bu)}_3 + \text{Zn(NO)}_3$	در مخلوط ۲-بوتانول و 50°C و 100°C (SP21)	۸۲
شکل ۲۹-۳. میکروگراف SEM آبکافت هیدروترمال ۲ با غلظت 0.25 مولار در ۸۴	$\text{Al(O}^{\text{s}}\text{Bu)}_3 + \text{Zn(acac)}_2$	۲-بوتانول ... (SP9) در دمای 50°C با بزرگنمایی های متفاوت	۸۴
شکل ۳۰-۳. میکروگراف SEM آبکافت هیدروترمال ۲ با غلظت 0.25 مولار در ۸۵	$\text{Al(O}^{\text{s}}\text{Bu)}_3 + \text{Zn(acac)}_2$	۲-بوتانول ... (SP9) در دمای 50°C با بزرگنمایی های متفاوت	۸۵
شکل ۳۱-۳. میکروگراف SEM آبکافت هیدروترمال ۲ با غلظت 0.25 مولار در ۸۶	$\text{Al(O}^{\text{s}}\text{Bu)}_3 + \text{Zn(acac)}_2$	۲-بوتانول ... (SP9) در دمای 50°C ، تکلیس در دمای 60°C	۸۶

- شکل ۳-۲. میکروگراف SEM آبکافت هیدرترمال₂ Al(O⁸Bu)₃+Zn(acac)₂ با غلظت ۰/۲۵ مولار در ۲-بوتanol ۸۷.....۸۷ (SP9) در دمای ۵۰ °C تکلیس در دمای ۸۰۰ °C.
- شکل ۳-۳. میکروگراف SEM آبکافت هیدرترمال₂ Al(O⁸Bu)₃+Zn(acac)₂ با غلظت ۰/۲۵ مولار در ۲-بوتanol ۸۸....۸۸ (SP12) در دمای ۲۰۰ °C با بزرگنمایی های متفاوت، تکلیس در دمای ۴۰۰ °C.
- شکل ۳-۴. میکروگراف SEM آبکافت هیدرترمال₂ Al(O⁸Bu)₃+Zn(acac)₂ با غلظت ۰/۲۵ مولار در ۲-بوتanol ۸۹....۸۹ (SP12) در دمای ۲۰۰ °C با بزرگنمایی های متفاوت، تکلیس در دمای ۵۰۰ °C.
- شکل ۳-۵. میکروگراف SEM آبکافت هیدرترمال₂ Al(O⁸Bu)₃+Zn(acac)₂ با غلظت ۰/۲۵ مولار در ۲-بوتanol ۹۱....۹۱ (SP12) در دمای ۲۰۰ °C، تکلیس در دمای ۸۰۰ °C

فهرست جدول ها

فصل دوم

- جدول ۲-۱: ویژگی های فرآیند تهیه روی آلومینات.....۲۹

فصل سوم

- جدول ۳-۱. مقایسه داده های XRD نمونه های حاصل از آبکافت₂ Al(O⁸Bu)₃+Zn(acac)₂ با غلظت ۰/۲۵ مولار ، در ۲-بوتanol (SP12) تا SP9) در دماهای ۱۵۰، ۱۰۰، ۵۰ و ۰ °C پس از تکلیس در ۷۰۰ °C با نمونه ۴۵ استاندارد اسپینل ZnAl₂O₄

- جدول ۳-۲. اندازه متوسط ذرات بدست آمده از آبکافت هیدرورترمال₂ Al(O⁸Bu)₃+Zn(acac)₂ با غلظت ۰/۲۵ مولار در ۲-بوتanol (SP12) تا SP9) در دمای ۱۵۰، ۱۰۰، ۵۰ و ۰ °C پس از تکلیس در دمای ۷۰۰ °C

- جدول ۳-۳. نتایج اندازه گیری میزان تخلخل و سطح موثر به وسیله دستگاه BET نمونه ۲ با غلظت ۰/۲۵ مولار در ۲-بوتanol (SP9) در دمای ۵۰ °C بعد از تکلیس در دمای ۷۰۰ °C و نمونه ۲ با غلظت ۰/۲۵ مولار در ۲-بوتanol (SP12) با غلظت ۰/۲۵ مولار در ۲-بوتanol (SP12) در دمای ۲۰۰ °C پیش از تکلیس در دمای ۷۳ °C

- جدول ۳-۴. مقایسه مساحت سطح آلومینات روی بدست آمده از روی روشهای گوناگون.....۹۲

فصل اول

دیباچہ

۱-۱- آلكوکسیدهای فلزی

شیمی آلكوکسیدهای فلزی در سال ۱۸۴۶ با شناخت آلكیل ارتوسیلیکات و ارتوبورات ها معرفی شد. این شاخه از شیمی با تهیه ی آلكوکسیدهای فلزات گروه اصلی از جمله Be, Mg, Ca, Al, Ge, Se, Te و تعداد زیادی از فلزات واسطه از جمله Ti, Zr, Hf, V در سال ۱۹۵۰ مورد توجه قرار گرفت . در این سال ها برادلی^۱ نقش مهمی در گسترش شیمی آلكوکسیدها ایفا کرد و کارهای او بیشتر عناصر جدول تناوبی از گروه III تا VIII و لانتانیدها و اكتنیدها را پوشش داد. فرمول کلی آلكوکسیدها به صورت $[M(OR)_n]$ بوده و مشتقاتی از الكل ها یا هیدروکسیدهای فلزی می باشند که هیدروژن الكلی با یک فلز (M)، یا هیدروژن گروه هیدروکسید با یک گروه آلكیل یا آریل(R) جایگزین شده است. آلكوکسیدهای فلزی نسبت به رطوبت حساس‌اند و به راحتی آبکافت می‌شوند [1].

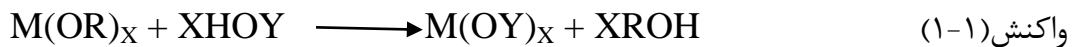
۱-۲- ویژگی‌های آلكوکسیدهای فلزی

ویژگی‌های فیزیکی آلكوکسیدهای فلزی به گروههای آلكیل یا آریل از جمله اندازه و نوع آن‌ها، و همچنین به فلز موجود در آلكوکسید از لحاظ شعاع یونی، ظرفیت، درجه کوئوردیناسیون و استوکیومتری فلز وابسته است [2].

در آلكوکسیدهای فلزی به سبب وجود اکسیژن با الکترون کشندگی زیاد و نیز فلزی که دارای اوربیتال-های خالی با انرژی مناسب است، توانایی پذیرش حمله ی هسته دوست وجود دارد. از سوی دیگر الکترون‌های آزاد بر روی اکسیژن امکان حمله الکترون دوست را در آلكوکسیدها فراهم می‌کنند. اثر مشترک این دو پدیده، آلكوکسیدهای فلزی را به ترکیبات بسیار واکنش‌پذیر در میان ترکیبات فلزی -

¹ Bradley

آلی تبدیل می‌کند که به سرعت در رطوبت هوا آبکافت می‌شوند و کار کردن با آن‌ها به دقت زیادی نیاز دارد. همچنین آلکوکسیدهای فلزی با شمار زیادی از واکنشگرهای همچون آب، الکل‌ها، گلیکول‌ها، کربوکسیلیک اسیدهای، هیدروکسی اسیدهای و بتا دی کتون‌ها که دارای گروه هیدروکسی فعال می‌باشند واکنش داده و با بیرون رفتن گروه الکوکسی مطابق واکنش ۱-۱ ترکیب‌های جدیدی حاصل می‌شود.



۱-۳- روش‌های تهیه‌ی آلکوکسیدها

همان طور که گفته شد، آلکوکسیدهای فلزی نسبت به آب بسیار واکنش پذیر می‌باشند و باید هنگام کار یا تهیه آن‌ها، حلال‌ها، واکنشگرهای و محیط پیرامون آن‌ها خشک باشند.

روش سنتز هر آلکوکسید فلزی یا شبه فلزی بستگی به الکترون‌کشندگی اتم مرکزی دارد. برای تهیه موفقیت‌آمیز آلکوکسیدهای فلزات با الکتروپوزیتیویت کم (مانند آلمینیوم و منیزیم) یک کاتالیزور (I_2 یا $HgCl_2$) مورد نیاز می‌باشد. روش‌های تهیه‌ی آلکوکسیدها در زیر فهرست شده است:

۱- روش الکتروشیمیایی

۲- روش جابجایی الکل (الکولیز)

۳- واکنش جابجایی استر (استری شدن)

۴- واکنش کلریدهای فلزی یا نیترات‌های دوتایی با الکل‌ها در حضور باز

۵- واکنش هالید فلزات با الکل‌ها

۶- واکنش دی‌آلکیل آمید با الکل

۷- واکنش هیدروکسیدهای و اکسیدهای فلزی با الکل‌ها

۸- واکنش بخارات اتم فلزی با الکل‌ها

۹- واکنش مستقیم فلزات با الکل‌ها

۱-۴- کاربردهای آلکوکسید فلزی

آلکوکسیدهای فلزی بسته به فعالیت شیمیایی، فشار بخار و توانایی حل شدن در حلال‌های آلی کاربردهای متفاوتی دارند، همچون کاتالیزگر در واکنش‌های آلی و پیش ماده برای تهیه لایه‌های نازک اکسیدهای فلزی، سرامیک‌ها یا شیشه‌ها.

۱-۵- آبکافت آلکوکسیدهای فلزی

اولین و اساسی‌ترین مرحله تبدیل آلکوکسیدها به اکسیدهای فلزی، آبکافت می‌باشد که در آن آلکوکسیدهای فلزی با آب واکنش می‌دهند. در هنگام فرآیند آبکافت گروههای آلکوکسی (OR) با لیگاندهای اکسو (O^{2-}) و یا هیدروکسیل (OH^-) جایگزین می‌شوند. این روش شامل آبکافت کنترل شده آلکوکسیدهای فلزی (سایر پیش ماده‌ها) می‌باشد [3]. در آلکوکسیدها چون اتم فلز دارای آمادگی حمله هسته دوست می‌باشد، خیلی سریع با هسته دوست وارد واکنش شده و فرآوردهای آبکافت حاصل می‌گردد. این واکنش یک فرآیند ساده هسته دوست است که فرآوردهای آن آلکوسوهیدروکسو-فلز و الکل بوده و به ماهیت گروه آلیل یا آریل، ماهیت حلال، غلظت ترکیب‌ها، نسبت آب به آلکوکسیدهای فلزی و دما بستگی دارد. اما می‌توان با جایگزین کردن یک گروه الکوکسی واکنش‌پذیر، بوسیله گروهی که در مقابل آبکافت مقاوم است، سرعت آبکافت را کاهش داد. همچنین می‌توان معرفه‌های کی لیت کننده‌ای که محل‌های حمله آب را اشغال می‌کنند به کار برد. واکنش‌پذیری بالای آلکوکسیدهای فلزی با آب، سبب سادگی آبکافت و اهمیتشان در تهیه مواد سرامیکی به روش سل - ژل شده است. اگر چه مبدأ فرآیندهای سرامیک بر پایه علم شیمی به تاریخ ۴۰۰۰ سال قبل از میلاد بازمی‌گردد ولی کنترل شکل و ساختار

مولکولی سرامیک‌ها و شیشه‌ها بوسیله شیمی سل-ژل به نظر می‌رسد به بررسی‌های ابلمن^۲ بر روی شیشه‌های آبی در سال ۱۸۴۶ وابسته باشد و کاربرد آلکوکسیدهای فلزی در فرآیند سل-ژل نیز به همان سال بازمی‌گردد. در آن زمان ابلمن تترا اتیل ارتوسیلیکات را برای نخستین بار تهیه نمود و بررسی‌هایش نشان داد که این ترکیب در دمای اتاق و به آهستگی با رطوبت هوا وارد واکنش شده و ترکیب جامد شیشه‌ای بدست می‌دهد. $\text{Si(OEt}_4)$ پیش ماده‌ای برای تهیه شیشه‌ها می‌باشد. در سال ۱۹۵۰ پژوهش-های گستردۀای در زمینه سنتز سرامیک‌ها و ساختارهای شیشه‌ای با این روش آغاز شد و با این روش، بسیاری از اکسیدهای غیرآلی مانند TiO_2 , SiO_2 و ZrO_2 تهیه شدند [4]. هدف روش سل-ژل انجام فرآیندهای شیمیایی در دمای پایین برای تهیه فرآورده‌های گوناگونی همچون قطعات پوشش داده شده، پودرهای نانو، الیاف، جامدات دارای خلل و فرج، اکسیدهای فلزی ساده و چندتایی با درصد خلوص بالا، ابررساناهای، لنزهای سرامیک‌هایی با مقاومت ویژه، انواع کاتالیزگرهای نانو ذرات با توزیع یکسان و همگن، دی‌الکتریک‌ها، برق‌کافهای جامد، مواد فیروالکتریکی و پیزوالکتریک می‌باشد. همچنین فرآیند سل-ژل کاربردهایی در صنایع الکترونیک، نوری، ساخت موتورها، صنایع شیمیایی و غذایی و انرژی هسته‌ای هم دارد [5-6].

۱-۶- روش سل-ژل

فرآیند سل-ژل (Sol-gel) که همچنین با نام رسوب‌دهی محلول شیمیایی (Chemical Solution Deposition)

از آن یاد می‌شود، یک روش شیمی تراست که در مهندسی و علم مواد و مهندسی سرامیک به طور گستردۀ به کار گرفته می‌شود. در این روش یک محلول شیمیایی (سل) که پیش ماده‌ای برای تهیه‌ی یک شبکه به هم پیوسته (ژل) از ذرات گستته یا بسپارهای شبکه‌ای است، به کار گرفته می‌شود. پیش

² Ebelmen

ماده‌های به کار گرفته شده بیشتر آلكوکسید و کلرید فلزات هستند که در واکنش‌های گوناگون آبکافت و بسپارش مرحله‌ای شرکت می‌کنند. بوسیله‌ی فرایند سل - ژل می‌توان ساختار میکرو فرآورده‌ها را در محدوده‌ی ۱ تا ۱۰۰ نانومتر که ساختاری در مرتبه مولکولی می‌باشد کنترل نمود. این مواد اغلب مشخصه‌های فیزیکی و شیمیایی یکنواختی دارند. (واکنش ۱-۲ و ۳).



که در این واکنش M می‌تواند Si، Al، Ti، Sn، Zn، Pb، Cu، Ta، Ni، Co و غیره باشد و R یک گروه آلکیل مانند متیل، اتیل، ایزوپروپیل، بوتیل و ... می‌باشد.

سل (Sol) محلولی دارای ذرات بسیار ریز در اندازه‌ی ۱-۱۰۰ nm است که به سبب کوچکی بیش از اندازه به شکل معلق در مایع باقی می‌مانند. اما ژل (Gel) یک شبکه جامد به هم پیوسته با اندازه‌های ریزتر از میکرون با طول زنجیره‌های بسیاری بزرگ‌تر از میکرون است. در بیشتر سیستم‌های سل - ژل، تشکیل ژل با ایجاد پیوندهای کووالانسی همراه بوده و برگشت‌پذیر نیست یعنی قابلیت برگشت به حالت سل را ندارد. مراحل تشکیل ژل که در واقع در دنباله مراحل تشکیل سل است بسته به نوع ژل (کلوئیدی یا بسپاری) دو گونه هستند. نخست ژل کلوئیدی که از به هم چسبیدن ذرات کلوئیدی به وسیله‌ی نیروهای ضعیف واندروالسی با تبخیر حلal پیرامون ذرات کلوئیدی به وجود می‌آید و دیگری ژل بسپاری که محیط پیرامون ذرات کلوئیدی از مولکول‌هایی تشکیل شده است که آماده‌ی تشکیل یک زمینه

بَسپاری هستند. بدین ترتیب، با تغییر عوامل پیرامونی مثل تنظیم pH، دما و زمان و یا افزودن مواد شیمیایی می‌توان به پایدارسازی این شبکه بَسپاری نزدیک‌تر شد. سپس با قرار دادن ژل تشکیل‌شده، در داخل آون، مزاحمت شبکه بَسپاری پیرامون آن حذف‌شده و فقط نانو ذرات را خواهیم داشت. در پایان با قرار دادن فرآورده‌ی به دست آمده در کوره می‌توان نانو ذرات آمورف را به نانو ذرات بلوری تبدیل نمود[7].

۱-۷- فرآیند هیدروترمال

هیدروترمال ریشه ژئوفیزیکی دارد. این عبارت برای اولین بار توسط زمین‌شناس انگلیسی به نام مورچیسن^۳ (۱۷۹۲-۱۸۷۱ میلادی) برای شرح عملکرد آب در فشار و دمای بالا در اعمال تغییرات روی پوسته زمین و تشکیل صخره‌ها بکار رفته است. یوشیمورا^۴ و بیراپا^۵ از فرآیند هیدروترمال به عنوان واکنش شیمیایی همگن یا غیر همگن در حضور حلال (خواه آبی باشد یا غیر آبی) در دمای بالاتر از اتاق و در فشار بزرگ‌تر از یک اتمسفر در یک سیستم بسته یادکردند [۸]. در سال ۱۸۳۹ یک شیمی‌دان آلمانی به نام رابرت بونزن^۶ محلول‌های آبی را در تیوب‌های شیشه‌ای با دیواره ضخیم در دمای بالاتر از ۲۰۰ °C و فشار بالای ۱ بار نگهداری می‌کرد. بلورهای کربنات باریم و کربنات استرانسیم که او در این شرایط رشد داده بود، نخستین کاربرد حللهای آبی هیدروترمال بودند. دیگر گزارش‌ها از رشد هیدروترمال بلورها توسط اشچافت^۷ در سال ۱۸۴۵ و دی سنارمونت^۸ در سال ۱۸۵۱ ارائه شده بود. بعدها در ۱۹۰۵، جی

³ Murchison

⁴ Yoshimura

⁵ Byrappa

⁶ Robert Bunsen

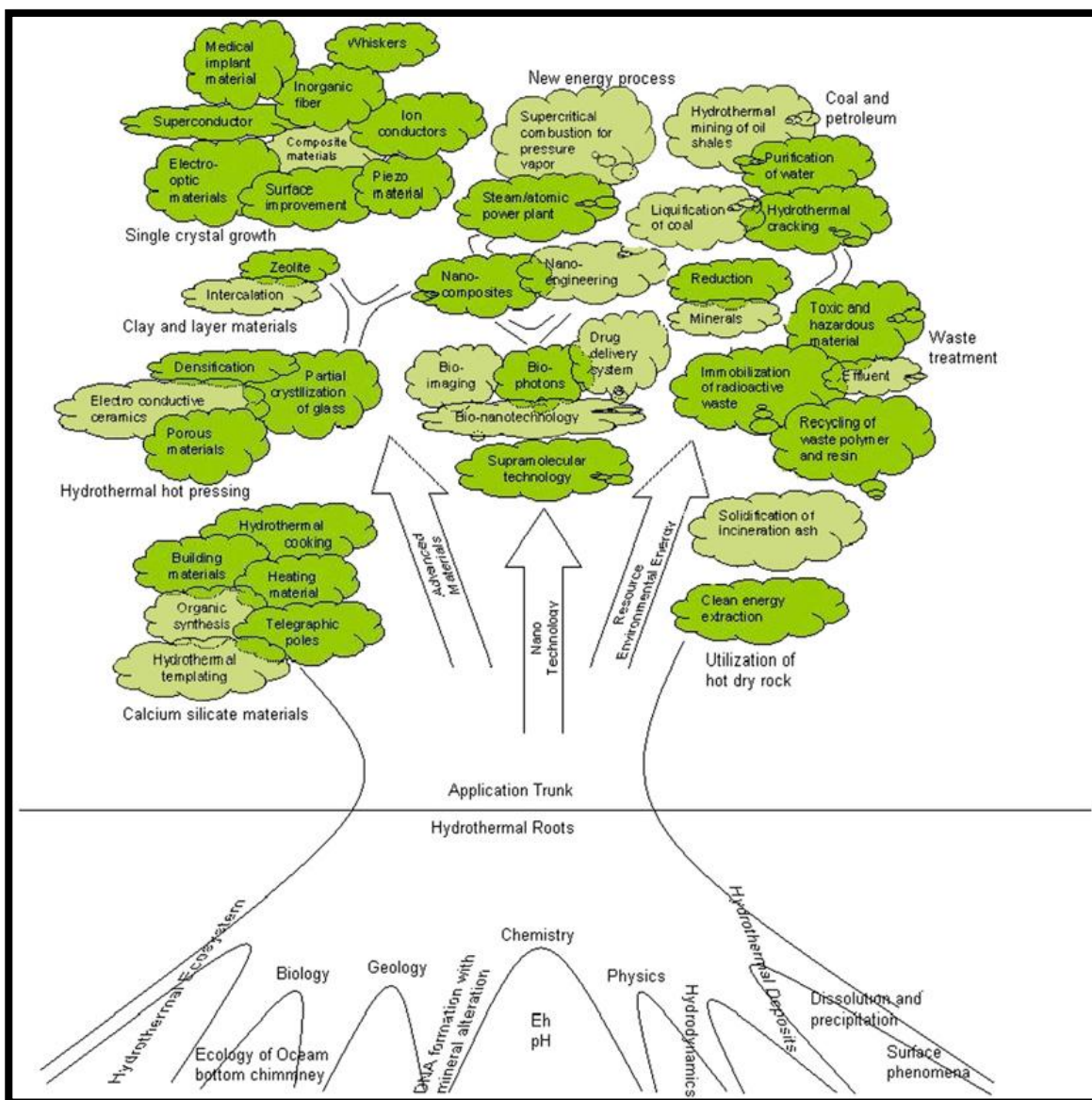
⁷ Schafhäult

⁸ de Sénaumont

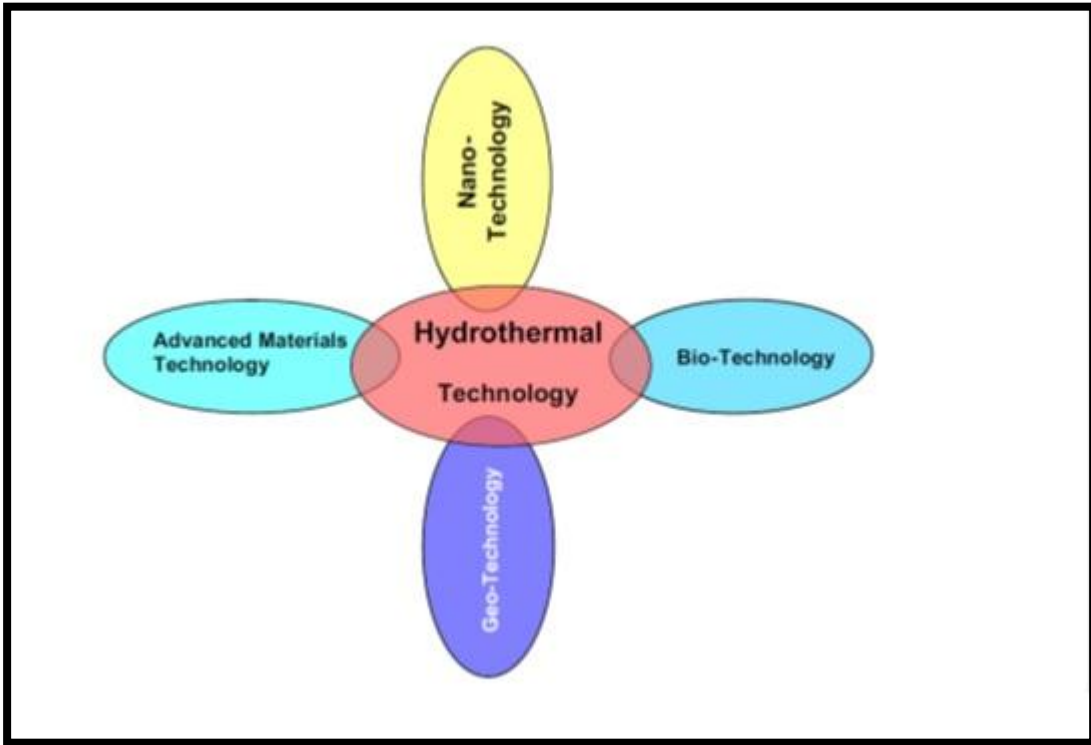
اسپزی^۹ گزارش‌های دیگری در مورد بلورهای میکروسکوپی منتشر کرد [9]. با وجود تمامی پیشرفت‌هایی که در اثر گسترش این شاخه از علم سنتز به وجود آمده است، هنوز تعریف مشخص و استانداردی برای این فرآیند وجود ندارد. کلمه هیدروترمال عمدتاً به هر نوع واکنش ناهمگن در حضور حلال آبی در دماهایی بالاتر از دمای بحرانی و در نتیجه در فشارهای بالا اطلاق می‌شود؛ به عبارت دیگر هیدروترمال فرآیندی است که با واکنش‌های ناهمگن در محیط‌های آبی و دماهای بیشتر از دمای اتاق و فشار بالای یک اتمسفر برای تهیهٔ سرامیک‌ها، تک بلورهای توده و ذرات ریز یا نانو ذرات به کار گرفته می‌شود. این روش بر پایهٔ حرارت دادن نمک‌های فلزی، اکسیدها، هیدروکسیدها یا پودرهای فلزی در محلول یا سوسپانسیون (در آب) در دما و فشاری بالاتر از نقطه جوش مایع بنا شده است. این فرآیند را در سه مرحله می‌توان خلاصه کرد، در مرحله نخست مواد اولیه (نمک‌های فلزی، اکسید، پودر فلزی) در اتوکلاو قرار گرفته و به شکل محلول درمی‌آید. در دومین مرحله واکنش شیمیایی یا فرایندهای تجزیه در شرایط هیدروترمال اتفاق می‌افتد. در آخرین مرحله وقتی که بیشترین حد اشباع حاصل شد، حالت جدیدی از ترکیبات شروع به شکل گیری می‌کنند. مهم‌ترین برتری روش هیدروترمال تهیهٔ یک مرحله‌ای، گوناگونی و انعطاف‌پذیری این روش است. این روش با محیط‌زیست بسیار سازگار است چون در محیطی کاملاً بسته در دماهای کمتر از سایر روش‌ها اتفاق می‌افتد. افزون بر این، کمتر بودن دمای واکنش باعث کنترل بهتر استوکیومتری، به هم چسبیدگی کمتر ذرات و رشد بلوری می‌گردد. بر اساس مشاهدات به دست آمده، روش هیدروترمال، برای تولید پودرهای خیلی ریز با خلوص و کیفیت بالا، استوکیومتری کنترل شده، توزیع اندازه ذرات باریک، مورفولوژی کنترل شده، هم شکل بودن، مقایص کمتر ذرات فشرده، بلورینگی و تکرارپذیری بالا، کنترل میکرو ساختار و واکنش‌پذیری و قابلیت تراکم بالا روش ایده آلی است. روش هیدروترمال در تولید نانو پودرها ذراتی با به هم چسبندگی کم و یکنواختی بالا بدست می‌دهد [8-10].

⁹ G. Spezzi

بدین ترتیب روش هیدرотرمال، یکی از با ارزشترین شیوه های ساخت نانو ذرات در سال های گذشته به شمارمی آید [11-12].



شکل ۱-۱. کاربردهای روش هیدرотرمال [11]



شکل ۱-۲. ارتباط علوم با روش هیدروترمال [11].

۱-۸-۱- تعیین اندازه ذرات با پراش پرتو ایکس

در روش پراش سنجی، پهن شدن پیک یک ماده به کاهش اندازه ذرات آن وابسته بوده که به رابطه شرر معروف است. بنابراین می توان اندازه ذرات یک ماده را با این روش مشخص کرد. رابطه شرر به صورت زیر است:

$$t = \frac{0.9\lambda}{B \cos \theta_B}$$

در این رابطه، t اندازه ذره، B عرض پیک در نصف شدت بیشینه، λ طول موج پرتو ایکس و θ_B زاویه برآگ مربوط به پیک ناشی از پراش است. در این رابطه B بر حسب رادیان است و برای اندازه‌گیری آن باید یک ماده استاندارد را با ماده مورد نظر مخلوط و پیک‌های آن را با هم مقایسه کرد. در این حالت می‌توان از رابطه $S = B_M^2 - B_S^2$ استفاده کرد که در آن B_M و B_S به ترتیب عرض پیک ماده و عرض پیک استاندارد در نصف شدت بیشینه هستند. در انتخاب ماده استاندارد باید دقیق کرد که اندازه ذرات آن بزرگ‌تر از ۱۰۰۰ آنگستروم باشد و دیگر آن که پیک اصلی آن به پیک اصلی نمونه مجھول، از نظر مقدار 2θ نزدیک باشد. استفاده از این روش برای تعیین اندازه ذره، وقتی امکان پذیر است که اندازه ذرات کمتر از ۱۰۰۰ آنگستروم باشد. به عبارت دیگر، تغییر اندازه عرض پیک، به ازای تغییر اندازه ذره، برای ذرات بزرگ‌تر از ۱۰۰۰ آنگستروم، در عمل به اندازه‌ای کوچک است که حساسیت لازم وجود ندارد. از آنجا که بسیاری از روش‌های دیگر تعیین اندازه ذرات پودر (مانند روش لیزر و روش ته نشینی) برای اندازه ذرات بزرگ‌تر از ۱۰۰۰ آنگستروم به کار می‌روند، روش شرمنی تواند برای اندازه‌گیری ذرات کوچک‌تر استفاده شود.

۱-۸-۱- تعیین ثابت شبکه با پراش پرتو ایکس

تعیین ثابت شبکه در علم مواد اهمیت زیاد دارد. به عنوان مثال، می‌توان با اندازه‌گیری آن درباره حلالیت یک ماده در ساختار بلورین ترکیب دیگر، قضاوت کرد. همچنین با اندازه‌گیری ثابت شبکه در دماهای گوناگون، می‌توان ضریب انبساط حرارتی ماده را تعیین نمود. از آنجا که در هر ساختار بلورین، فاصله بین صفحه‌های بلوری (d) و ثابت شبکه (a) روابط مشخصی وجود دارد، با اندازه‌گیری دقیق d، مقدار a تعیین خواهد شد. شاید گمان شود که چون در کار پراش سنجی، مقدار d را می‌توان تعیین کرد، پس مقدار a هم قابل تعیین است. واقعیت این است که در کار روزانه شناسایی فازی و تعیین مقدارهای مربوط به d که از روی زاویه‌های 2θ مربوط به دست می‌آیند، این کار با دقیقیت خیلی بالا که برای تعیین

ثابت شبکه مورد نظر است انجام نمی شود. بنابراین وقتی در کار پراش سنجی، هدف اندازه‌گیری مقدار a است، مشکل اصلی تعیین دقیق مقدار d یا θ است. طبق رابطه براگ تعیین دقیق مقدار d بیشتر از آن که وابسته به تعیین دقیق مقدار θ باشد به تعیین دقیق $\sin\theta$ وابسته است. خطای تعیین مقدار $\sin\theta$ در زاویه های بزرگ تر و به ویژه نزدیک به 90° درجه، بسیار کمتر از زاویه های کوچک است. پس اگر بتوان از زاویه های بزرگ (پیک های موجود در 2θ های بالا) استفاده کرد، دقت کار بیشتر خواهد شد. برای تعیین دقیق مقدار 2θ توسط دستگاه پراش سنج، باید سرعت چرخش نمونه بسیار کم (به عنوان مثال 0.1° درجه بر دقیقه) و سرعت حرکت کاغذ سیستم ثبت‌کننده، زیاد (به عنوان مثال 50 سانتی‌متر بر دقیقه) انتخاب شود تا پیک مورد نظر در گستره وسیعی از 2θ قرار بگیرد.

۹-۱-۱- اکسیدهای فلزی مختلط

اکسیدهای مختلط به اکسیدهایی گفته می‌شود که در ساختار بلور آن‌ها دو یا تعداد بیشتری کاتیون مختلف شرکت دارند.

اکسیدهای فلزی که دارای ساختار یونی می‌باشند، از دیدگاه صنعتی و پژوهشی اهمیت ویژه‌ای دارند، از این‌رو بررسی ساختار بلوری آن‌ها بسیار مورد توجه قرار گرفته است. فرمول شیمیایی آن‌ها را می‌توان مثل نمک‌هایی در نظر گرفت که از واکنش یک اکسید اسیدی و یک اکسید بازی به وجود آمده‌اند (خواه از یک نوع فلز واسطه، خواه از دو نوع متفاوت فلز واسطه و یا از یک فلز واسطه و یک فلز اصلی).

این اکسیدها را بر اساس ساختار بلوری، دسته بندی می‌کنند که سه دسته از آن‌ها بیشتر به صورت ترکیب‌های طبیعی یافت می‌شوند.

الف) پرووسکیت: در اکسیدهای مختلط $(M^{+2} = \text{Ca, Sr, Br}) \text{MTiO}_3$ ، که اندازه M^{+2} به مراتب بزرگ‌تر از Ti^{+4} است، ترکیب در شبکه‌ی پروسکیت متبلور می‌شود. پروسکیت نام کانی‌شناسی،

تیتانات کلسیم می‌باشد CaTiO_3 ، BaTiO_3 ، LaAlO_3 و TiO_2CaO]. ترکیباتی از جمله

NaWO_3 همگی جزء این دسته به حساب می‌آیند.

ب) ایلمینیت : این ساختار مربوط به سنگ معدن ایلمینیت (یکی از مهم‌ترین سنگ معدن‌های TiO_2 ، FeO تیتانیوم) است. ایلمینیت، نام کانی‌شناسی تیتانات آهن(II) می‌باشد.

ترکیباتی از جمله NaSbO_3 , MgTiO_3 , CoTiO_3 هم جزء این گروه به حساب

می‌آیند.

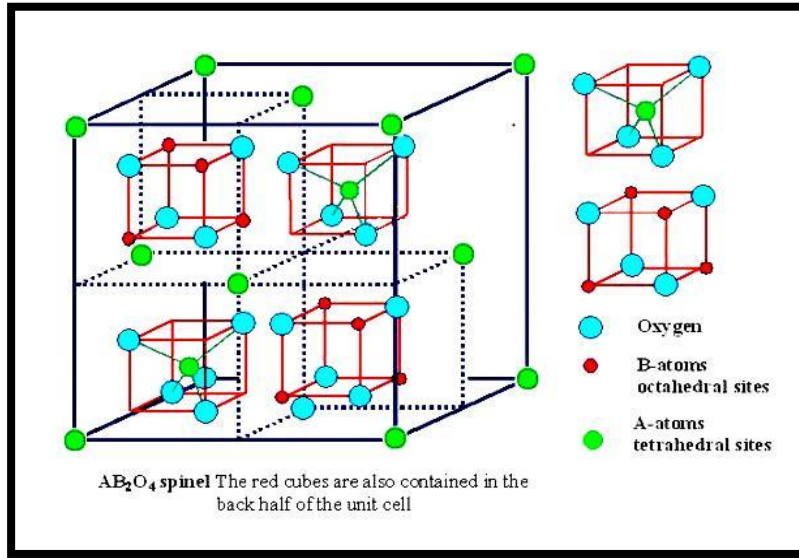
ج) اسپینل:

اسپینل‌ها دارای فرمول عمومی ABCO_4 هستند که برای خنثی شدن شبکه، لازم است مجموع بار کاتیون $\text{A}, \text{B}, \text{C}$ برابر 8 باشد. اسپینل‌های AB_2O_4 گروه مهمی از اسپینل‌ها هستند که در شبکه بلوری مکعبی متبلور می‌شود و در آن A و B کاتیون‌های فلزی مختلف هستند. A و B می‌توانند فلزات یکسان با بارهای متفاوت باشند مثل Fe_3O_4 ($\text{Fe}^{2+}\text{Fe}^{3+}_2\text{O}_4^{2-}$) که در آن $\text{A} = \text{B} = \text{C}$ است. ترکیباتی مانند BaAl_2O_4 ، CoAl_2O_4 ، ZnAl_2O_4 همگی جزء این دسته به حساب می‌آیند [13]

[14]

۱-۹-۱- ساختار اسپینل‌های AB_2O_4

در این اسپینل‌ها لازم است که A دارای بار +2 و B دارای +3 و +4 باشد. در اسپینل‌ها یون‌های O^{2-} یک شبکه‌ی CCP را تشکیل می‌دهند. در سیستم CCP، به ازای هر مولکول AB_2O_4 هشت حفره‌ی چهار وجهی و چهار حفره‌ی هشت‌وجهی وجود دارد. با در نظر گرفتن روش پر شدن حفره‌های چهار وجهی و هشت‌وجهی به وسیله‌ی کاتیون‌ها، دو نوع اسپینل به دست می‌آید.

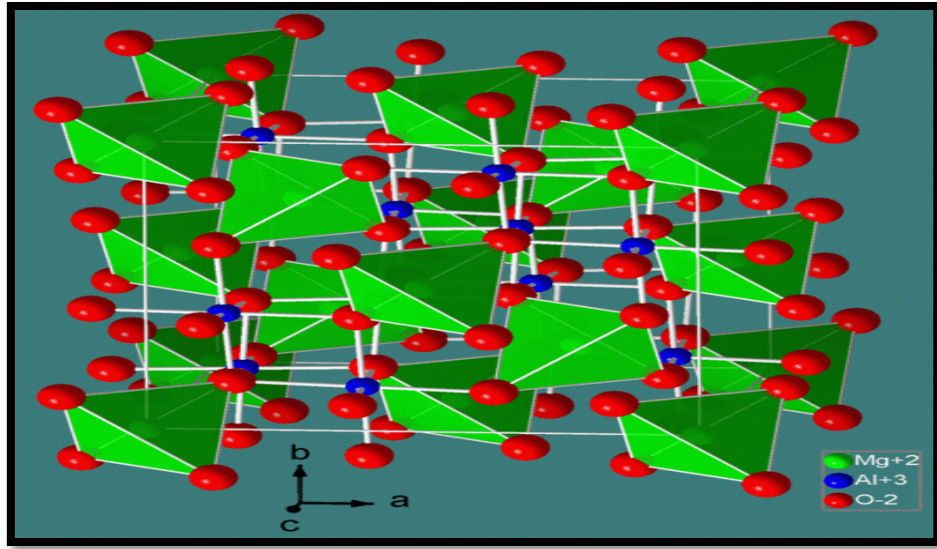


.[15] AB_2O_4 ساختار اسپینل

۱-۹-۱-۱-۱- اسپینل نرمال

در اسپینل نرمال کاتیون دو ظرفیتی یک هشتم مکان‌های چهار وجهی و کاتیون سه ظرفیتی، نیمی از حفره‌های هشت‌وجهی را پر کرده‌اند. فرمول کلی اسپینل نرمال به صورت $[\text{A}]^{\text{tet}^{10}} [\text{B}_2]^{\text{oct}^{11}} \text{O}_4^{12}$ دارد که در این ساختار یون A^{+2} دارای عدد کوئوردیناسون چهار و یون B^{+3} دارای عدد کوئوردیناسون شش است، این پایدارترین آرایش برای اسپینل در نظر گرفته می‌شود. این ساختار در NiAl_2O_4 , CoAl_2O_4 , FeAl_2O_4 , CdFe_2O_4 , ZnAl_2O_4 , MgAl_2O_4 و MnAl_2O_4 مشاهده می‌شود.

¹⁰ tetrahedral
¹¹ octahedral



شکل ۱-۴. ساختار اسپینل نرمال [15].

۱-۹-۲-۱- اسپینل معکوس

در اسپینل معکوس تمام یون‌های A^{2+} و نیمی از یون‌های B^{3+} حفره‌های هشت‌وجهی و باقی‌مانده از یون‌های B^{3+} , حفره‌های چهار‌وجهی را اشغال می‌کنند. این آرایش در شرایطی تشکیل می‌شود که یون‌های A^{2+} نسبت به یون‌های B^{3+} تمایل بیشتری برای آرایش هشت‌وجهی داشته باشند. فرمول کلی اسپینل معکوس به صورت $[B]_{\text{tet}}[A,B]_{\text{oct}}O_4$ نمایش داده می‌شود. این ساختار متداول‌تر بوده و در Fe_3O_4 و Fe_3O_4 و Fe_3O_4 نمایش داده می‌شود. این ساختار اتفاقاً اتفاقی است و برای بسیاری فریت‌های دیگر که خواص مغناطیسی آن‌ها از اهمیت زیادی برخوردار است، همچون $Fe[Co^{+2}Fe^{+3}]O_4$ و $Fe^{+3}[Fe^{+2}Fe^{+3}]O_4$, $Fe[NiFe]O_4$, $Zn[TiZn]O_4$ البته ساختارهای میان این دو حد هم وجود دارد که توزیع کاتیون‌ها در حفرات هشت‌وجهی است و برای مشخص کردن آن‌ها از پارامتر γ استفاده می‌شود که تعداد کاتیون A در حفرات هشت‌وجهی را نشان می‌دهد. فرمول کلی این ترکیبات به صورت $[B_yA_x]_{\text{tet}}[A_{1-x}B_{2-y}]_{\text{oct}}O_4$ است که در آن $1 \leq \gamma < 0$ می‌باشد [15].

۱-۹-۲- خواص شیمیایی و فیزیکی اسپینل‌ها

عوامل گوناگونی در بررسی ویژگی‌های شیمیایی و فیزیکی اسپینل‌ها نقش دارند، از جمله ماهیت A و B و چگونگی قرارگیری یا پخش این کاتیون‌ها در حفره‌های چهار وجهی و هشت‌وجهی ساختار بلوری، مورفولوژی و اندازه ذرات. بنابراین انتخاب یک روش تهیه مناسب بسیار حائز اهمیت می‌باشد چرا که با تغییر روش تهیه و کنترل آن در طول مسیر واکنش، می‌توان قدرت مکانیکی، خواص الکتریکی و مقاومت در برابر حملات شیمیایی و دیگر ویژگی‌های قطعات تهیه شده از اسپینل را تغییر داد و به ویژه گی‌های مورد نظر دست یافت.

۱-۹-۳- کاربرد اسپینل‌ها

اسپینل‌ها در صنعت به عنوان رنگدانه، کاتالیزور، مواد نسوز، مواد مغناطیسی، نیم رسانا، پوشش‌های نوری، حس‌گر و سرامیک‌های الکترونیکی به کار می‌روند [16]. همچنین اسپینل‌ها به سبب اینکه موادی پایدار با مقاومت بالا در مقابل اسیدها هستند و چون نقطه ذوب بالایی دارند به عنوان بستر کاتالیزور به کاربرده می‌شوند [17].

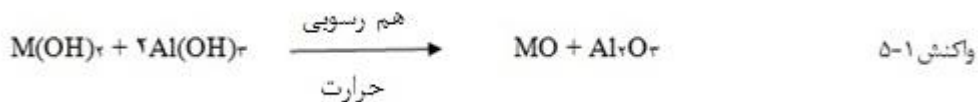
اسپینل یون‌های فلزات واسطه آلومینیوم (MAl_2O_4) که در آن $M = Mn, Zn, Ni, Fe, Co$ می‌باشد، کاتالیزگرهای واکنش‌های فیشر-ترپش می‌باشند [18]. افزون بر آن، کاتالیزگرهای مناسبی نیز در عملیات شیمیایی ناهمگن مانند سوختن کاتالیتیکی هیدروکربن‌ها و اکسایش و کاهش گزینشی مولکول‌های آلی گوناگون می‌باشند [19-20].

۱-۹-۴- روش‌های تهیه اسپینل‌ها

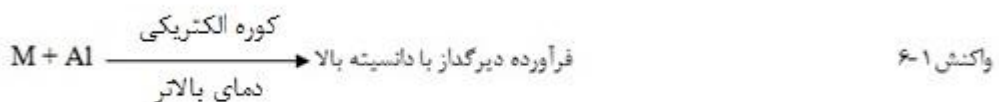
قدیمی ترین شیوه برای تهیه اکسیدهای فلزی مرکب، حالت جامد است. در این روش برای تهیه اسپینل از پودرهای اکسیدهای فلزی کمک گرفته می‌شود.



از سختی‌های این روش می‌توان کنترل استوکیومتری درست فرآورده نهایی و نیاز به دمای بالا را نام برد که خود سبب کلوخه شدن و مورفولوژی نا یکنواخت در فرآورده می‌شود. شیوه دیگر، روش هم رسوبی است که در آن هیدروکسیدها، نیترات‌ها و یا آلکوکسیدهای فلزات برای تهیه اسپینل به کار گرفته می‌شوند. سختی این روش آن است که با افزایش دما، هیدروکسیدها، آلکوکسیدها و یا نیترات‌های فلزات در یک زمان ویژه رسوب نمی‌کنند و این رسوب کردن در دمای زمان‌های گوناگون حالت دو فازی را به جای یک فاز یکنواخت بدست می‌دهد و پس از تکلیس، به جای اسپینل تک فاز، اکسیدهای دو فلز حاصل می‌گردند [21-22] (واکنش ۱-۵).



در روش سوم، فلزات به کار گرفته شده وطبق واکنش ۱-۶، اسپینل با گزینش فلز مناسب بدست می‌آید. ولی این روش به دلیل نیاز به دمای بسیار بالا در زمان بلند جهت انجام واکنش و همچنین گزینش کاتالیزگر مناسب، اقتصادی نمی‌باشد.



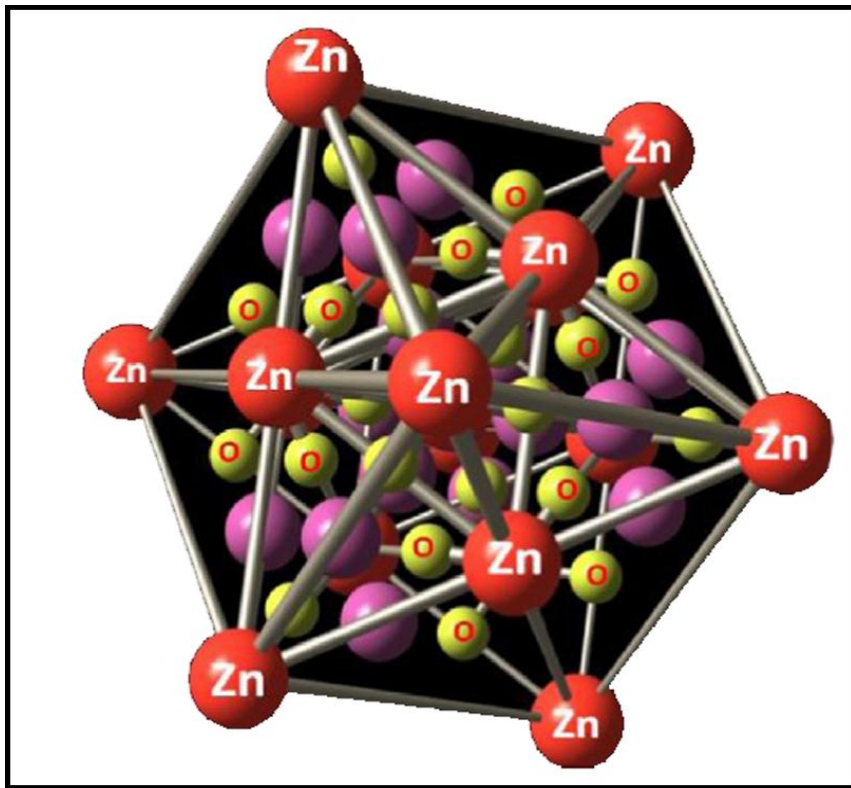
روش هیدرоторمال که برای تهیه اکسیدهای فلزی در دمای پایین‌تر از روش‌های معمول به کارگرفته می‌شود و در بخش ۱-۶ به طور کامل توضیح داده شد نیز برای تهیه اسپینل مناسب است.

شیوه پایانی روش سل - ژل است که به طور گستردگی به کارگرفته می‌شود. برتری روش سل - ژل بر روش‌های دیگر به کارگیری پیش ماده‌های مایع و گذر از یک مرحله محلول است. بدین ترتیب خالص‌سازی پیش ماده ساده‌تر شده و اختلاط فلزات در حد مولکولی امکان‌پذیر می‌گردد. ساده‌بودن روش، تشكیل مواد با خلوص بالا، تشکیل فاز اکسیدی در دمای پایین و حفظ نسبت استوکیومتری، این امکان را می‌دهد که با تغییراتی که در روش سل - ژل داده می‌شود، ذرات جامد بدست آمده از تکلیس را از دیدگاه مورفولوژیکی و شیمیایی کنترل کرده و به هدف رسید.

(گاهنیت) ZnAl_2O_4 -۵-۹-۱

در طول دهه‌ی گذشته، محققان توجه زیادی به تولید نانو ذره‌های با ابعاد ۱ تا ۱۰۰ nm کرده‌اند این‌گونه از نانو ذره‌ها با چنین ابعادی کاربردهای گستردگی در صنایع الکترونیک، نوری و مغناطیسی دارند[23].

از این میان، نانو مواد معدنی با مساحت سطح بالا دارای کاربردهای زیادی از جمله تهیه کاتالیزورهای ناهمگن، تهیه‌ی سرامیک‌ها و همچنین جاذب‌ها و حس‌گرها دارند[24]. اسپینل‌ها در میان نانومواد معدنی، توجه زیادی را به خود جلب کرده‌اند و این به سبب کاربرد آنها در تهیه‌ی مواد مغناطیسی، رنگدانه‌ها، کاتالیزگرها و مواد نسوز می‌باشند [25].



شکل 1- ۵ ساختار بلوری [23]ZnAl₂O₄.

اما در میان اسپینل ها، روی آلمینات با ویژگی هایی همچون، مقاومت مکانیکی بالا، پایداری حرارتی فوق العاده، توانایی پخت در دماهای پایین، اسیدیته ای سطحی پایین و همچنین وجود نشر اهمیت دارد [26]. روی آلمینات یا گاهنیت با فرمول شیمیایی ZnAl₂O₄ نخستین بار شیمیدان و کانیشناس سوئدی گاهن^{۱۲} شناسایی کرده است. این کانی به سختی در H₂SO₄ حل می شود و دارای ZnO Fd3m فضایی باشد ZnAl₂O₄ می باشد Al₂O₃ ۳۹٪ ۴۴,۳۹٪ ۵۵/۶۶٪ و دارد که همچون دیگر اسپینل ها در هر سلول واحد دارای ۳۲ اتم اکسیژن است. ZnAl₂O₄ همچنین دارای ۱۶ حفره هشت وجهی پر شده با اتم های Al و ۸ حفره چهار وجهی پر شده با اتم های Zn می باشد [۲۷]. برای تهیه روی آلمینات نیز روش های گفته شده در قسمت ۱-۸-۴ به کار می رود؛ اما روی آلمینات از دیدگاه کاتالیزوری سطح موثر کمی دارد که با بهبود روش تهیه، می توان آنرا اصلاح نمود.

^{۱۲}Gahn

در بین روش‌های تولید گفته شده روش سل-ژل برای تولید روی آلمینات پر کاربردتر است [28,29]. دلیل این انتخاب تولید نانو پودرهای خالص روی آلمینات در دماهای پایین است. محققان زیادی روی آلمینات را به روش سل-ژل سنتز کردند که می‌توان به ساخت آن با ZnCl_2 و AlCl_3 هیدراته و ژلاتین در آب [30], $\text{Al}(\text{O}^{\text{i}}\text{Pr})$ و $\text{ZnNO}_3 \cdot 6\text{H}_2\text{O}$ و نیتریک اسید در اتیلن الكل [31], $\text{Al}(\text{NO})_3 \cdot 9\text{H}_2\text{O}$ با تری اتانول آمین و نیتریک اسید در آب [32], $\text{Zn}(\text{NO}_3)_3 \cdot 6\text{H}_2\text{O}$ با $\text{Zn}(\text{NO}_3)_3 \cdot 9\text{H}_2\text{O}$ با سیتریک اسید در آب اشاره نمود [33]. وی^{۱۳} و چن^{۱۴} نیز اسپینل روی آلمینات $\text{Zn}(\text{NO}_3)_3 \cdot 9\text{H}_2\text{O}$ را به وسیلهٔ تجزیه حرارتی ژل Zn-Al در دمای ۷۰۰ درجه به مدت ۵ ساعت بدست آورده‌اند. این ژل را نیز از تکنیک سل ژل با استفاده از اگزالیک اسید به عنوان عامل کیلیت کننده تهیه کردند [34]. کوراجیکا^{۱۵} همکاران نیز از $\text{Zn}(\text{NO}_3)_3 \cdot 6\text{H}_2\text{O}$ و $\text{Al}(\text{O}^{\text{s}}\text{Bu})_3$ روش سل-ژل اصلاح شده، تولید روی آلمینات را گزارش داده‌اند [35].

۱-۹-۵-۱-کاربردهای روی آلمینات

در کاربردهای کاتالیزوری اسپینل روی آلمینات به عنوان یک کاتالیزگر ناهمگن مورد توجه است: در صنعت پایداری کاتالیزگرهای ناهمگن بسیار حائز اهمیت است، و در تولید بیودیزل به وسیلهٔ تبادل استری از کاتالیزگرهای ناهمگن استفاده می‌شود، که در آن کاتالیزگر، نامحلول در متانول و روغن می‌باشد. از آن رو که روی آلمینات دارای سطح مقطع وسیع و مزو تخلخل می‌باشد، این ویژگی‌ها باعث این شده که از آن در تبادل استری برای تولید بیودیزل استفاده شود [36].

به صورت کلی برای افزایش بازدهی کاتالیزگر دو عامل حائز اهمیت است، مساحت سطح ویژه بالا و ساختار متخلخل که روی آلمینات با داشتن این ویژگی‌ها به عنوان جاذب و بستر کاتالیستی بسیار

^{۱۳}wie

^{۱۴}chen

^{۱۵}kurajica

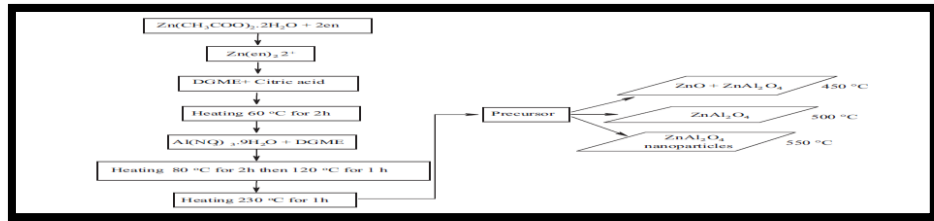
مناسبی بکارگرفته می‌شود. همچنین روی آلمینات در سنتز ترکیبات آلی از جمله در آبگیری الكل‌ها، الفین‌ها^[37,38]، برای سنتز استایرین از استوفنون و ایزومریزاسیون باند دو گانه از استوفنون‌ها به کار گرفته می‌شود. $ZnAl_2O_4$ بستری مناسب برای فلزات گوناگون در تهیه متانول و الكل‌های سنگین، ایزومراسیون باندهای دوگانه آلکن‌ها [٤٠-٤٢] نیز می‌باشد. افزودن بر آن در دستگاه‌های اپتوالکترونیکی و به عنوان پوشش‌های ضد حرارتی در مواد الکترو رسانا و همینطور در تهیه‌ی وسایل فضایی و سرامیکی استفاده می‌شود^[39]. روی آلمینات ویژگی‌های ارتعاشی دارند، که سبب می‌شود از آن در اسپکتروسکوپی رامان و مادون‌قرمز استفاده شود. همچنین وجود نوار شکاف وسیع (3/8 eV) نیمه‌رسانا سبب می‌شود این ماده برای طول موج‌های بالاتر از ۳۲۰ nm شفاف باشد و بنابراین می‌تواند برای کاربردهای نوری الکتریکی فرابنفش (UV) به کار رود^[43-44]. بدین ترتیب روی آلمینات یکی از پرمصرف‌ترین ترکیبات در صنعت است.

۱-۱۰- مروری بر کارهای گذشته

در سال ۲۰۱۱ زیهو^{۱۶} و همکاران موفق به سنتز روی آلمینات به روش نیتراتی شدند. آنها برای تایید ساخت روی آلمینات خود آنالیزهایی همچون طیفسنجی تبدیل فوریه فروسرخ FT-IR ، بررسی و اندازه‌گیری میزان تخلخل و سطوح موثر به وسیله دستگاه BET، پرتو ایکس از نمونه پودر PXRD و بررسی مورفولوژی با میکروسکوپ الکترونی روبشی SEM را انجام دادند. دمای تشکیل روی آلوینات $180^{\circ}C$ در ۲۴ ساعت می‌باشد. و مساحت سطح ویژه در روش انجام شده $(165/5) m^2 g^{-1}$ می‌باشد .[52]

^{۱۶}Zhengru Zhu

در سال ۲۰۱۱ داور^{۱۷} و همکاران موفق به سنتز روی آلمینات به روش سل-ژل با پیش ماده های جدید شدند (شکل ۱-۶). آنها برای تایید ساخت روی آلمینات خود آنالیزهایی همچون طیف‌سنجی تبدیل فوریه فروسرخ FT-IR، پرتو ایکس از نمونه پودر PXRD، تجزیه حرارت TG/DTA، بررسی مورفولوژی با میکروسکوپ الکترونی روبشی SEM را انجام دادند. دمای تشکیل روی آلمینات 550°C در ۲ ساعت می باشد [50].

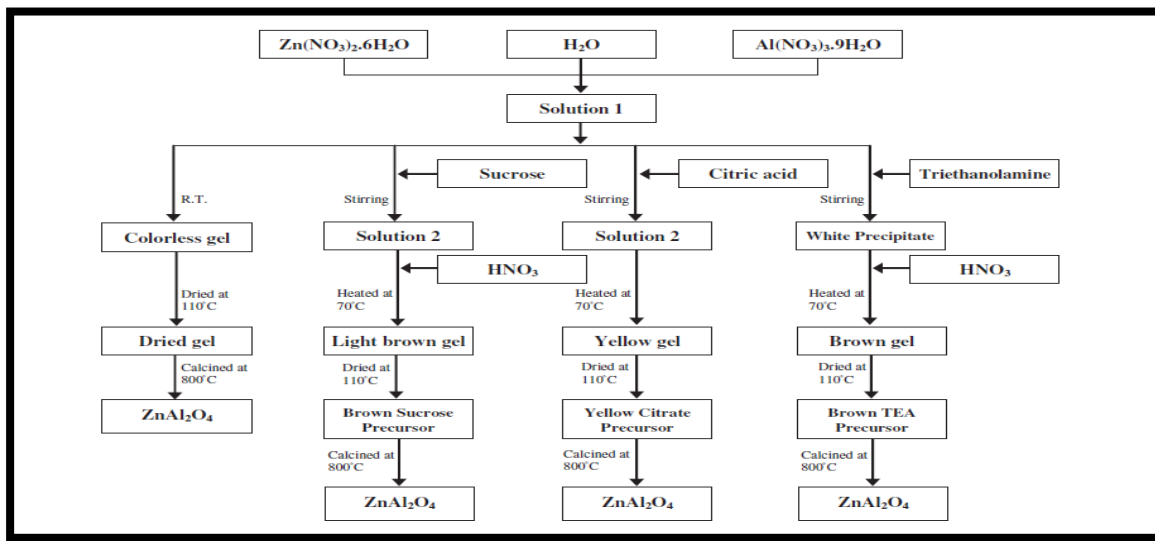


شکل ۱-۶: مراحل ساخت روی آلمینات [۵۰].

در سال ۲۰۱۲ خالدی^{۱۸} و همکاران پس از سنتز روی آلمینات به ۴ روش سل-ژل، سیتراتی، پیش ماده ساکاروزی و پیش ماده تری اتانول آمین (شکل ۱-۷) برای تایید ساخت روی آلمینات خود آنالیزهایی همچون طیف‌سنجی تبدیل فوریه فروسرخ FT-IR، پراش پرتو ایکس از نمونه پودر PXRD، بررسی و اندازه‌گیری میزان تخلخل و سطح موثر به وسیله دستگاه BET، بررسی مورفولوژی با میکروسکوپ الکترونی روبشی SEM را انجام دادند. مساحت سطح ویژه در روش های انجام شده حدود ۴۰/۱۲-۱۳/۶۵ m^2g^{-1} می باشد [45].

¹⁷ Fatemeh Davar

¹⁸ A. G. Khaledi



شکل ۱-۱ مراحل ساخت روی آلومینات [۴۵].

در سال ۲۰۱۲ کومار^{۱۹} و همکاران نیز با سنتز روی آلومینات به روش سل-ژل، شدند و از آن به عنوان یک بستر کاتالیزوری برای اکسیداسیون الکل‌ها استفاده نمودند. همچنین برای تایید ساخت روی آلومینات خود آنالیزهایی همچون طیف‌سنجی تبدیل فوریه فروسرخ FT-IR، پرتو ایکس از نمونه پودر PXRD، فوتولومینسانس PL، بررسی و اندازه‌گیری میزان تخلخل و سطح موثر به وسیله دستگاه BET، بررسی مورفولوژی با میکروسکوپ الکترونی روبشی SEM را انجام دادند. دمای تشکیل روی آلومینات 900°C در ۵ ساعت و مساحت سطح ویژه در روش انجام شده $(67/47)\text{m}^2\text{g}^{-1}$ می‌باشد [48].

در سال ۲۰۱۲ نیز رنجبر^{۲۰} و همکاران موفق به سنتز روی آلومینات به روش ماکروویو شدند. برای تایید ساخت روی آلومینات آنها نیز آنالیزهایی همچون طیف‌سنجی تبدیل فوریه فروسرخ FT-IR، پرتو ایکس از نمونه پودر PXRD، بررسی مورفولوژی با میکروسکوپ الکترونی روبشی SEM، فوتولومینسانس PL

¹⁹ R. Thinesh Kumar

²⁰ Mehdi Ranjbar

بررسی مورفولوژی با میکروسکوپ الکترونی عبوری TEM را انجام دادند. دمای تشکیل روی آلومینات در سال ۲۰۱۳ فرهادی^{۲۱} و همکاران نیز روی آلومینات به روش سل-ژل سنتز نمودند و از روی آلومینات ساخته شده به عنوان یک بستر کاتالیزوری برای استیلاسیون الكل ها، فنول ها و آمین ها استفاده شد.

همچنین برای تایید ساخت روی آلومینات خود آنالیزهایی همچون طیفسنجی تبدیل فوریه فروسرخ FT-IR، پراش پرتو ایکس از نمونه پودر PXRD، بررسی و اندازه‌گیری میزان تخلخل و سطح موثر به وسیله دستگاه BET، بررسی مورفولوژی با میکروسکوپ الکترونی عبوری TEM را انجام دادند. مساحت سطح ویژه در روش های انجام شده $14/75 \text{ m}^2\text{g}^{-1}$ می باشد [46].

در سال ۲۰۱۴ می فنگ و همکاران با سنتز روی آلومینات به روش سیتراتی، آرا به عنوان یک بستر کاتالیزوری برای واکنش های کوپلینگ سوزوکی-میورا^{۲۲} استفاده شد. همچنین برای تایید ساخت روی آلومینات خود آنالیزهایی همچون طیف نگاری فوتوالکترونی اشعه ایکس XPS، پراش پرتو ایکس از نمونه پودر PXRD، بررسی و اندازه‌گیری میزان تخلخل و سطح موثر به وسیله دستگاه BET، بررسی مورفولوژی با میکروسکوپ الکترونی عبوری TEM را انجام دادند. دمای تشکیل روی آلومینات 180°C در ۱۲ ساعت و مساحت سطح ویژه در روش انجام شده $271 \text{ m}^2\text{g}^{-1}$ می باشد [47].

در سال ۲۰۱۴ لانوس^{۲۳} و همکاران نیز روی آلومینات را به روش جدید احتراق اصلاح شده سنتز نمودند. برای تصدیق ساخت روی آلومینات، آنها آنالیزهایی همچون پرتو ایکس از نمونه پودر PXRD، بررسی و اندازه‌گیری میزان تخلخل و سطوح موثر به وسیله دستگاه BET، بررسی مورفولوژی با میکروسکوپ

²¹ Saeed Farhadi

²² Suzuki-Miyaura Coupling Reaction

²³ Robert Ianos

الکترونی روبشی SEM را انجام دادند . . دمای تشکیل روی آلومینات 500°C و مساحت سطح ویژه در روش انجام شده $127(\text{m}^2\text{g}^{-1})$ می باشد [49].

در این پژوهش ما دو فرایند سل - ژل و هیدروترمال را باهم ترکیب نمودیم و روش سل ژل - هیدروترمال را برای تهیه نانو ذرات روی آلومینات در دماها و حلال‌های گوناگون بکار بردیم.

فصل دوم

بخش

تجربی

۱-۲- دستگاه‌ها

۱-۱-۲- دستگاه طیف‌سنج تبدیل فوریه فروسرخ^{۲۴}

طیف‌های IR به وسیله دستگاه فروسرخ مدل Rayleigh WQF-500 FT-IR با استفاده از قرص پتاسیم برمید (KBr) خشک گرفته شدند.

۲-۱-۲- دستگاه پراش پرتو ایکس^{۲۵}

برای شناسایی نمونه‌های جامد، دستگاه XRD با ویژگی‌های زیر به کار گرفته شد.

X-Ray Powder Diffraction

Diffraction type: D8 Advance Bruker

Copper tube

K α $\lambda=1/5406$

Generation Tension: 35 KV

Generation Current: 30 A

۳-۱-۲- دستگاه تجزیه حرارتی^{۲۶}

آنالیز حرارتی نمونه‌ها با دستگاه تجزیه حرارتی با ویژگی‌های زیر انجام شد.

Model: STA 1640 rate: 5 deg/min

Temperature Program : 10 – 800 °C

Atmosphere: Air

²⁴ Fourier Transform Infrared (FTIR)

²⁵ X- Ray Diffraction (XRD)

²⁶ Thermal Analysis

۲-۱-۴- دستگاه میکروسکوپ الکترونی روبشی^{۲۷}

برای بررسی مورفولوژی و تعیین اندازه ذرات، دستگاه SEM مدل TESCAN(SEM MIRA \ HV:20/00kV)

۲-۱-۵- کوره الکتریکی الکتریکی °C ۱۲۰۰

جهت تکلیس پودرهای بدست آمده از کوره الکتریکی با ویژگی‌های زیر به کار گرفته شد.

Electric Furnace Raypa HM-9

۲-۱-۶- دستگاه BET^{۲۸}

جهت بررسی و اندازه‌گیری میزان تخلخل و سطح موثر نمونه‌ها

۲-۲- مواد اولیه

روی استیل استونات، روی کلرید، جیوه کلرید (II)، روی نیترات، تولوئن، ۲- بوتانول، سدیم و بنزووفنون از شرکت مرک خریداری گردید و بدون خالص‌سازی به کار گرفته شد.

۲-۳- خشک کردن تولوئن

برای خشک کردن این حلal سدیم و بنزووفنون به همراه تولوئن، رفلaks شد تا رنگ آبی ظاهر گردد. سپس حلal جمع‌آوری و در فرآیندها به کار گرفته شد [53].

²⁷ Scanning Electron Microscopy

²⁸ Brunauer, Emmett and Teller

۴-۲- تهیه اسپینل روی آلمینات

آزمایش‌ها در هشت دسته جداگانه بررسی شد.

(۱) در دسته نخست برای تهیه روی آلمینات، $Zn(acac)_2$ و $Al(O^sBu)_3$ در جایگاه پیش ماده و تولوئن در جایگاه حلال به کار گرفته شد.

(۲) برای تهیه روی آلمینات، $Zn(acac)_2$ و $Al(O^sBu)_3$ در جایگاه پیش ماده و ۲-بوتanol در جایگاه حلال به کار گرفته شد.

(۳) در مخلوط $Zn(acac)_2$ و $Al(O^sBu)_3$ ۱:۱ تولوئن / ۲-بوتanol به کار گرفته شد.

(۴) در مخلوط $ZnCl_2$ و $Al(O^sBu)_3$ ۱:۱ تولوئن / ۲-بوتanol به کار گرفته شد.

(۵) در جایگاه پیش ماده و ۲-بوتanol در جایگاه حلال به کار گرفته شد.

(۶) در در مخلوط $ZnCl_2 \cdot 2H_2O$ و $Al(O^sBu)_3$ ۱:۱ تولوئن / ۲-بوتanol به کار گرفته شد

(۷) در مخلوط $Zn(NO_3)_2 \cdot 6H_2O$ و $Al(O^sBu)_3$ ۱:۱ تولوئن / ۲-بوتanol به کار گرفته شد.

(۸) در جایگاه پیش ماده و ۲-بوتanol در جایگاه حلال به کار گرفته شد

شد

در این آزمایش‌ها، تلاش شد اثر پارامتر های گوناگون همچون حلال، دمای هیدروترمال و پیش ماده بر فرآورده‌ی این فرآیندها که روی آلمینات می‌باشد بررسی شود. ویژگی‌های فرآیند تهیه روی آلمینات در جدول ۱-۲ نشان داده شده است.

جدول ۲: ویژگی‌های فرآیند تهیه روی آلمینات

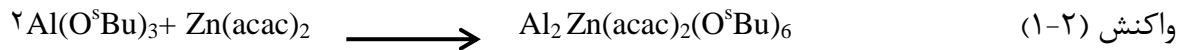
نمونه	پیش ماده	حالت	دماهی هیدروترمال (°C)
SP1	$2\text{Al}(\text{O}^{\text{s}}\text{Bu})_3 + \text{Zn}(\text{acac})_2$	تولوئن	۵۰
SP2	$2\text{Al}(\text{O}^{\text{s}}\text{Bu})_3 + \text{Zn}(\text{acac})_2$	تولوئن	۱۰۰
SP3	$2\text{Al}(\text{O}^{\text{s}}\text{Bu})_3 + \text{Zn}(\text{acac})_2$	تولوئن	۱۵۰
SP4	$2\text{Al}(\text{O}^{\text{s}}\text{Bu})_3 + \text{Zn}(\text{acac})_2$	تولوئن	۲۰۰
SP5	$2\text{Al}(\text{O}^{\text{s}}\text{Bu})_3 + \text{Zn}(\text{acac})_2$	تولوئن/۲-بوتانول	۵۰
SP6	$2\text{Al}(\text{O}^{\text{s}}\text{Bu})_3 + \text{Zn}(\text{acac})_2$	تولوئن/۲-بوتانول	۱۰۰
SP7	$2\text{Al}(\text{O}^{\text{s}}\text{Bu})_3 + \text{Zn}(\text{acac})_2$	تولوئن/۲-بوتانول	۱۵۰
SP8	$2\text{Al}(\text{O}^{\text{s}}\text{Bu})_3 + \text{Zn}(\text{acac})_2$	تولوئن/۲-بوتانول	۲۰۰
SP9	$2\text{Al}(\text{O}^{\text{s}}\text{Bu})_3 + \text{Zn}(\text{acac})_2$	- ۲-بوتانول	۵۰
SP10	$2\text{Al}(\text{O}^{\text{s}}\text{Bu})_3 + \text{Zn}(\text{acac})_2$	- ۲-بوتانول	۱۰۰
SP11	$2\text{Al}(\text{O}^{\text{s}}\text{Bu})_3 + \text{Zn}(\text{acac})_2$	- ۲-بوتانول	۱۵۰
SP12	$2\text{Al}(\text{O}^{\text{s}}\text{Bu})_3 + \text{Zn}(\text{acac})_2$	- ۲-بوتانول	۲۰۰
SP13	$2\text{Al}(\text{O}^{\text{s}}\text{Bu})_3 + \text{ZnCl}_2$	تولوئن/۲-بوتانول	۵۰
SP14	$2\text{Al}(\text{O}^{\text{s}}\text{Bu})_3 + \text{ZnCl}_2$	تولوئن/۲-بوتانول	۱۰۰
SP15	$2\text{Al}(\text{O}^{\text{s}}\text{Bu})_3 + \text{ZnCl}_2$	تولوئن/۲-بوتانول	۱۵۰
SP16	$2\text{Al}(\text{O}^{\text{s}}\text{Bu})_3 + \text{ZnCl}_2$	تولوئن/۲-بوتانول	۲۰۰

نمونه	پیش ماده	حال	دماهی هیدروترمال (°C)
SP17	$2\text{Al(O}^{\text{s}}\text{Bu})_3 + \text{ZnCl}_2$	- بوتانول	۵۰
SP18	$2\text{Al(O}^{\text{s}}\text{Bu})_3 + \text{ZnCl}_2$	- بوتانول	۱۰۰
SP19	$2\text{Al(O}^{\text{s}}\text{Bu})_3 + \text{ZnCl}_2$	- بوتانول	۱۵۰
SP20	$2\text{Al(O}^{\text{s}}\text{Bu})_3 + \text{ZnCl}_2$	- بوتانول	۲۰۰
SP21	$2\text{Al(O}^{\text{s}}\text{Bu})_3 + \text{ZnCl}_2 \cdot 2\text{H}_2\text{O}$	تولوئن/- بوتانول	۵۰
SP22	$2\text{Al(O}^{\text{s}}\text{Bu})_3 + \text{ZnCl}_2 \cdot 2\text{H}_2\text{O}$	تولوئن/- بوتانول	۱۰۰
SP23	$2\text{Al(O}^{\text{s}}\text{Bu})_3 + \text{ZnCl}_2 \cdot 2\text{H}_2\text{O}$	تولوئن/- بوتانول	۱۵۰
SP24	$2\text{Al(O}^{\text{s}}\text{Bu})_3 + \text{ZnCl}_2 \cdot 2\text{H}_2\text{O}$	تولوئن/- بوتانول	۲۰۰
SP25	$2\text{Al(O}^{\text{s}}\text{Bu})_3 + \text{Zn(NO}_3)_2$	تولوئن/- بوتانول	۵۰
SP26	$2\text{Al(O}^{\text{s}}\text{Bu})_3 + \text{Zn(NO}_3)_2$	تولوئن/- بوتانول	۱۰۰
SP27	$2\text{Al(O}^{\text{s}}\text{Bu})_3 + \text{Zn(NO}_3)_2$	تولوئن/- بوتانول	۱۵۰
SP28	$2\text{Al(O}^{\text{s}}\text{Bu})_3 + \text{Zn(NO}_3)_2$	تولوئن/- بوتانول	۲۰۰
SP29	$2\text{Al(O}^{\text{s}}\text{Bu})_3 + \text{Zn(NO}_3)_2$	- بوتانول	۵۰
SP30	$2\text{Al(O}^{\text{s}}\text{Bu})_3 + \text{Zn(NO}_3)_2$	- بوتانول	۱۰۰
SP31	$2\text{Al(O}^{\text{s}}\text{Bu})_3 + \text{Zn(NO}_3)_2$	- بوتانول	۱۵۰
SP32	$2\text{Al(O}^{\text{s}}\text{Bu})_3 + \text{Zn(NO}_3)_2$	- بوتانول	۲۰۰

۲-۴-۱- تهیه پیش ماده روی آلومینات با $Zn(acac)_2$ و $Al(O^sBu)_3$ در تولوئن

به دلیل واکنش پذیری بالای آلومینیوم تری ۲- بوتوكساید با بخار آب و آبکافت آن، همهی فرآیندها در اتمسفر نیتروژن خشک بررسی شد.

در دسته‌ی نخست آزمایش‌ها $Zn(acac)_2$ ۰/۶۵۸ گرم دریک با لن ۵۰ میلی‌لیتری ریخته شد و به آن ۵ میلی‌لیتر $Al(O^sBu)_3$ مولار در تولوئن افزوده شد. سپس ۵ میلی‌لیتر تولوئن به آن افزوده شد تا غلظت ۰/۲۵ مولار از پیش ماده فرضی $ZnAl_2(O^sBu)_6(acac)_2$ تهیه شد. با نسبت مولی ۱:۲ Zn/Al تهیه گردد (واکنش ۱-۲). این مخلوط ۱۵ دقیقه با همزن مغناطیسی هم زده شد تا محلولی شفاف و زردرنگ بدست آمد.



۲-۴-۲- تهیه پیش ماده روی آلومینات با $Zn(acac)_2$ و $Al(O^sBu)_3$ در تولوئن /

۲- بوتانول

در این قسمت ۰/۶۵۸ گرم $Zn(acac)_2$ دریک بالن ۵۰ میلی‌لیتری ریخته شد و به آن ۵ میلی‌لیتر ۰/۲۵ مولار در تولوئن افزوده شد. سپس ۵ میلی‌لیتر ۲- بوتانول به آن افزوده شد تا غلظت ۰/۲۵ مولار از پیش ماده فرضی $ZnAl_2(O^sBu)_6(acac)_2$ تهیه گردید. این مخلوط ۱۵ دقیقه با همزن مغناطیسی هم زده شد تا محلولی شفاف و زردرنگ بدست آمد.

-۴-۳- تهیه پیش ماده روی آلومینات با $Zn(acac)_2$ و $Al(O^sBu)_3$ در ۲

بوتanol

در این قسمت ۰/۶۵۸ گرم $Zn(acac)_2$ دریک بالن ۵۰ میلی لیتری ریخته شد و به آن ۲/۵ میلی لیتر ۲ مولار $Al(O^sBu)_3$ مولار ۷/۵ میلی لیتر ۲- بوتانول به آن افزوده شد تا غلظت ۰/۲۵ مولار از پیش ماده فرضی $ZnAl_2(O^sBu)_6(acac)_2$ تهیه گردد. این مخلوط ۱۵ دقیقه با همزن مغناطیسی هم زده شد تا محلولی شفاف و زردرنگ بdst آمد.

-۴-۴- تهیه پیش ماده روی آلومینات با $ZnCl_2$ و $Al(O^sBu)_3$ در تولوئن ۲

بوتanol

در این قسمت ۰/۳۴ گرم $Zn(Cl)_2$ دریک بالن ۵۰ میلی لیتری ریخته شد و به آن ۵ میلی لیتر ۱ مولار در تولوئن افزوده شد. سپس ۵ میلی لیتر ۲- بوتانول به آن افزوده شد تا غلظت ۰ مولار از پیش ماده فرضی $ZnAl_2(O^sBu)_6(Cl)_2$ با نسبت مولی ۱:۲ تهیه گردد (واکنش ۲). این مخلوط ۱۵ دقیقه با همزن مغناطیسی هم زده شد تا محلولی شفاف و زردرنگ بdst آمد.



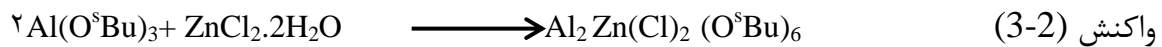
-۴-۵- تهیه پیش ماده روی آلومینات با $ZnCl_2$ و $Al(O^sBu)_3$ در ۲- بوتانول

در این قسمت ۰/۳۴ گرم $ZnCl_2$ دریک بالن ۵۰ میلی لیتری ریخته شد و به آن ۲/۵ میلی لیتر ۲ مولار $Al(O^sBu)_3$ مولار ۷/۵ میلی لیتر ۲- بوتانول به آن افزوده شد تا غلظت ۰/۲۵ مولار از پیش ماده فرضی $ZnAl_2(O^sBu)_6(Cl)_2$ تهیه گردید. این مخلوط ۱۵ دقیقه با همزن مغناطیسی هم زده شد تا محلولی شفاف و زردرنگ بdst آمد.

۴-۶-۲- تهیه پیش ماده روی آلومینات با $ZnCl_2$ و $Al(O^sBu)_3$ در تولوئن /۲-

بوتanol

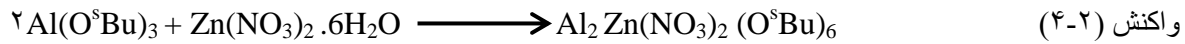
در این قسمت 0.4307 گرم $ZnCl_2 \cdot 2H_2O$ دریک بالن 50 میلی لیتری ریخته شد و به آن 5 میلی لیتر 0.25 مولار در تولوئن افزوده شد. سپس 5 میلی لیتر ۲- بوتانول به آن افزوده شد تا غلظت 0.2 مولار از پیش ماده فرضی $Zn/Al = 1:2$ تهیه گردد (واکنش ۲-۳). این مخلوط ۱۵ دقیقه با همزن مغناطیسی هم زده شد تا محلولی شفاف و زردرنگ بdst آمد.



۴-۷-۲- تهیه روی آلومینات با پیش ماده $Al(O^sBu)_3$ و $Zn(NO_3)_2 \cdot 6H_2O$ در

تولوئن /۲- بوتانول

در این قسمت 0.743 گرم $Zn(NO_3)_2 \cdot 6H_2O$ دریک بالن 50 میلی لیتری ریخته شد و به آن 5 میلی لیتر 0.25 مولار در تولوئن افزوده شد. سپس 5 میلی لیتر ۲- بوتانول به آن افزوده شد تا غلظت 0.2 مولار از پیش ماده فرضی $Zn/Al = 1:2$ تهیه $ZnAl_2(O^sBu)_6(NO_3)_2$ با نسبت مولی 0.25 مولار از پیش ماده فرضی $Zn/Al = 1:2$ تهیه گردد (واکنش ۴-۲). این مخلوط ۱۵ دقیقه با همزن مغناطیسی هم زده شد تا محلولی شفاف و زردرنگ بdst آمد.



۴-۸-۲- تهیه پیش ماده روی آلومینات با $\text{Zn}(\text{NO}_3)_2 \cdot 6\text{H}_2\text{O}$ و $\text{Al(O}^{\circ}\text{Bu)}_3$ در

۲- بوتانول

در این قسمت 0.743 g $\text{Zn}(\text{NO}_3)_2 \cdot \text{H}_2\text{O}$ دریک بالن 50 mL لیتری ریخته شد و به آن $2/5\text{ M}$ میلی لیتر $\text{Al(O}^{\circ}\text{Bu)}_3$ مولار در 2- بوتانول افزوده شد. سپس $7/5\text{ M}$ میلی لیتر 2- بوتانول به آن افزوده شد تا غلظت 0.25 M مولار از پیش ماده فرضی $\text{ZnAl}_2(\text{O}^{\circ}\text{Bu})_6(\text{NO}_3)_2$ تهیه گردید. این مخلوط دقیقه با همزن مغناطیسی هم زده شد تا محلولی شفاف و زردرنگ بດست آمد.

۴-۹-۲- آبکافت $\text{ZnAl}_2(\text{O}^{\circ}\text{bu})_6(\text{X})_2$ به شیوهٔ هیدروترمال

25 mL میلی لیتر از پیش ماده های تهیه شده به شیوهٔ $2-4-1\text{--}2$ با غلظت 0.25 M مولار در یک بشر 25 mL لیتری ریخته شد و درون راکتور استیل (شکل ۲-۱) دارای 40 mL لیتر آب مقطر قرار داده شد. سپس راکتور استیل در دمای 150°C ، 100°C و 200°C درجه سانتی گراد به مدت 5 تا 24 ساعت حرارت داده شد. فرآیند هیدروترمال با نفوذ بخار آب و آبکافت آلکوکسید آلومینیوم انجام شد. بخش های فرآیند آبکافت هیدروترمال در شکل ۲-۲ نشان داده شده است.

۴-۹-۲- خشک کردن و تکلیس ژلهای بດست آمده از آبکافت

پس از آبکافت پیش ماده های فرضی و تشکیل ژل به روش هیدروترمال به شیوهٔ $2-4-2$ ، ژل بດست آمده صاف گردید و در طول شب در دمای 100°C درجه سانتی گراد خشک شد. پس از خشک کردن، پودرهای به دست آمده به مدت 3 ساعت در دمای 200°C درجه سانتی گراد تکلیس شدند. بخش های این فرآیند نیز در شکل ۲-۲ نشان داده شده است.

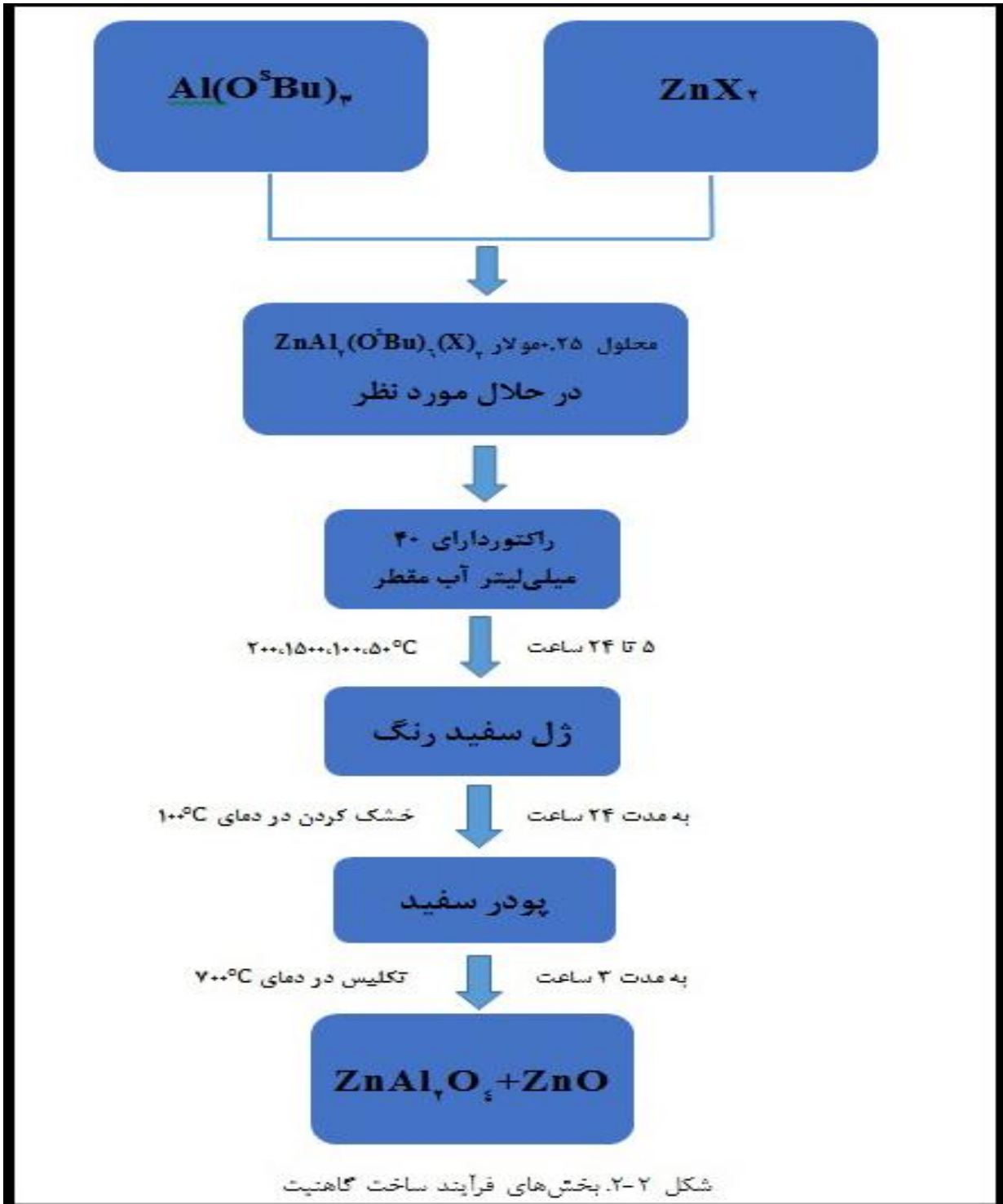
۱۰-۴-۲- خشک کردن و تکلیس ژلهای بدست آمده از آبکافت پیش ماده روی

آلومینات با $Zn(acac)_2$ و $Al(OBu)_3$ در ۲- بوتانول در دماهای مختلف

پس از آبکافت پیش ماده های فرضی و تشكیل ژل به روش هیدروترمال به شیوه‌ی ۲-۴-۲، ژل بدست آمده صاف گردید و در طول شب در دمای ۱۰۰ درجه سانتیگراد خشک شد. پس از خشک کردن، پودرهای نمونه های (SP12 ، SP9) به دست آمده به مدت ۳ ساعت در دمای ۸۰۰، ۷۰۰، ۶۰۰، ۵۰۰، ۴۰۰ درجه سانتیگراد تکلیس شدند. بخش‌های این فرآیند نیز در شکل ۲-۲ نشان داده شده است.



شکل ۲-۱. تصویر راکتور به کار گرفته شده برای آبکافت به شیوه‌ی هیدروترمال.



شکل ۲-۲. بخش‌های فرآیند ساخت گاهنیت.

فصل سوم

بحث و

نتیجه‌گیری

۳- بررسی نتایج

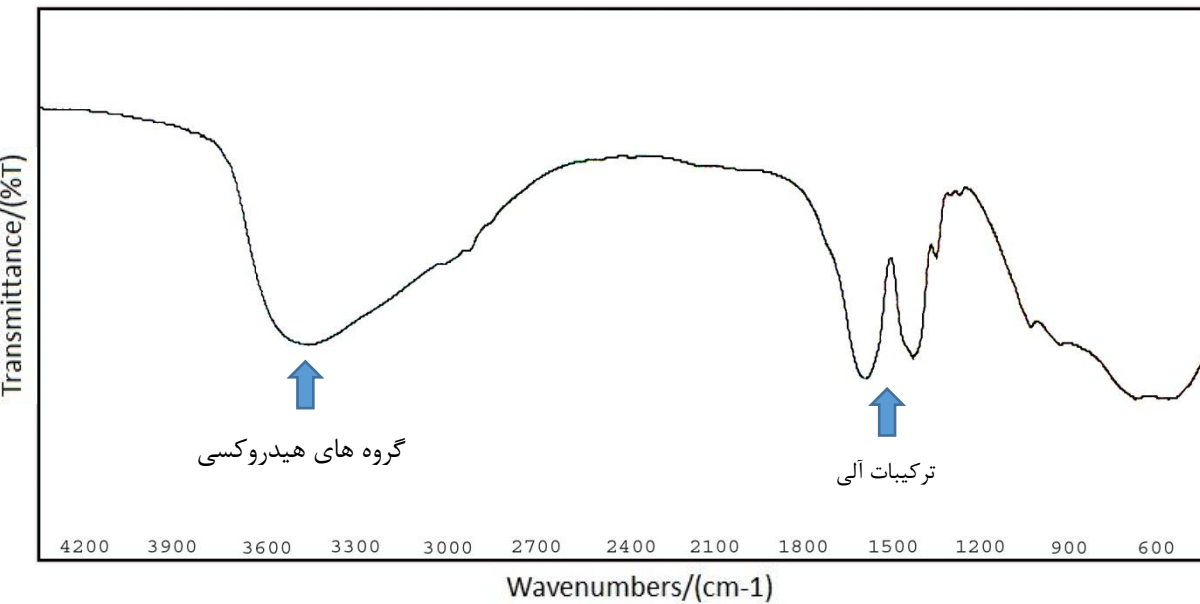
فرآیند سل- ژل فرآیندی است جهت تهیه اکسیدهای فلزی ساده و مرکب که به جهت گذر از یک مرحله محلول مشکلات سنتزهای حالت جامد همچون اختلاط مولکولی را ندارد. روش هیدروترمال روشی برای تهیه اکسیدهای فلزی در دمای پایین‌تر از روش‌های معمول تهیه‌ی سرامیک‌های گوناگون می‌باشد. افزون بر آن همان‌گونه که در بخش‌های پیشین گفته شد، اسپینل‌ها به سبب پایداری دمایی بالا، مقاومت مکانیکی بالا و خاصیت نوری و کاتالیزور بسیار خوب مورد توجه می‌باشند. بنابراین می‌توان انتظار داشت که تلفیق دو روش بالا جهت تهیه نانو ذرات به خوبی عمل نماید. در این تحقیق نانو ذرات اسپینل با روش سل ژل - هیدروترمال تهیه شد. تولوئن، ۲-بوتanol یا مخلوط این دو به عنوان حلal در فرآیند آبکافت هیدروترمال به کار گرفته شد. به جهت بررسی اثر دما نیز، آبکافت هیدروترمال در چهار دمای 50°C ، 100°C ، 150°C و 200°C انجام شد. همچنین تغییر نوع پیش ماده نیز بررسی شد. در ادامه با روش‌های آنالیزی تلاش گردید اثر هر یک از این پارامترها بر ویژگی‌های فرآورده‌ی اسپینل بدست آمده از فرآیند آبکافت هیدروترمال بررسی گردد.

۳-۱-۱- بررسی نتایج آبکافت ترکیب $\text{ZnAl}_2(\text{O}^{\text{s}}\text{Bu})_6(\text{X})_2$ به روش هیدروترمال

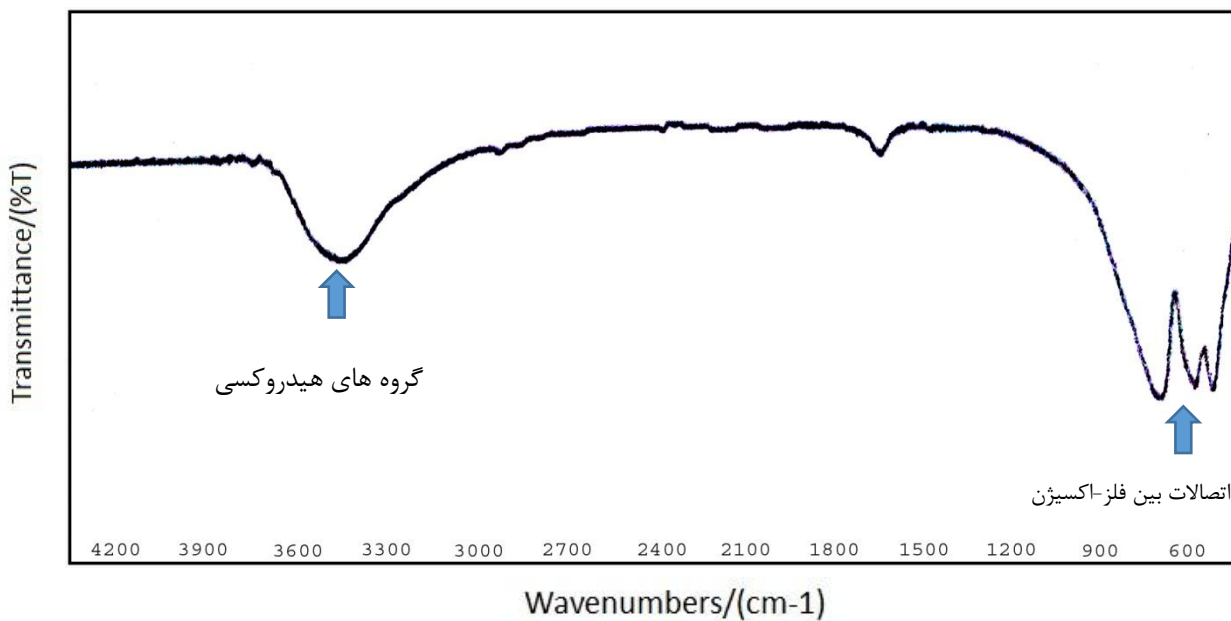
۳-۱-۱-۱- طیف‌سنجدی تبدیل فوریه فروسرخ FTIR

ویژگی طیف IR اسپینل، دیده شدن نوارهایی در cm^{-1} 655 ، 470 ، 550 و 400 می‌باشد که به پیوند $(\text{M}-\text{O}-\text{M})$ نسبت داده می‌شود [54]. طیف FTIR نمونه‌های مختلف پس از تکلیس به ترتیب در (شکل‌های ۳-۱ تا ۳-۳) نشان داده شده است. قابل توجه است که تعداد و شکل نوارهای IR در ZnAl_2O_4 به روش تهیه آن نیز بستگی دارد [17]. دقت در این طیف‌ها نشان می‌دهد همه فرآورده‌ها نوارهایی در محدوده $3500\text{--}3400\text{ cm}^{-1}$ دارند که به مدت ارتعاشی گروه هیدروکسیل در ترکیب مربوط می‌شود. البته وجود

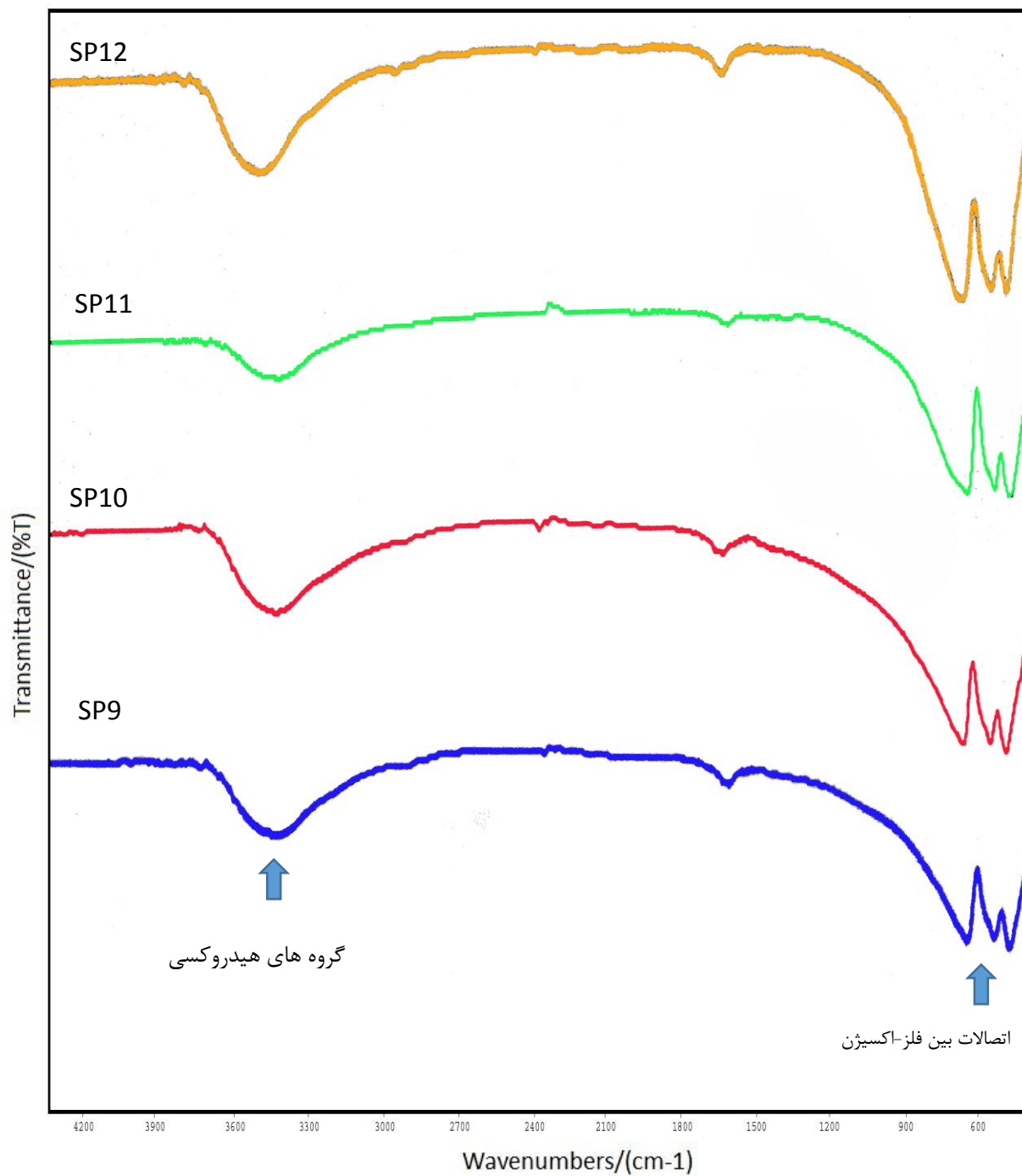
این نوار در نمونه‌های تکلیس شده که دارای گروه OH نباشند، نشان‌دهنده جذب آب هنگام مخلوط کردن نمونه‌ها با KBr می‌باشد که شدت این نوار در این نمونه‌ها کاهش می‌یابد. همچنین نوار دیده شده در 1620 cm^{-1} مربوط به ارتعاش خمثی آب می‌باشد که شدت آن در نمونه‌های تکلیس شده کاهش می‌یابد [55]. نوارهای مشاهده شده در 1573 cm^{-1} و 1380 cm^{-1} در نمونه‌های تکلیس نشده مربوط به باقیمانده ترکیبات آلی موجود در ترکیب می‌باشد [56]. نوارهای کششی اسپینل در محدوده $900 - 500\text{ cm}^{-1}$ ارتعاش‌های فلز- اکسیژن، ZnO_4 (در AlO_6 هشت‌وجهی) و Al-O (در AlO_6 هشت‌وجهی)، نسبت داده می‌شود. در اکسیدهای آلمینیوم کاتیون Al ممکن است به شیوه‌های مختلف به اکسیژن کوئوردینه شود. اگر کاتیون 6 کوئوردینه باشد (AlO_6) نوارهای ارتعاشی Al-O در محدوده $700 - 500\text{ cm}^{-1}$ هستند، اما در حالت 4 کوئوردینه (AlO_4) انتظار می‌رود نوارهای ارتعاشی کششی در محدوده باریک $850\text{ cm}^{-1} - 700\text{ cm}^{-1}$ باشند [57-58]. افزون بر آن‌ها، نوارهای ارتعاشی Zn-O می‌تواند با نوارهای ارتعاشی Al-O همپوشانی کند. در این پژوهش نوارهای 499 cm^{-1} , 563 cm^{-1} , 669 cm^{-1} در نمونه‌ها دیده شد که می‌تواند به سبب ارتعاش کششی AlO_6 باشد. همه نمونه‌ها نوارهایی در این محدوده دارند که تأییدی بر تهییه اسپینل است [59-60]. البته نوارهای ارتعاشی Zn-O و Al-O در نمونه‌های تکلیس شده به دلیل ساخت اسپینل با شدت و تفکیک بیشتری ظاهر می‌شوند. جالب توجه اینکه با تغییر دمای هیدروترمال یا حلal، تغییری در طیف‌های IR نمونه‌ها پدید نمی‌آید.



شکل ۱-۳. طیف FT-IR نمونه (SP12)، آبکافت هیدروترمال $ZnAl_2(O^sBu)_6(acac)_2$ در ۲-بوتانول دمای $200\text{ }^\circ\text{C}$.



شکل ۲-۳. طیف FT-IR نمونه (SP12)، آبکافت هیدروترمال $ZnAl_2(O^sBu)_6(acac)_2$ در ۲-بوتانول دمای $200\text{ }^\circ\text{C}$ تکلیس شده در دمای $700\text{ }^\circ\text{C}$ به مدت ۳ ساعت

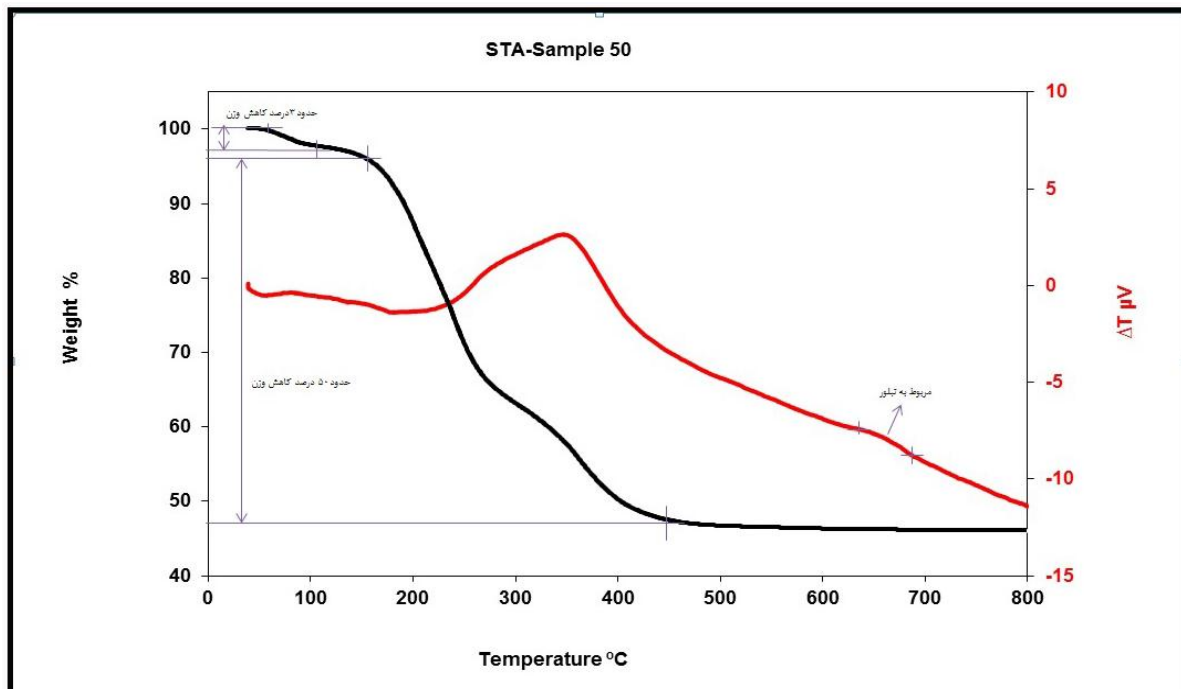


شکل ۳-۳: طیف های FT-IR نمونه‌های $ZnAl_2(O^{\circ}Bu)_6(acac)_2$ ، آبکافت هیدروترمال (SP9-SP12) در ۲-بوتanol به ترتیب در دمای ۵۰، ۱۰۰، ۱۵۰۰، ۲۰۰۰ $^{\circ}C$ تکلیس شده در دمای ۷۰۰ $^{\circ}C$ به مدت ۳ ساعت.

۳-۱-۲- تجزیه حرارتی (Al(O^sBu)₃ + Zn(acac)₂) SP9 TG/DTA در

۲- بوتانول در دمای ۵۰ درجه سانتی گراد

در شکل ۳-۴ نمودار تجزیه حرارتی ژلها حاصل از آبکافت نمونه (Al(O^sBu)₃ + Zn(acac)₂) SP9 در ۲- بوتانول در دمای ۵۰ درجه سانتی گراد نشان داده شده است. نمودار TG این نمونه که در دارای افت وزن ۴ درصدی در حدود ۱۰۰°C می باشد که با یک نوار گرم‌ماگیر در DTA همراه بوده و احتمالاً مربوط به خروج آب جذب شده به صورت فیزیکی در خلل و فرج‌های ژل است. در محدوده دمایی ۴۵۰-۱۰۰°C دو فرآیند گرم‌مازا مشاهده می شود که احتمالاً نتیجه‌ی سوختن ترکیبات آلی بوده و با افت وزن ۵۰ درصدی همراه می باشد. افزون بر آن، در محدوده دمایی حدود ۶۵۰°C یک نوار گرم‌مازا در DTA مشاهده می شود که هیچ افت وزنی در TG همراه نیست و احتمالاً به سبب تبلور گاهنیت یا اسپینل روی آلومینات است.

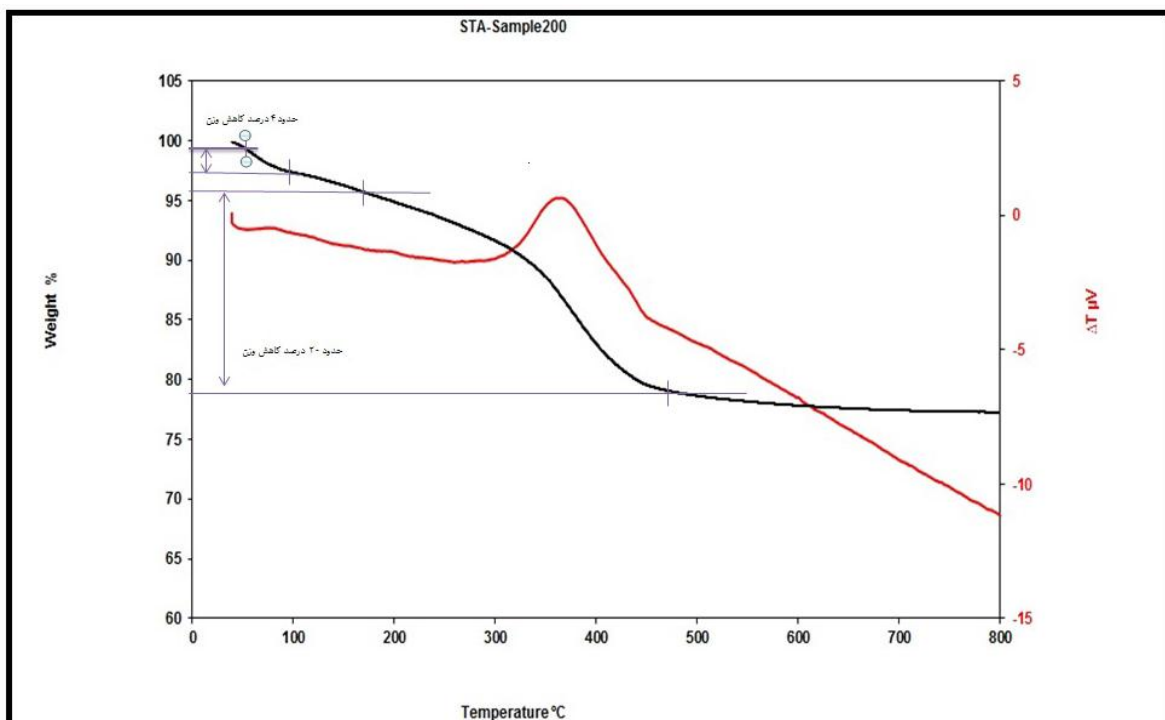


شکل ۳-۴. نمودار تجزیه حرارتی ژل حاصل از آبکافت نمونه (Al(O^sBu)₃ + Zn(acac)₂) SP9 در ۲- بوتانول در دمای ۵۰ درجه سانتی گراد.

۳-۲-۲- تجزیه حرارتی TG/DTA نمونه SP12

در ۲-بوتanol در دمای ۲۰۰ درجه سانتیگراد

در شکل ۳-۵ نمودار تجزیه حرارتی ژلهای حاصل از آبکافت نمونه SP12 $\text{Al(O}^{\text{s}}\text{Bu)}_3 + \text{Zn(acac)}_2$ در ۲-بوتanol در دمای ۲۰۰ درجه سانتیگراد نشان داده شده است. نمودار TG این نمونه که در دارای افت وزن ۴ درصدی در حدود 100°C میباشد که با یک نوار گرمایشی در DTA همراه بوده و احتمالاً مربوط به خروج آب جذب شده به صورت فیزیکی در خلل و فرجهای ژل است. در محدوده دمایی $450-200^{\circ}\text{C}$ یک فرآیند گرمایزا مشاهده میشود که احتمالاً نتیجه ای سوختن ترکیبات آلی بوده و با افت وزن ۲۰ درصدی همراه میباشد. برخلاف نمونه ۵۰ درجه سانتی گراد در این نمونه تبلور گاهنیت قابل مشاهده نیست.



شکل ۳-۵. نمودار تجزیه حرارتی ژل حاصل از آبکافت نمونه SP12 $\text{Al(O}^{\text{s}}\text{Bu)}_3 + \text{Zn(acac)}_2$ در ۲-بوتanol در دمای ۲۰۰ درجه سانتی گراد.

۳-۱-۳- پراش پرتو ایکس از نمونه پودر PXRD

برای بررسی تشکیل فاز اسپینل آلومینات روی و تعیین اندازه ذرات و همچنین بررسی تأثیر پارامترهای مانند حلال، پیش ماده و دمای هیدروترمال الگوی پرتو ایکس همهی نمونه‌ها پس از تکلیس بررسی شد. الگوی پرتو ایکس نمونه‌های حاصل از آبکافت $\text{Al}(\text{O}^{\text{s}}\text{Bu})_3 + \text{Zn}(\text{acac})_2$ در تولوئن (SP1) تا (SP4)، مخلوط تولوئن/۲-بوتanol (SP5 تا SP8) و ۲-بوتanol (SP9 تا SP12)، نمونه‌های حاصل از آبکافت $\text{Al}(\text{O}^{\text{s}}\text{Bu})_3 + \text{ZnCl}_2$ در مخلوط تولوئن/۲-بوتanol (SP13 تا SP16)، ۲-بوتanol (SP17 تا SP20)، نمونه‌های حاصل از آبکافت $\text{Al}(\text{O}^{\text{s}}\text{Bu})_3 + \text{ZnCl}_2 \cdot 2\text{H}_2\text{O}$ در مخلوط تولوئن/۲-بوتanol (SP21 تا SP24) و همچنین نمونه‌های حاصل از آبکافت $\text{Al}(\text{O}^{\text{s}}\text{Bu})_3 + \text{Zn}(\text{NO}_3)_2$ در مخلوط تولوئن/۲-بوتanol (SP25) تا (SP28) و در ۲-بوتanol (SP29 تا SP32) به ترتیب در دماهای 50°C ، 100°C ، 150°C و 200°C به ترتیب در (شکل‌های ۳-۹ تا ۳-۱۶) نشان داده شده است و داده‌های پراش نمونه‌های SP9 تا SP12 در جدول ۳-۱ با داده‌های نمونه استاندارد اسپینل مقایسه شده است و مقدار $d(\text{A}^\circ)$ برای هر نمونه با استفاده از رابطه برآگ محاسبه گردید.

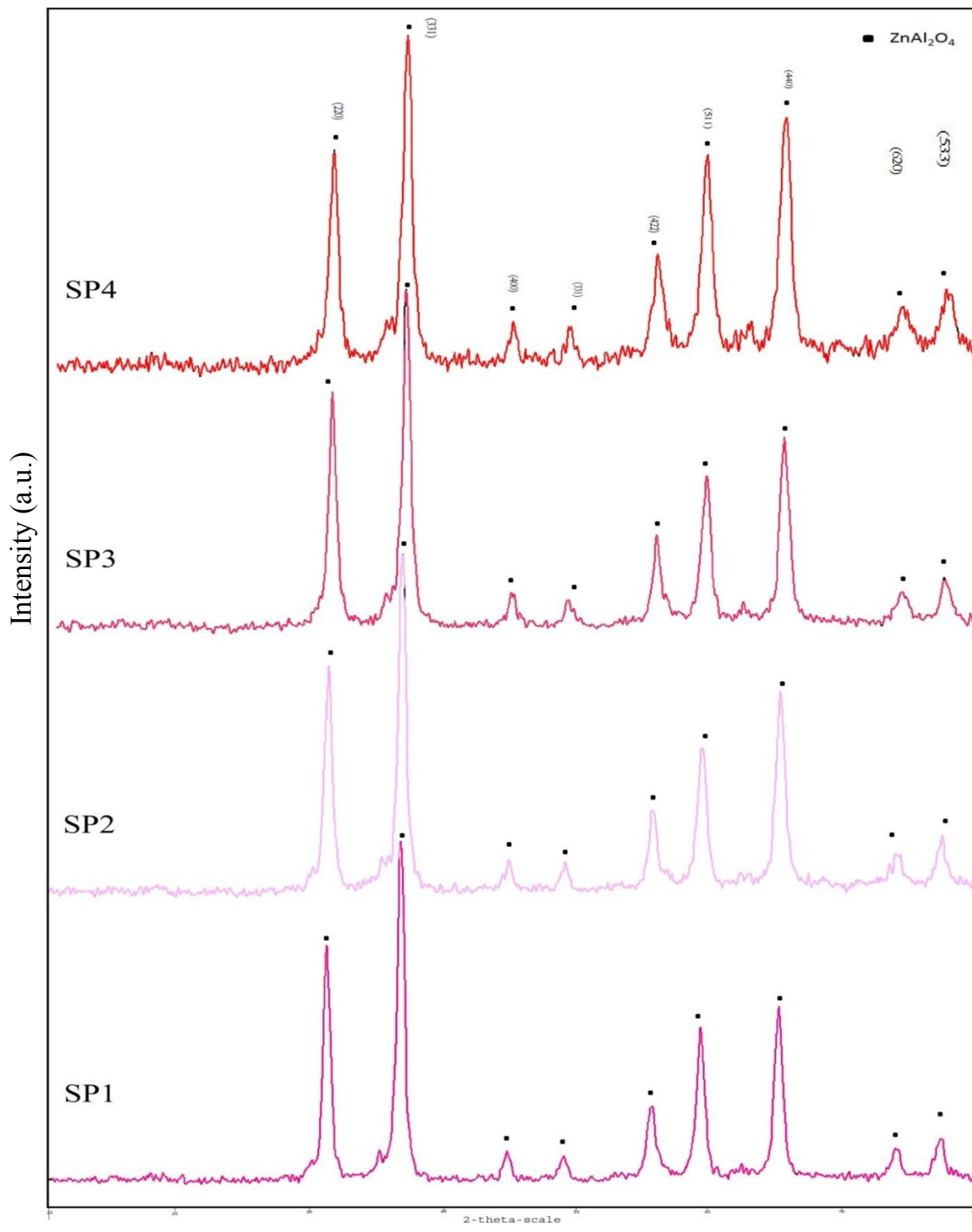
جدول ۳-۱. مقایسه داده‌های XRD نمونه‌های حاصل از آبکافت $\text{Al}(\text{O}^{\text{s}}\text{Bu})_3 + \text{Zn}(\text{acac})_2$ با غلظت ۰/۲۵ مولار ، در ۲-بوتanol (SP9 تا SP12) در دماهای ۱۰۰، ۱۵۰ و ۲۰۰ °C پس از تکلیس در ۷۰۰ °C با نمونه‌ی استاندارد ZnAl_2O_4 اسپینل

JCPDS card No.74-1138 (Spinel)		SP9	SP10	SP11	SP12
hkl	d(A°)	d(A°)	d(A°)	d(A°)	d(A°)
220	2/862	2/871	2/862	2/870	2/846
331	2/442	2/443	2/436	2/444	2/431
400	2/024	2/017	2/020	2/025	2/012
331	1/858	1/865	1/855	1/858	1/859
422	1/653	1/650	1/647	1/654	1/644
511	1/558	1/556	1/555	1/558	1/555
440	1/431	1/428	1/426	1/430	1/425
620	1/279	1/277	1/274	1/279	1/276
533	1/234	1/232	1/233	1/234	1/227

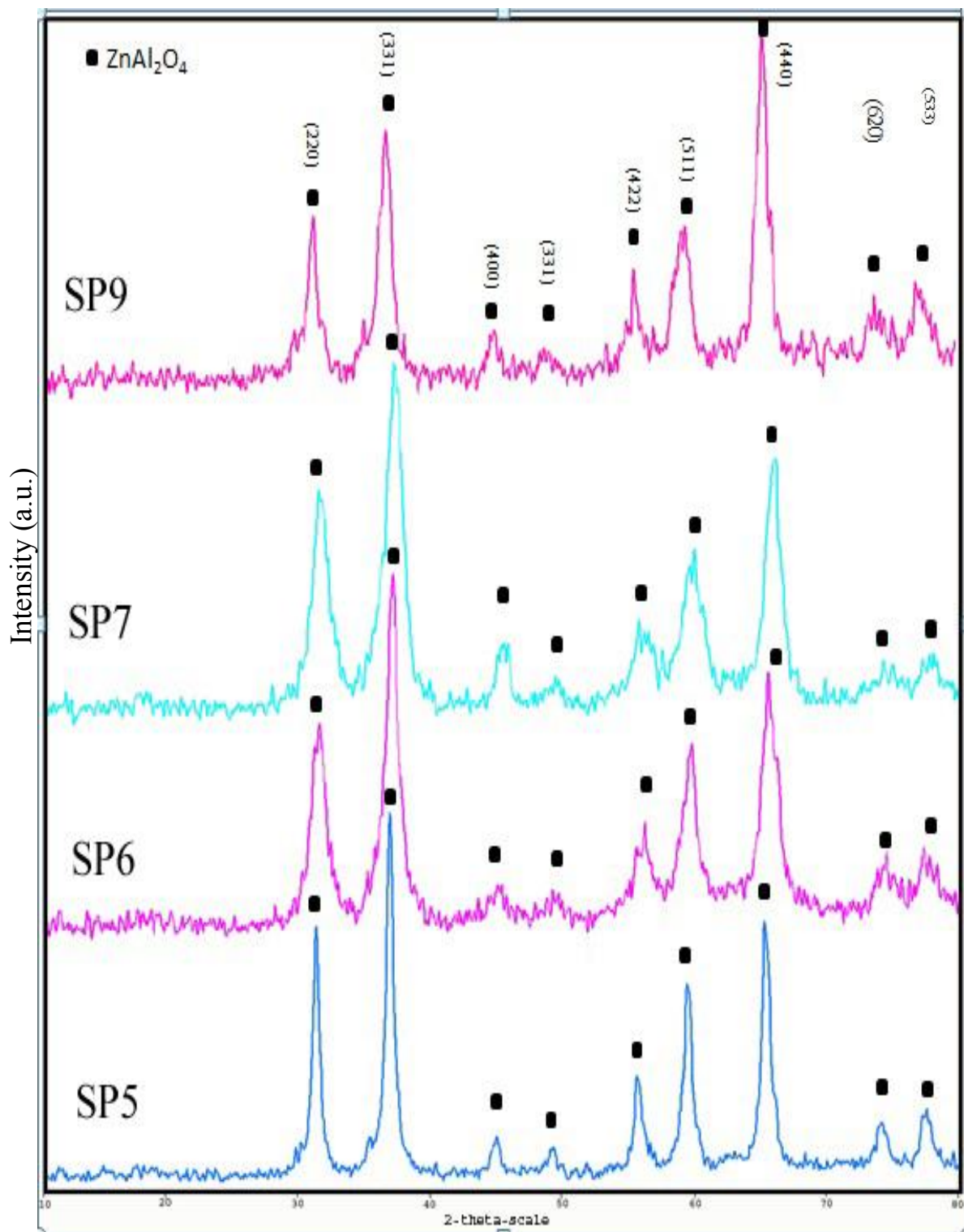
۳-۱-۳-۱- اثر دمای هیدرоторمال بر نمونه‌های حاصل از آبکافت هیدرоторمال

Zn(acac)₂+ Al(O⁸Bu)₃ در حالهای مختلف پس از تکلیس

برای بررسی اثر دما، به طور جداگانه الگوی پراش پرتو ایکس نمونه‌های تکلیس شده‌ی حاصل از آبکافت هیدرоторمال سری‌های SP1 تا SP4، SP5 تا SP8، SP9 تا SP12 در چهار دمای ۵۰، ۱۰۰، ۱۵۰ و ۲۰۰°C مقایسه گردید. با توجه به شکل ۳-۶ و مقایسه الگوی پراش پرتو ایکس نمونه‌های حاصل از آبکافت Zn(acac)₂+ Al(O⁸Bu)₃ در تولوئن (SP4 تا SP1) در دمای ۵۰، ۱۰۰، ۱۵۰°C و ۲۰۰ دیده می‌شود که با افزایش دما از ۵۰ به ۲۰۰°C از مقدار فاز ناخالص ZnO کاسته شده و فاز ZnAl₂O₄ بیشتر تشکیل می‌گردد و از درجه تبلور کاسته می‌شود. توجه به شکل ۳-۷ و مقایسه الگوی پراش پرتو ایکس نمونه‌های تکلیس شده‌ی حاصل از آبکافت هیدرоторمال در تولوئن/۲-بوتanol (SP5 تا SP8) در دمای ۵۰، ۱۰۰، ۱۵۰ و ۲۰۰°C نشان می‌دهد که اگر چه در نمونه ۵۰°C تبلور از نمونه‌های دیگر بیشتر است ولی در همه‌ی موارد ناخالصی ZnO بیشتر می‌شود. همچنین توجه به شکل ۳-۸ و مقایسه الگوی پراش پرتو ایکس نمونه‌های تکلیس شده‌ی حاصل از آبکافت هیدرotorمال در ۲-بوتanol (SP9 تا SP12) در دمای ۵۰، ۱۰۰، ۱۵۰ و ۲۰۰°C نشان می‌دهد بهترین و خالص‌ترین نمونه با هیدرولیز هیدرоторمال در دمای ۵۰°C به دست می‌آید. در این مجموعه افزایش دمای هیدرоторمال اگر چه باعث افزایش تبلور محصول می‌شود ولی بک مقدار جزئی ناخالصی ZnO وارد آن می‌شود. در این سری در هر چهار دما، اسپینل خالص ZnAl₂O₄ تشکیل شده است ولی در دمای ۵۰°C نوارها شدت بیشتری دارند که نشان می‌دهد درجه‌ی بلوری شدن اسپینل در این دما بیشتر است. بنابراین در این سری نمونه دمای پایین‌تر در فرآیند هیدرоторمال، نقش موثرتری در تشکیل اسپینل ZnAl₂O₄ دارد.

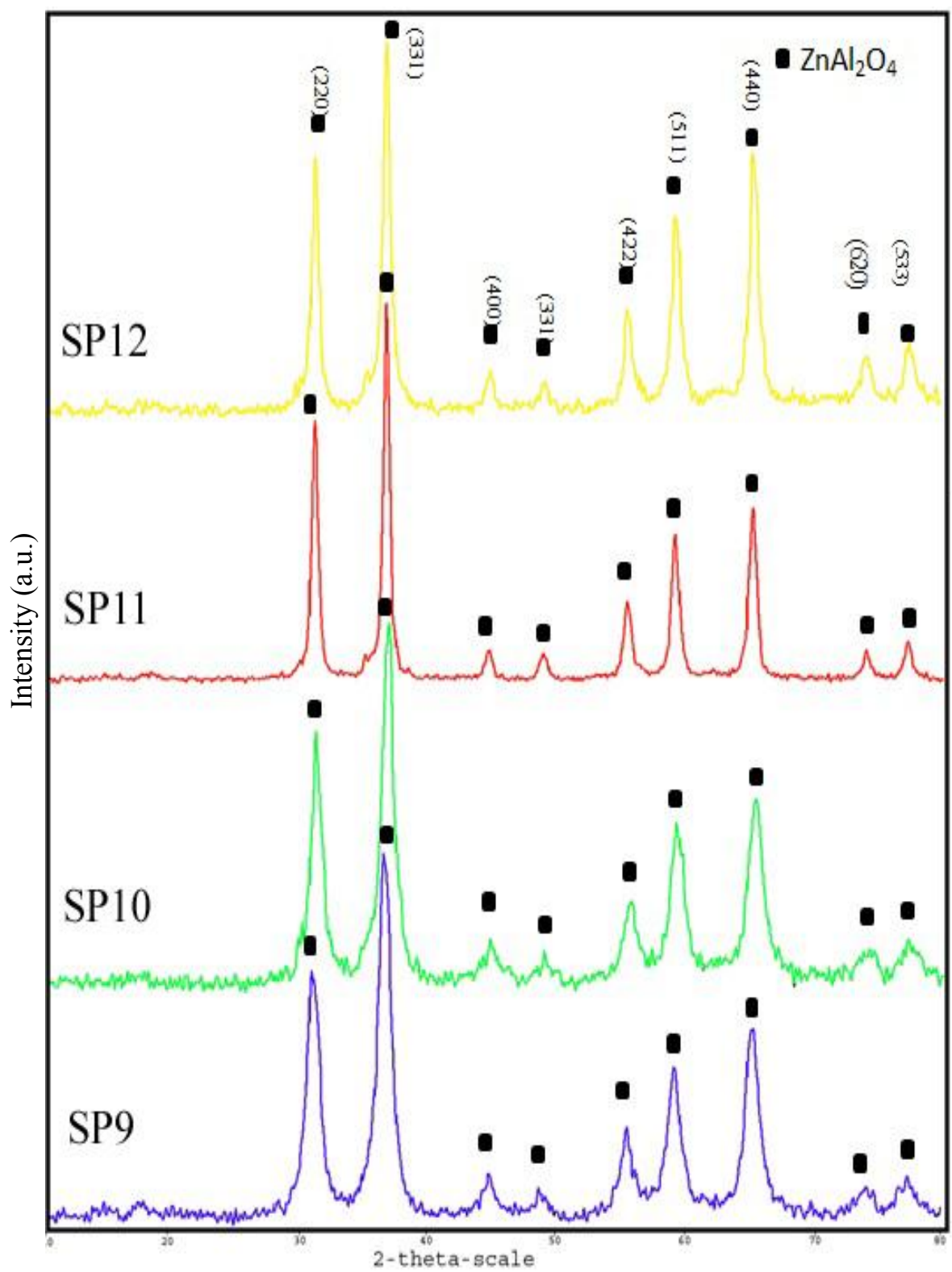


شکل ۳-۶. الگوی پرتو ایکس آبکافت هیدروترمال $\text{Zn}(\text{acac})_2 + \text{Al}(\text{O}^{\circ}\text{Bu})_3$ با غلظت ۰/۲۵ مولار در تولئن (P1) تا (SP4) در دمای ۷۰۰، ۱۰۰، ۱۵۰ و ۲۰۰ پس از تکلیس در $^{\circ}\text{C}$



شکل ۳-۷. الگوی پراش پرتو ایکس آبکافت هیدروترمال $Zn(acac)_2 + Al(OBu)_3$ با غلظت ۰/۲۵ مولار در مخلوط

تولئن و ۲-بوتanol (SP8 تا SP5) در دمای ۵۰، ۱۰۰، ۱۵۰ و ۲۰۰ پس از تکلیس در ۷۰۰ °C.

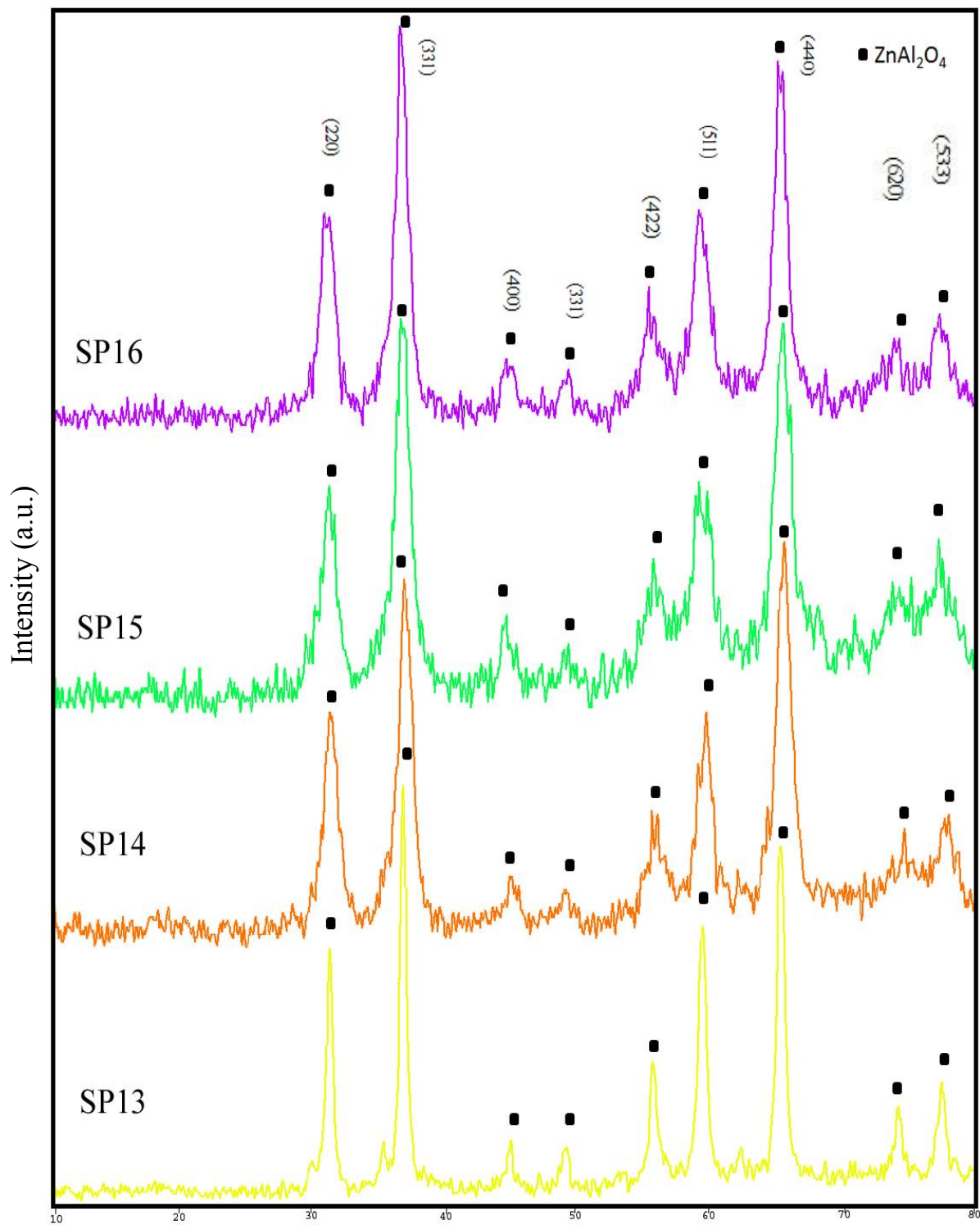


شکل ۳-۸. الگوی پراش پرتو ایکس آبکافت هیدروترمال $\text{Zn}(\text{acac})_2 + \text{Al(O}^{\circ}\text{Bu}_3$ با غلظت ۲۵/۰ مولار در ۲-بوتanol (SP9 تا SP12) در دمای ۱۰۰، ۱۵۰، ۲۰۰ و ۲۵۰ °C پس از تکلیس در ۷۰۰ °C.

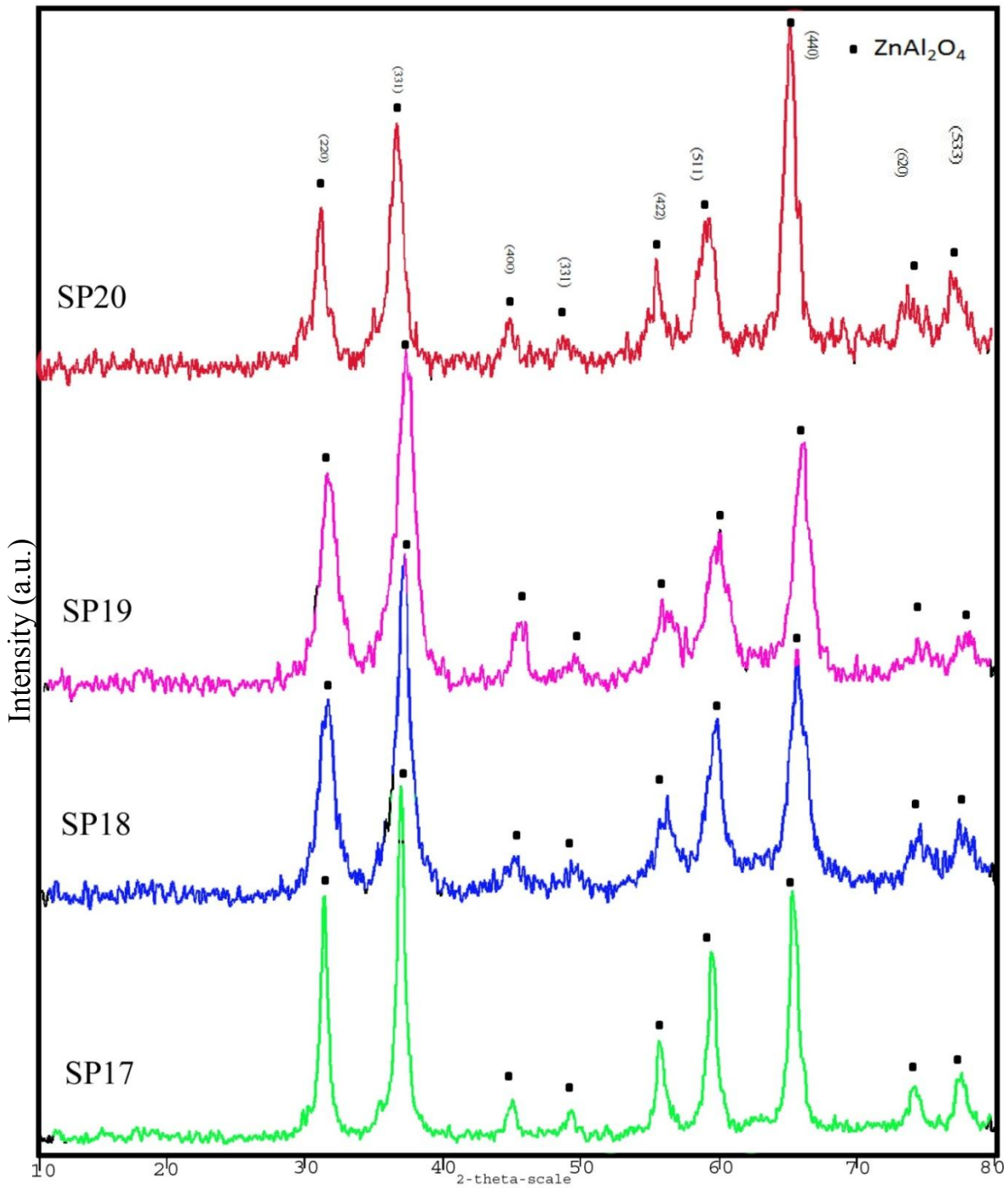
۳-۱-۲-۱-۳- اثر دمای هیدرترمال بر نمونه‌های حاصل از آبکافت هیدرورترمال

آبدار در حلال‌های مختلف $ZnCl_2 \cdot H_2O + Al(O^sBu)_3$ و $ZnCl_2 + Al(O^sBu)_3$ پس از تکلیس.

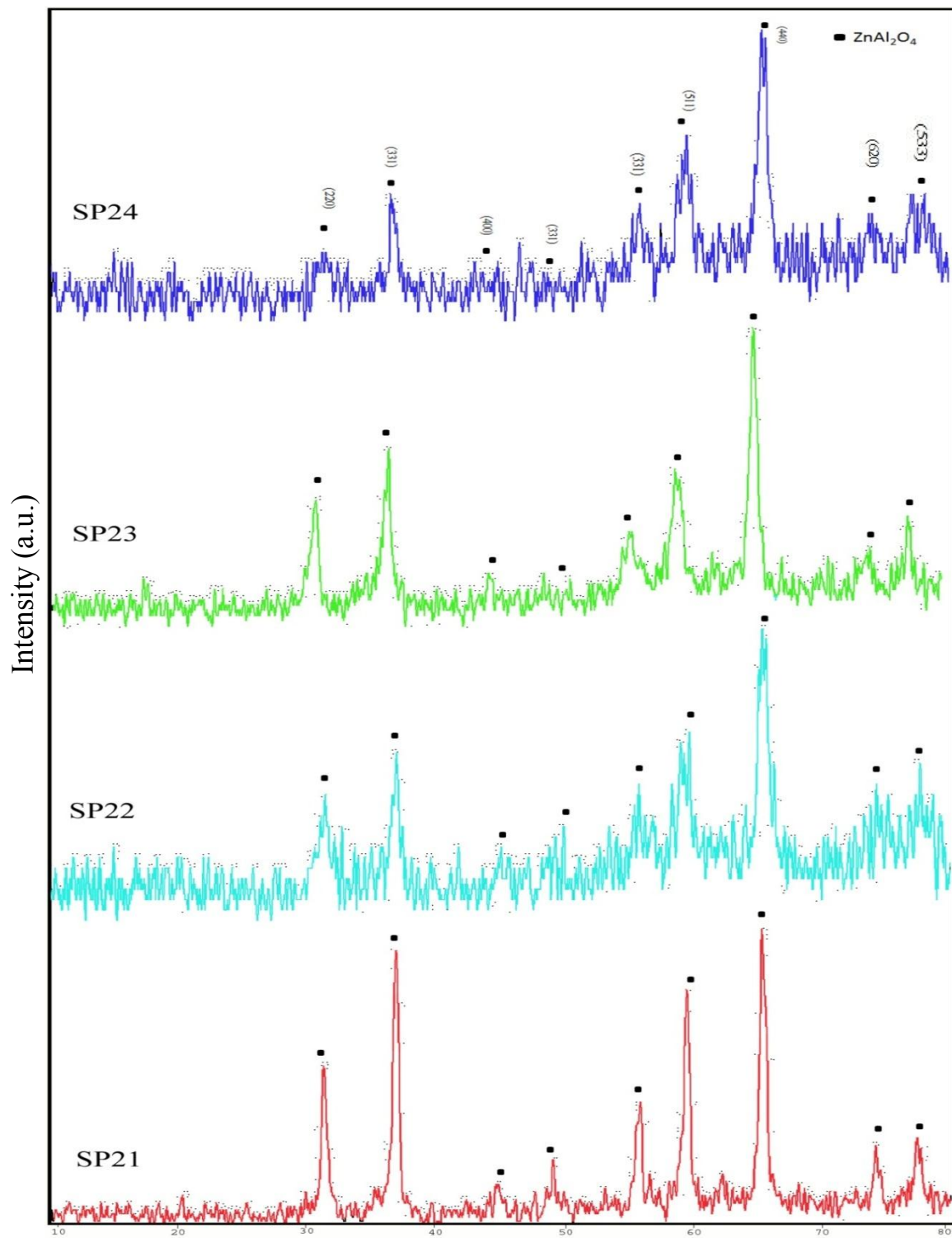
برای بررسی اثر دما به طور جداگانه الگوی پراش پرتو ایکس نمونه‌های تکلیس شدهی حاصل از آبکافت هیدرورترمال سری SP13 (SP16 تا SP20)، SP17 (SP16 تا SP21) در چهار دمای $50^\circ C$ ، $100^\circ C$ ، $150^\circ C$ و $200^\circ C$ مقایسه گردید. با توجه به شکل ۹-۳ و مقایسه الگوی پراش پرتو ایکس نمونه‌های حاصل از آبکافت $ZnCl_2 + Al(O^sBu)_3$ در تولوئن/۲-بوتanol (SP16 تا SP13) در دمای $50^\circ C$ ، $100^\circ C$ ، $150^\circ C$ و $200^\circ C$ نشان می‌دهد با افزایش دما از $50^\circ C$ به $200^\circ C$ اگر چه دمای تبلور پایین آمده است ولی در همه‌ی موارد ناخالصی ZnO قابل مشاهده است و در مورد نمونه هیدرورترمال $50^\circ C$ که درجه تبلور بالاتر است ناخالصی فاز ZnO همچنان دیده می‌شود. این پدیده در شکل ۱۰-۳ و مقایسه الگوی پراش پرتو ایکس نمونه‌های تکلیس شدهی حاصل از آبکافت هیدرورترمال $ZnCl_2 + Al(O^sBu)_3$ در ۲-بوتanol (SP17 تا SP20) در دمای $50^\circ C$ ، $100^\circ C$ ، $150^\circ C$ و $200^\circ C$ نیز قابل مشاهده است. همچنین توجه به شکل ۱۱-۳ و مقایسه الگوی پراش پرتو ایکس نمونه‌های تکلیس شدهی حاصل از آبکافت هیدرورترمال $ZnCl_2 + Al(O^sBu)_3$ آبدار در مخلوط ۲-بوتanol/تولوئن (SP21 تا SP24) در دمای $50^\circ C$ ، $100^\circ C$ ، $150^\circ C$ و $200^\circ C$ نشان می‌دهد در این مورد افزایش دما باعث کاهش تبلور می‌شود که احتمالاً به سبب افزایش سرعت هیدرولیز و جدایی فاز است.



شکل ۹-۳. الگوی پراش پرتو ایکس آبکافت هیدروترمال $\text{ZnCl}_2 + \text{Al}(\text{O}^{\circ}\text{Bu})_3$ با غلظت $25/25$ مولار در محلوت تولئن و ۲-بوتanol (SP13 تا SP16) در دمای 50°C ، 100°C ، 150°C و 200°C پس از تکلیس در 700°C .



شکل ۳-۱۰. الگوی پراش پرتو ایکس آبکافت هیدروترمال $\text{ZnCl}_2 + \text{Al}(\text{O}^{\text{s}}\text{Bu})_3$ با غلظت ۲۵/۰۰ مولار در ۲-بوتanol
در دمای ۷۰۰، ۶۰۰، ۵۰۰، ۴۰۰ و ۲۰۰ پس از تکلیس در $^{\circ}\text{C}$ (SP20 تا SP17)

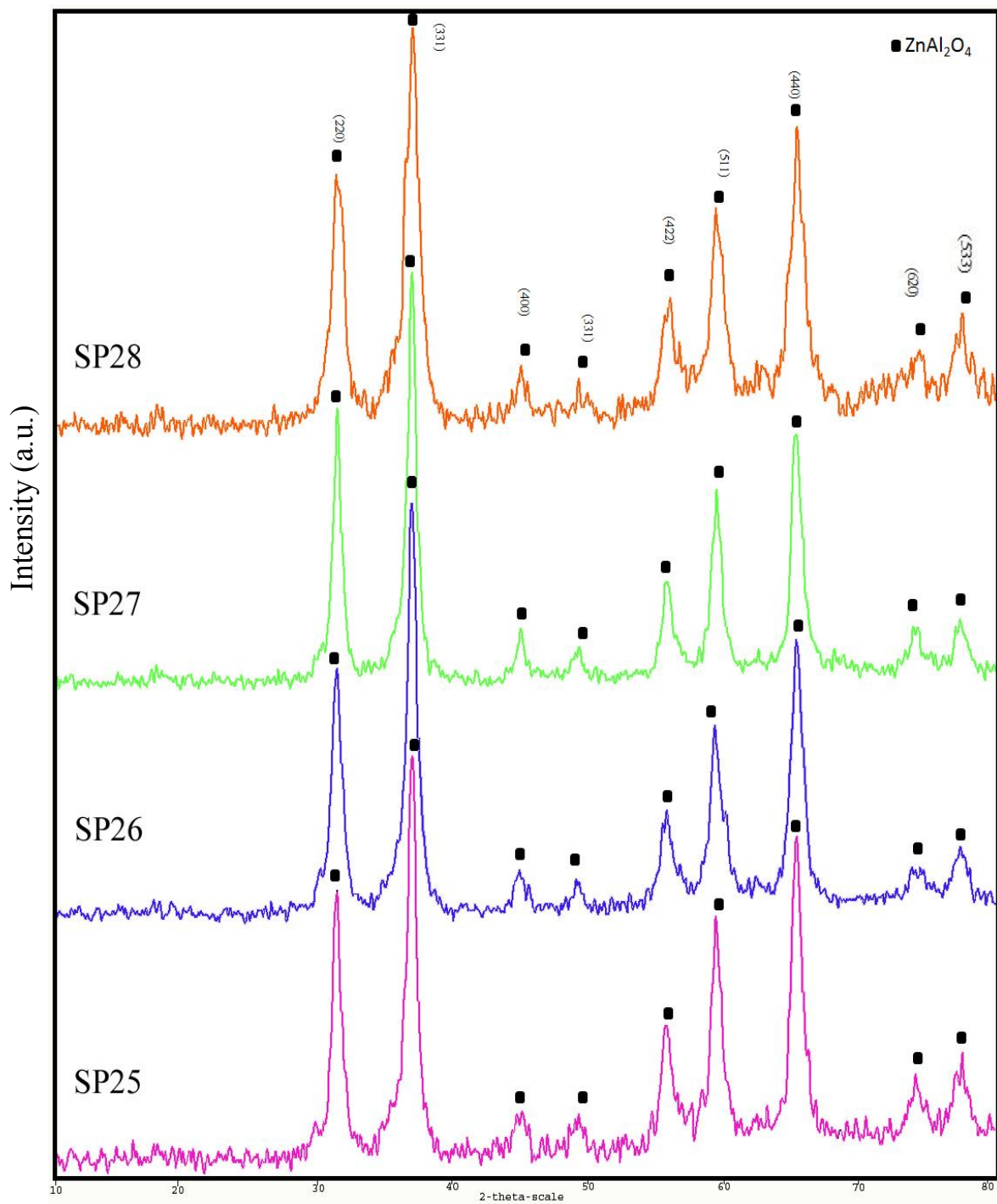


شکل ۱۱-۳. الگوی پراش پرتو ایکس آبکافت هیدروترمال $\text{ZnCl}_2 \cdot 2\text{H}_2\text{O} + \text{Al(O}^{\circ}\text{Bu)}_3$ آبدار با غلظت ۰/۲۵ مولار در مخلوط تولئن و ۲-بوتanol (SP24 تا SP21) در دمای 50°C ، 100°C ، 150°C و 200°C پس از تکلیس در 700°C .

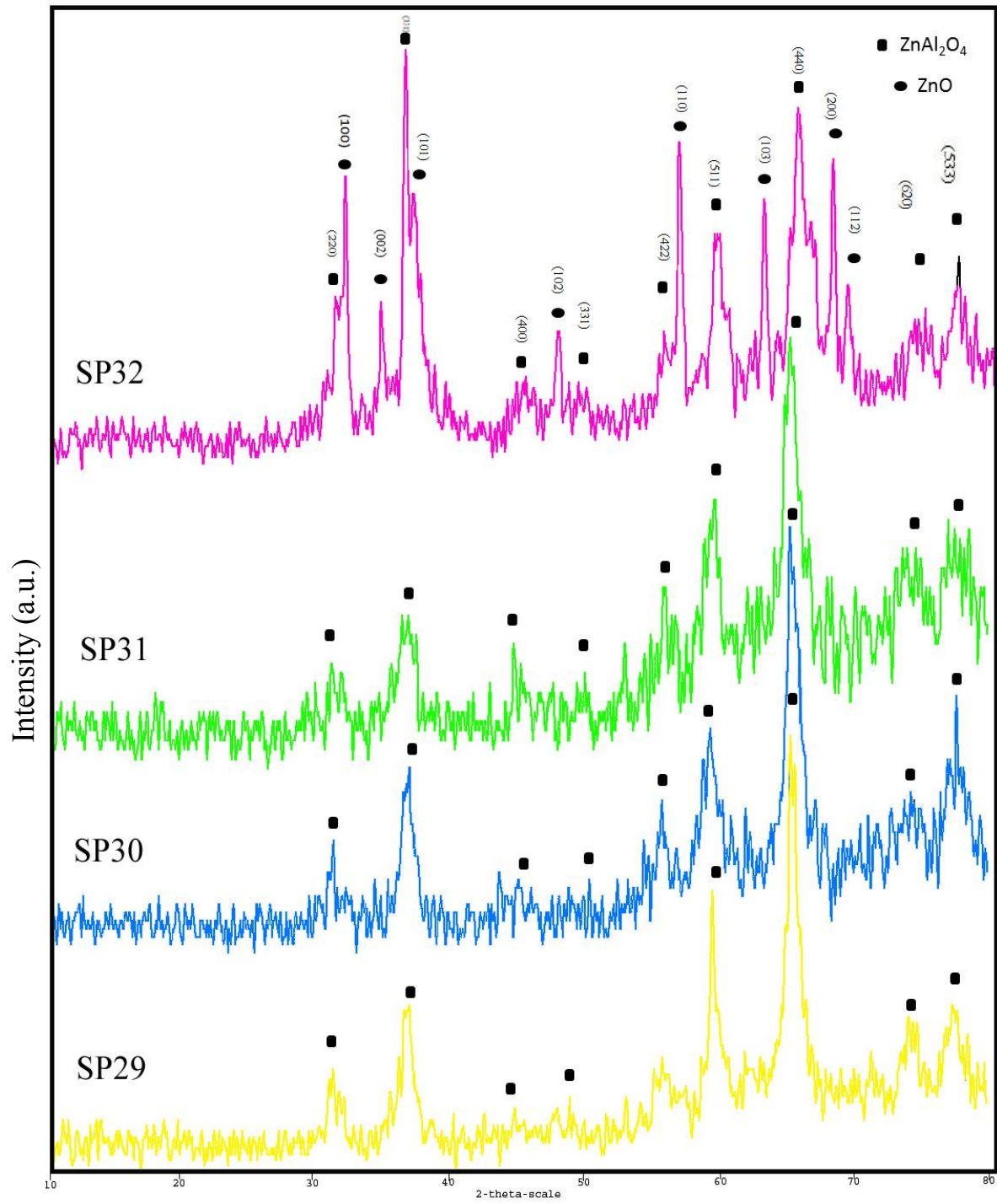
۳-۱-۳- اثر دمای هیدرоторمال بر نمونه‌های حاصل از آبکافت هیدرоторمال

Zn(NO₃)₂+ Al(O⁸Bu)₃ در حلال‌های مختلف پس از تکلیس

برای بررسی اثر دما به طور جداگانه الگوی پراش پرتو ایکس نمونه‌های تکلیس شدهی حاصل از آبکافت هیدرоторمال سری SP25 تا SP28 (SP32) و (SP28) در چهار دمای ۵۰، ۱۰۰، ۱۵۰ و ۲۰۰ °C مقایسه گردید. در شکل ۱۲-۳ مقایسه الگوی پراش پرتو ایکس نمونه‌های حاصل از آبکافت Zn(NO₃)₂+ Al(O⁸Bu)₃ در مخلوط تولوئن/۲-بوتanol (SP25) تا SP28 در دماهای مختلف داده شده است. به دلیل در اختیار نبودن ZnNO₃ به صورت بدون آب ما از ترکیب آبدار استفاده کردیم. از این رو و به دلیل وجود آب زیاد که سبب هیدرولیز آنی آلکوکسید آلمونیوم می‌شد، از روش هیدرولیز هیدرоторمال قابل بررسی نبوده بنابراین با تغییر استراتژی هیدرولیز، نمونه خارج از فرآیند هیدرotorمال هیدرولیز شده و سپس وارد فرآیند هیدرоторمال گردید. همان طور که مشاهده می‌شود با افزایش دما از ۵۰ به ۲۰۰ °C در تمام دماها محصول ZnAl₂O₄ بدست آمده است و تنها مقادیر ناچیزی ناخالصی فازی ZnO دیده می‌شود. همچنین در شکل ۱۳-۳ با مقایسه الگوی پراش پرتو ایکس نمونه‌های تکلیس شدهی حاصل از آبکافت هیدرоторمال Zn(NO₃)₂+ Al(O⁸Bu)₃ (SP32) تا SP29 در دمای C ۵۰، ۱۰۰، ۱۵۰ و ۲۰۰ °C تا ۱۵۰ درجه تبلور بسیار پایین بوده و در دمای ۲۰۰ °C نیز ناخالصی ZnO به مقدار زیاد قابل مشاهده است.



شکل ۱۲-۳. الگوی پراش پرتو ایکس آبکافت هیدروترمال $Zn(NO_3)_2 + Al(OBu)_3$ با غلظت ۰/۲۵ مولار در مخلوط تولئن و ۲-بوتanol (SP24 تا SP28) در دمای ۵۰، ۱۰۰، ۱۵۰ و ۲۰۰ پس از تکلیس در ۷۰۰ °C.



شکل ۱۳-۳. الگوی پراش پرتو ایکس آبکافت هیدروترمال $\text{Zn}(\text{NO}_3)_2 + \text{Al}(\text{O}^{\delta}\text{Bu})_3$ با غلظت $25/0$ مولار در ۲-بوتanol
در دمای 100°C و 150°C و 200°C پس از تکلیس در 700°C

۳-۱-۴- اثر حلال

برای بررسی اثر حلال نمونه‌های تهیه شده در دمای یکسان، شکل‌های ۱۴-۳ تا ۱۷-۳ را مقایسه می‌کنیم. ابتدا در بررسی اثر حلال، پراش پرتو ایکس نمونه‌ها در شکل ۱۴-۳، در دمای 50°C با یکدیگر مقایسه شدند. در نمونه ۲۹ مقدار زیادی فاز ناخالص ZnAl_2O_4 به همراه ZnO وجود دارد و اسپینل خالص ZnAl_2O_4 تشکیل نشده است. همچنین در الگوی پراش پرتو ایکس نمونه ۲۹ به هیچ عنوان ZnAl_2O_4 تبلور قابل قبولی از ZnAl_2O_4 را نمی‌بینیم. علاوه بر نمونه ۲۹ که مقدار زیادی فاز ناخالص تبلور قابل قبولی از ZnAl_2O_4 را دارا می‌باشد در تمام نمونه‌ها مقدار ناچیزی فاز ناخالص ZnO به همراه ZnAl_2O_4 وجود دارد و اسپینل خالص ZnAl_2O_4 تشکیل نشده است. به جز نمونه‌های SP3,SP5 که به صورت C کاملاً خالص به دست آمده است. دقت در شکل ۱۵-۳ و مقایسه پراش پرتو ایکس نمونه‌ها در دمای 100°C نشان می‌دهد، در تمامی نمونه‌های بدست آمده نسبت به دمای 50°C بر اساس پراش پرتو ایکس از درصد تبلور نمونه‌ها کاسته شده است و در نمونه ۲۲ SP22 این پدیده بیشتر مشهود است طوری که مقدار ZnAl_2O_4 زیادی فاز ناخالص ZnO به همراه مشاهده می‌شود و اسپینل خالص ZnAl_2O_4 تشکیل نشده است. همچنین در الگوی پراش پرتو ایکس نمونه ۳۰ SP29 همانند نمونه ۲۹ به هیچ عنوان تبلور قابل قبولی از ZnAl_2O_4 را شاهد نیستیم. در مابقی نمونه‌ها مقدار ZnO در الگوی پراش پرتو ایکس نمونه‌ها بسیار ناچیز است و حتی می‌توان گفت در نمونه‌های ۱۰ SP25,SP26,SP10 شاهد تشکیل اسپینل خالص هستیم. دقت در شکل ۱۶-۳ و مقایسه پراش پرتو ایکس نمونه‌ها در دمای 150°C نشان می‌دهد همچنان روند کاهش درصد تبلور ادامه پیدا کرده است و تمامی نمونه‌ها روند قبل را دنبال می‌کنند و در همه‌ی آنها فاز ناخالص ZnO به همراه ZnAl_2O_4 در نمونه مشاهده می‌شود به جز نمونه ۱۶ SP16 که شاهد اسپینل خالص تشکیل شده است. دقت در شکل ۱۷-۳ و مقایسه پراش پرتو ایکس نمونه‌ها در دمای 200°C نشان می‌دهد روند کاهش درصد تبلور انجا نیز ادامه پیدا کرده است و

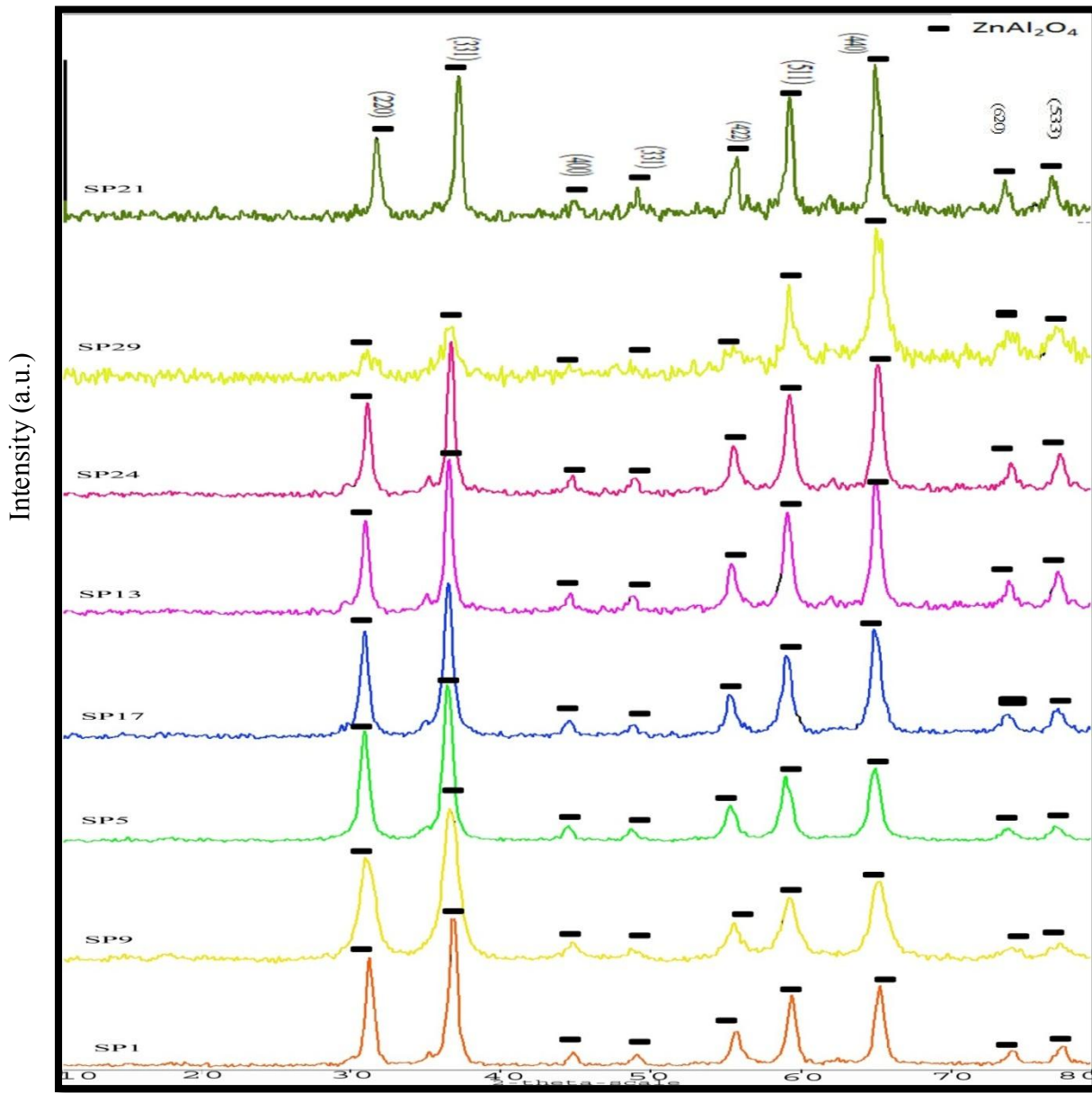
مقدار فاز ناخالص ZnO در تمامی نمونه ها بیشتر شده است به گونه ای که در هیچ نمونه ای اسپینل خالص $ZnAl_2O_4$ تشکیل نشده است.

بنابراین با توجه به مطالب گفته شده، هنگامی که از پیش ماده $Zn(acac)_2$ برای تهیه اسپینل $ZnAl_2O_4$ استفاده می شود حلال قطبی ۲-بوتanol گزینه مناسب تری برای تشکیل اسپینل $ZnAl_2O_4$ می باشد چرا که در ۲-بوتanol بهتر حل می شود و هنگام آبکافت هیدروترمال فرآوردهای یکنواخت تری بدست می آید.

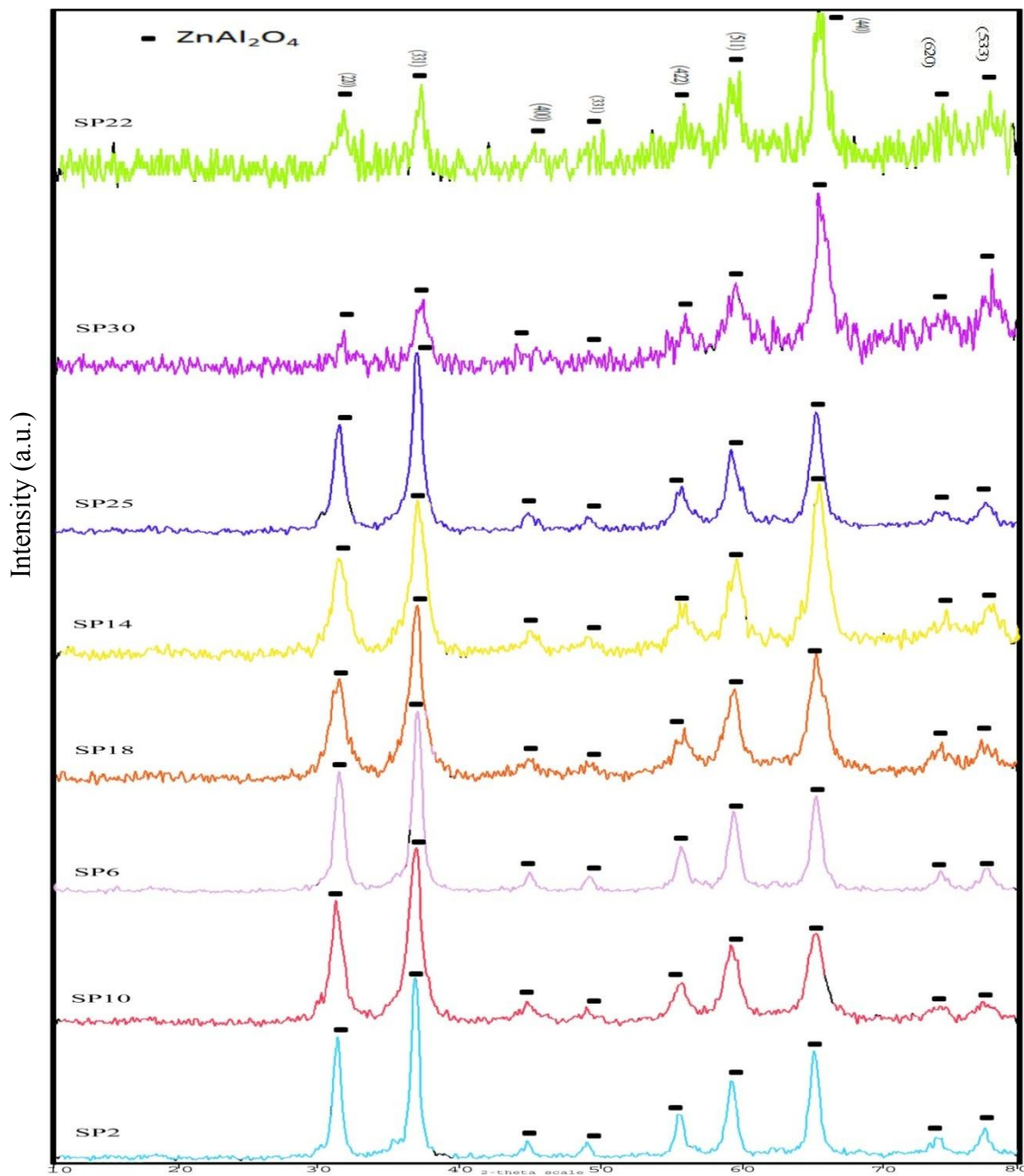
۳-۱-۵- اثر پیش ماده

برای بررسی اثر پیش ماده، الگوی پراش پرتو ایکس نمونه‌های حاصل از آبکافت $\text{Al}(\text{O}^{\circ}\text{Bu})_3$ + $\text{Zn}(\text{acac})_2$ در تولوئن (SP1 تا SP4)، مخلوط تولوئن/۲-بوتanol (SP5 تا SP8) و بوتانول (SP9 تا SP12)، نمونه‌های حاصل از آبکافت $\text{Al}(\text{O}^{\circ}\text{Bu})_3 + \text{ZnCl}_2$ در مخلوط تولوئن/۲-بوتanol (SP13 تا SP16)، ۲-بوتanol (SP17 تا SP20)، نمونه‌های حاصل از آبکافت $2\text{H}_2\text{O}$ در مخلوط تولوئن/۲-بوتanol (SP21 تا SP24) و همچنین نمونه‌های حاصل از آبکافت $\text{Al}(\text{O}^{\circ}\text{Bu})_3 + \text{Zn}(\text{NO}_3)_2$ در مخلوط تولوئن/۲-بوتanol (SP25 تا SP28) و در ۲-بوتanol (SP29 تا SP32) به ترتیب در دماهای ۷۰۰°C، ۵۰۰°C، ۱۰۰°C، ۱۵۰°C و ۲۰۰°C پس از تکلیس در دمای ۷۰۰°C به ترتیب در (شکل‌های ۱۴-۳ تا ۱۷-۳) نشان داده شده است با یکدیگر مقایسه شدند. در نمونه‌های حاصل از آبکافت $\text{Al}(\text{O}^{\circ}\text{Bu})_3 + \text{ZnCl}_2$ در مخلوط تولوئن/۲-بوتanol (SP13 تا SP16) و همچنین در نمونه‌های حاصل از آبکافت $\text{Al}(\text{O}^{\circ}\text{Bu})_3 + \text{ZnCl}_2$ در ۲-بوتanol (SP17 تا SP20) علاوه بر درصد تبلور پایین، در بعضی از نمونه‌ها مقدار کمی فاز ناخالص ZnO به همراه ZnAl_2O_4 وجود دارد و اسپینل خالص ZnAl_2O_4 تشکیل نشده است. به همین گونه در نمونه‌های حاصل از آبکافت $\text{Al}(\text{O}^{\circ}\text{Bu})_3 + \text{Zn}(\text{NO}_3)_2$ در مخلوط تولوئن/۲-بوتanol (SP25 تا SP28) در بعضی از نمونه‌ها مقدار کمی فاز ناخالص ZnO به همراه ZnAl_2O_4 وجود دارد و اسپینل خالص ZnAl_2O_4 تشکیل نشده است. اما همان طور که مشاهده می‌شود در نمونه‌های حاصل از آبکافت $\text{Al}(\text{O}^{\circ}\text{Bu})_3 + \text{Zn}(\text{NO}_3)_2$ در ۲-بوتanol (SP29 تا SP32) و نمونه‌های حاصل از آبکافت $2\text{H}_2\text{O}$ + $\text{Zn}(\text{NO}_3)_2$ در مخلوط تولوئن/۲-بوتanol (SP21 تا SP24) نه تنها درصد تبلور بسیار پایین است، علاوه بر آن درصد بسیار زیادی فاز ناخالص ZnO به همراه ZnAl_2O_4 وجود دارد و اسپینل خالص ZnAl_2O_4 تشکیل نشده است. اما در نمونه‌های بدست آمده از آبکافت $\text{Al}(\text{O}^{\circ}\text{Bu})_3 + \text{Zn}(\text{acac})_2$ در

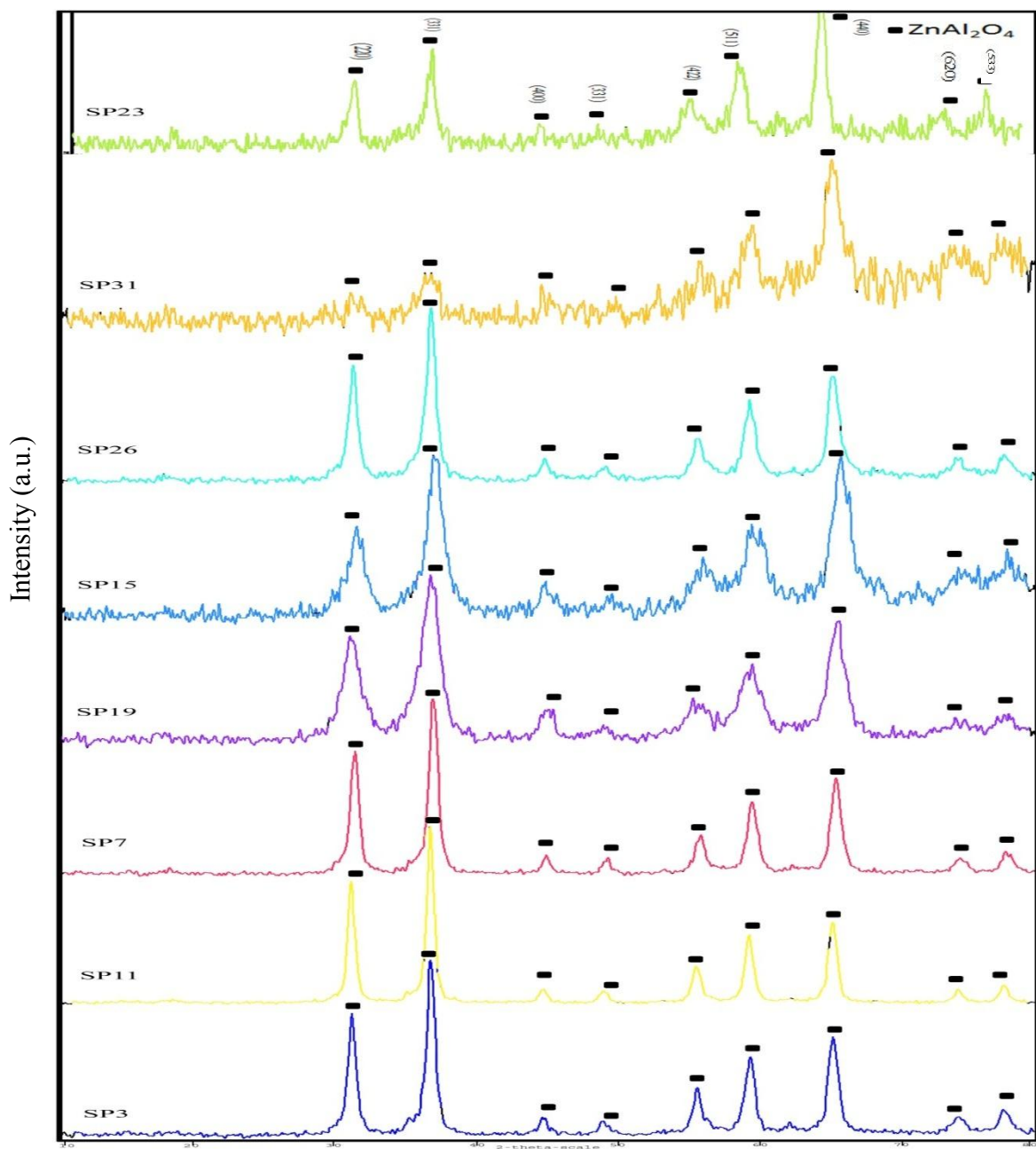
۲-بوتanol (SP9 تا SP12)، فاز خالص اسپینل $ZnAl_2O_4$ نسبت به پیش ماده های دیگر به کار رفته در ساخت گاهنیت بیشتر تشکیل شده است، اما در حلal های تولوئن (SP1 تا SP4)، مخلوط تولوئن/۲-بوتanol (SP5 تا SP8)، فاز ناخالص ZnO به همراه $ZnAl_2O_4$ وجود دارد و اسپینل خالص $ZnAl_2O_4$ تشکیل نشده است. این مشاهدات نشان می‌دهد، هنگامی که از پیش ماده $ZnCl_2$ یا $Zn(NO_3)_2$ برای تهیه اسپینل $ZnAl_2O_4$ استفاده شد فاز ناخالص ZnO در بعضی دمایها به همراه فاز $ZnAl_2O_4$ تشکیل شد ولی هنگامی که از $Zn(acac)_2$ به عنوان پیش ماده در حلal قطبی ۲-بوتanol $Zn(acac)_2$ تشکیل شد، اسپینل $ZnAl_2O_4$ تک فاز در همه دمای $50^\circ C$ ، $100^\circ C$ ، $150^\circ C$ و $200^\circ C$ تشکیل شد. در حلal قطبی ۲-بوتanol بهتر حل می‌شود و هنگام آبکافت هیدروترمال فرآورده‌ی $Zn(acac)_2$ یکنواخت‌تری بدست می‌آید بنابراین مناسب‌ترین پیش ماده در تهیه $ZnAl_2O_4$ خالص، $Zn(acac)_2$ می‌باشد. به طور کلی، هنگامی که از پیش ماده $Zn(acac)_2$ در تولوئن یا در تولوئن/۲-بوتanol و دمای تکلیس $700^\circ C$ برای تهیه اسپینل استفاده می‌شود، به دلیل غیرقطبی بودن تولوئن، فاز خالص ZnO را نخواهیم داشت و به همراه آن فاز ناخالص ZnO را نیز خواهیم داشت. با انتخاب پیش ماده $Zn(acac)_2$ و حلal قطبی مناسب ۲-بوتanol و دمای تکلیس $700^\circ C$ اسپینل $ZnAl_2O_4$ خالص تشکیل می‌شود. در واقع نوع پیش ماده و حلal نقش مهمی در تشکیل اسپینل $ZnAl_2O_4$ دارند.



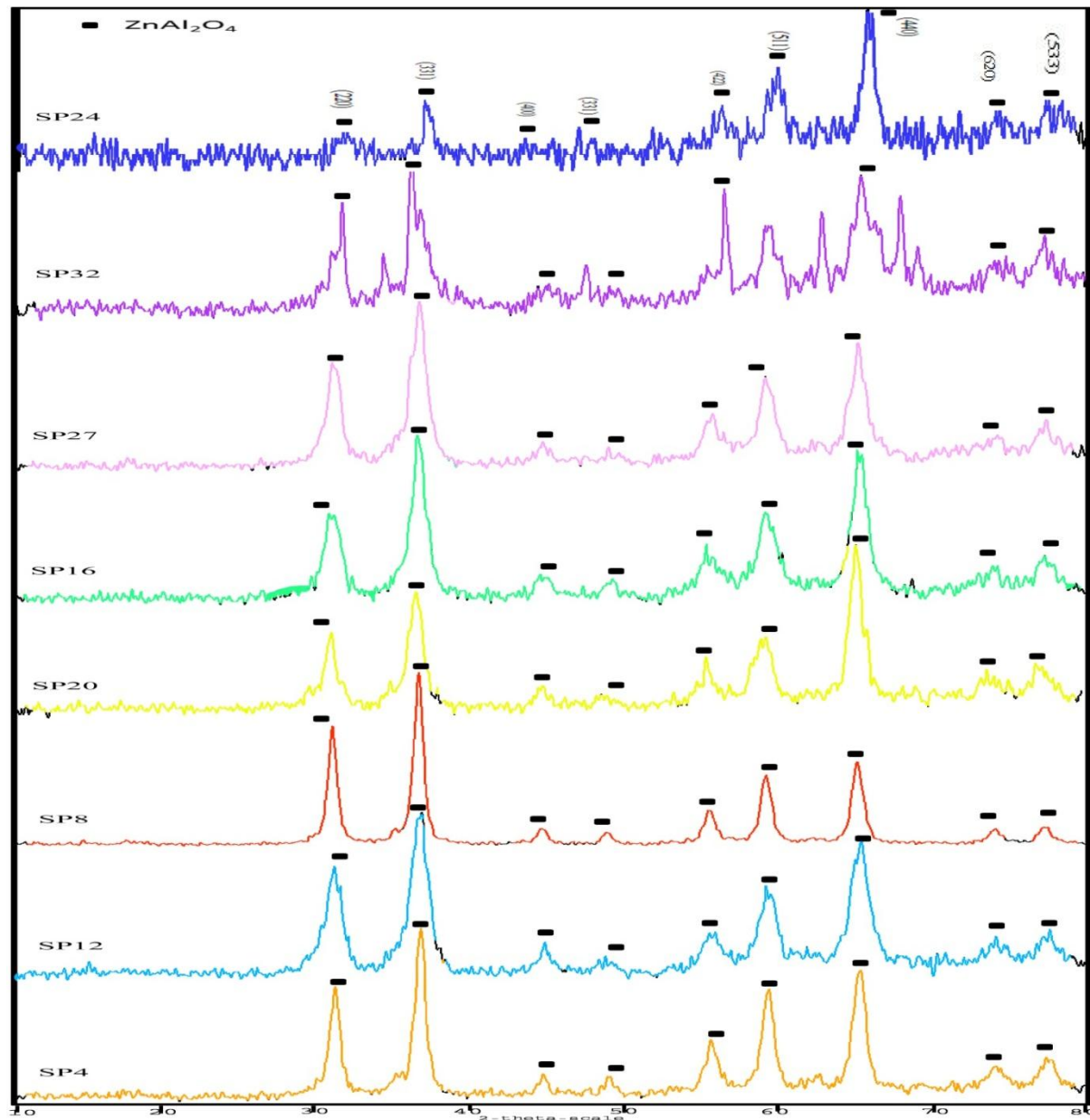
شکل ۱۴-۳. مقایسه الگوی پراش پرتو ایکس آبکافت هیدروترمال $Al(O^sBu)_3 + Zn(acac)_2$ در تولوئن (SP1)،
 $Al(O^sBu)_3 + Zn(acac)_2$ در تولوئن/۲-بوتanol (SP5)،
 $Al(O^sBu)_3 + Zn(acac)_2$ در ۲-بوتanol (SP9)،
 $Al(O^sBu)_3 + ZnCl_2$ در تولوئن/۲-بوتanol (SP17)،
 $Al(O^sBu)_3 + ZnCl_2$ در تولوئن (SP13)،
 $Al(O^sBu)_3 + Zn(NO_3)_2$ در ۲-بوتanol (SP24)،
 $Al(O^sBu)_3 + Zn(NO_3)_2$ در تولوئن/۲-بوتanol (SP29) و
 $Al(O^sBu)_3 + ZnCl_2$ در تولوئن/۲-بوتanol (SP21) در دمای $50^\circ C$ ، پس از تکلیس در دمای $700^\circ C$ آبدار



شکل ۱۵-۳. مقایسه الگوی پراش پرتو ایکس آبکافت هیدروترمال $\text{Al(O}^{\text{s}}\text{Bu)}_3 + \text{Zn(acac)}_2$ در تولوئن (SP3)،
 $\text{Al(O}^{\text{s}}\text{Bu)}_3 + \text{Zn(acac)}_2$ در ۲-بوتanol (SP7) (SP11)، $\text{Al(O}^{\text{s}}\text{Bu)}_3 + \text{Zn(acac)}_2$
 $\text{Al(O}^{\text{s}}\text{Bu)}_3$ در تولوئن / ۲-بوتanol (SP15)، $\text{Al(O}^{\text{s}}\text{Bu)}_3 + \text{ZnCl}_2$ (SP19)، $\text{Al(O}^{\text{s}}\text{Bu)}_3 + \text{ZnCl}_2$
 $\text{Al(O}^{\text{s}}\text{Bu)}_3$ در ۲-بوتanol (SP30)، $\text{Al(O}^{\text{s}}\text{Bu)}_3 + \text{Zn(NO}_3)_2$ (SP26)، $\text{Al(O}^{\text{s}}\text{Bu)}_3 + \text{Zn(NO}_3)_2$
+ ZnCl_2 در تولوئن / ۲-بوتanol (SP22) در دمای 100°C ، پس از تکلیس در دمای 700°C .



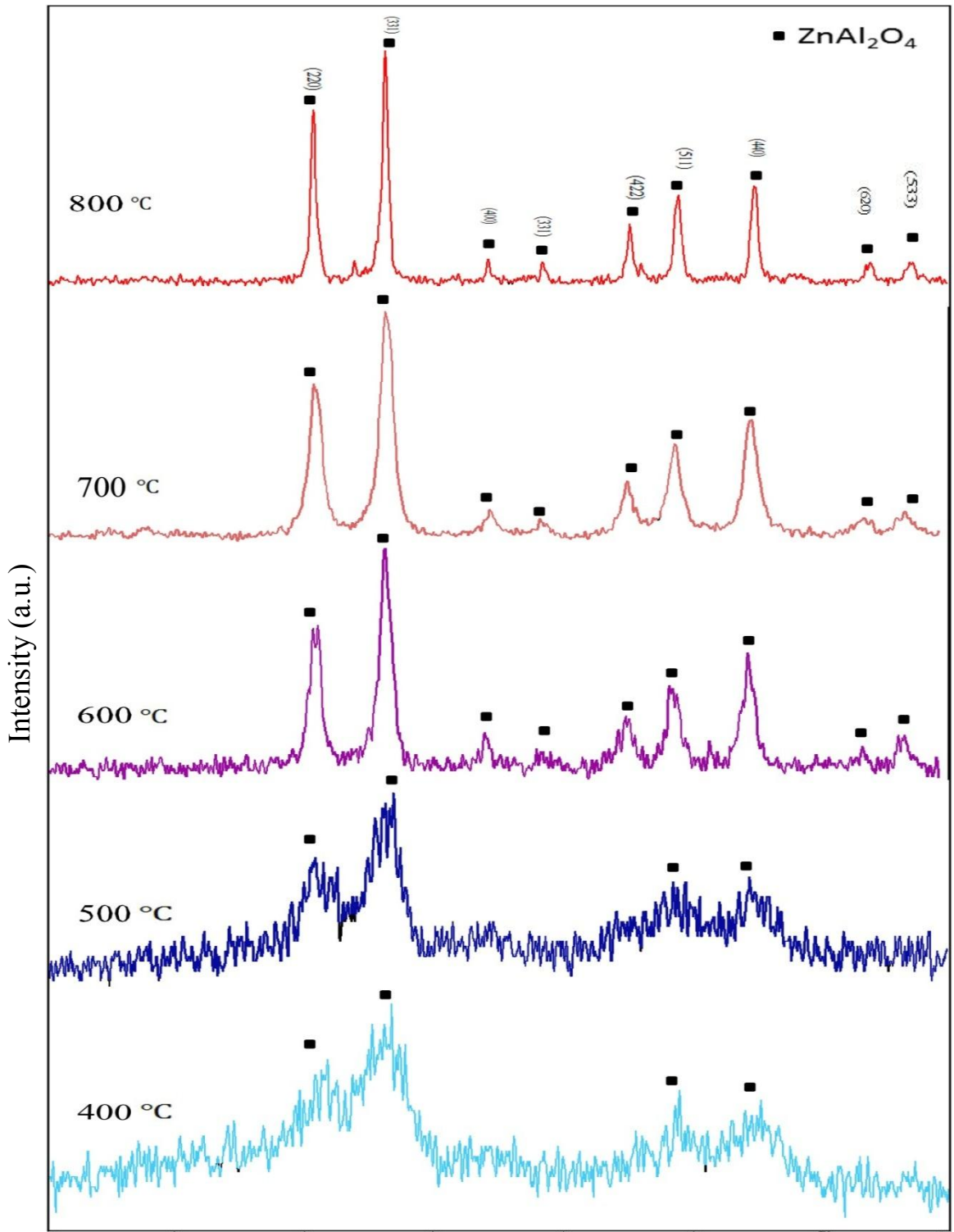
شکل ۱۶-۳. مقایسه الگوی پراش پرتو ایکس آبکافت هیدروترمال $\text{Al}(\text{O}^{\text{s}}\text{Bu})_3 + \text{Zn}(\text{acac})_2$ در تولوئن (SP3)، $\text{Al}(\text{O}^{\text{s}}\text{Bu})_3 + \text{Zn}(\text{acac})_2$ در ۲-بوتanol (SP11)، $\text{Al}(\text{O}^{\text{s}}\text{Bu})_3 + \text{Zn}(\text{acac})_2$ در تولوئن/۲-بوتanol (SP7)، $\text{Al}(\text{O}^{\text{s}}\text{Bu})_3 + \text{ZnCl}_2$ در ۲-بوتanol (SP19)، $\text{Al}(\text{O}^{\text{s}}\text{Bu})_3 + \text{ZnCl}_2$ در تولوئن/۲-بوتanol (SP15)، $\text{Al}(\text{O}^{\text{s}}\text{Bu})_3 + \text{Zn}(\text{NO}_3)_2$ در ۲-بوتanol (SP26)، $\text{Al}(\text{O}^{\text{s}}\text{Bu})_3 + \text{Zn}(\text{NO}_3)_2$ در تولوئن/۲-بوتanol (SP31)، $\text{Al}(\text{O}^{\text{s}}\text{Bu})_3 + \text{Zn}(\text{NO}_3)_2 + \text{ZnCl}_2$ + آبدار در تولوئن/۲-بوتanol (SP23) در دمای 150°C ، پس از تکلیس در دمای 700°C .



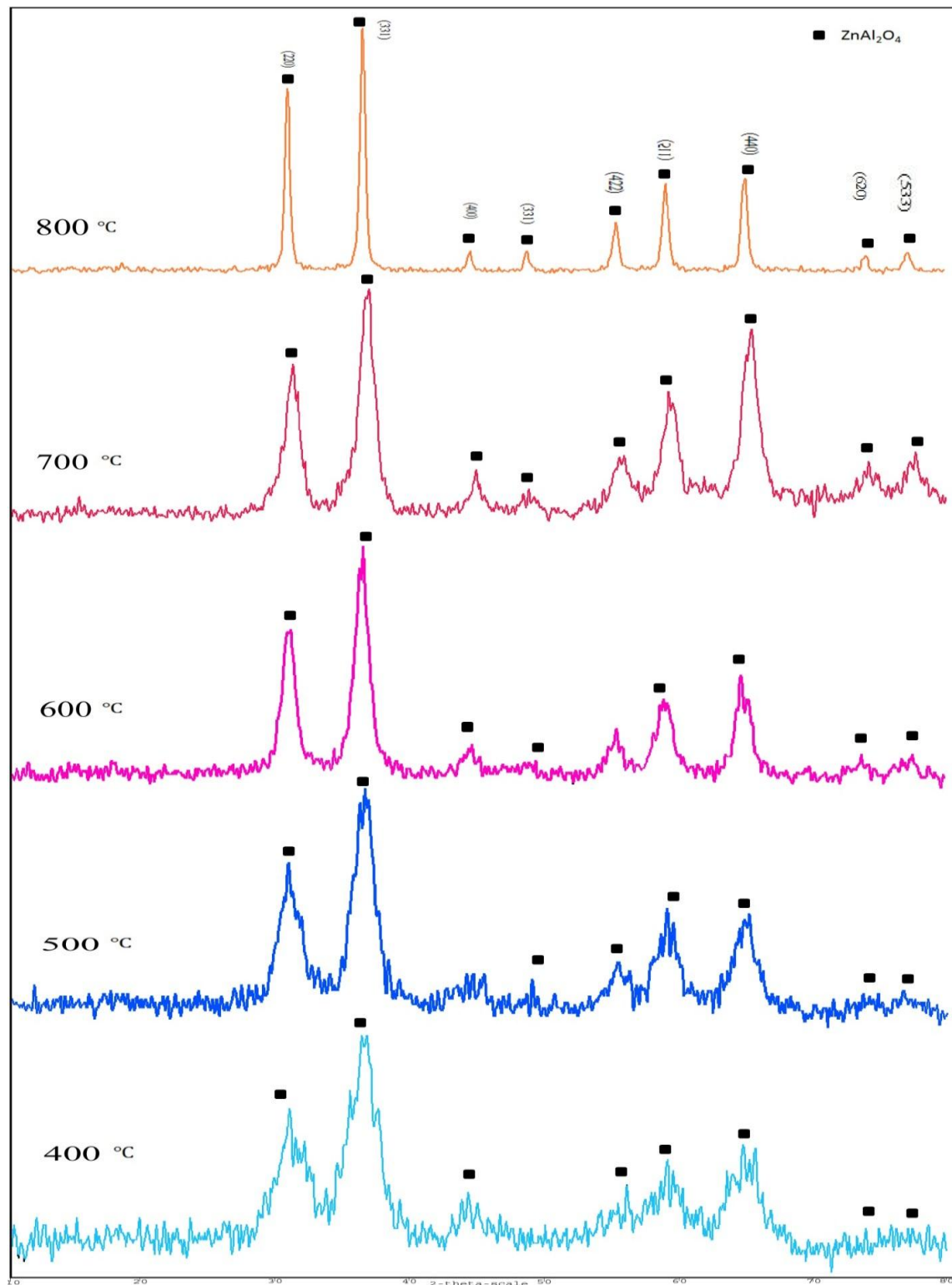
شکل ۱۷-۳. مقایسه الگوی پراش پرتو ایکس آبکافت هیدروترمال $\text{Al(O}^{\text{s}}\text{Bu)}_3 + \text{Zn(acac)}_2$ در تولوئن (SP4)، $\text{Al(O}^{\text{s}}\text{Bu)}_3 + \text{Zn(acac)}_2$ در ۲-بوتanol (SP12)، $\text{Al(O}^{\text{s}}\text{Bu)}_3 + \text{Zn(acac)}_2$ در تولوئن/۲-بوتanol (SP8)، $\text{Al(O}^{\text{s}}\text{Bu)}_3 + \text{ZnCl}_2$ در ۲-بوتanol (SP20)، $\text{Al(O}^{\text{s}}\text{Bu)}_3 + \text{ZnCl}_2$ در تولوئن/۲-بوتanol (SP16)، $\text{Al(O}^{\text{s}}\text{Bu)}_3 + \text{Zn(NO}_3)_2$ در ۲-بوتanol (SP27)، $\text{Al(O}^{\text{s}}\text{Bu)}_3 + \text{Zn(NO}_3)_2$ در تولوئن/۲-بوتanol (SP32) و $\text{Al(O}^{\text{s}}\text{Bu)}_3 + \text{ZnCl}_2$ در تولوئن/۲-بوتanol (SP24) در دمای 200°C ، پس از تکلیس در دمای 700°C آبدار.

۳-۱-۶-۱- اثر دمای تکلیس

برای بررسی اثر دمای تکلیس به طور جداگانه الگوی پراش پرتو ایکس بهترین نمونه های تکلیس نشده ۱۸-۳ (SP12, SP9) را در پنج دمای 400°C , 500°C , 600°C , 700°C و 800°C بررسی کردیم. توجه به شکل ۲-بوتanol و مقایسه الگوی پراش پرتو ایکس نمونه های حاصل از آبکافت $\text{Al(O}^{\text{s}}\text{Bu)}_3 + \text{Zn(acac)}_2$ در ۲-بوتanol (SP9) در دمای 400°C , 500°C , 600°C , 700°C و 800°C نشان می دهد با افزایش دما از 400°C به 800°C از مقدار فاز ناخالص ZnO کاسته شده و فاز ZnAl_2O_4 بیشتر تشکیل می گردد. توجه به شکل ۱۹-۳ و مقایسه الگوی پراش پرتو ایکس نمونه های حاصل از آبکافت $\text{Al(O}^{\text{s}}\text{Bu)}_3 + \text{Zn(acac)}_2$ ۲-بوتanol (SP12) در دمای 400°C , 500°C , 600°C , 700°C و 800°C نشان می دهد با افزایش دما از 400°C به 800°C مقایسه با نمونه (SP9) مقدار ناخالص ZnO در ترکیب کمتر است و با افزایش دما این مقدار در دماهای بالاتر به وضوح کمتر می شود.



شکل ۱۸-۳. الگوی پراش پرتو ایکس نمونه‌های حاصل از آبکافت ۲-بوتanol
 $\text{Al(O}^{\text{s}}\text{Bu)}_3 + \text{Zn(acac)}_2$ در دمای 400°C , 500°C , 600°C , 700°C و 800°C (SP9)

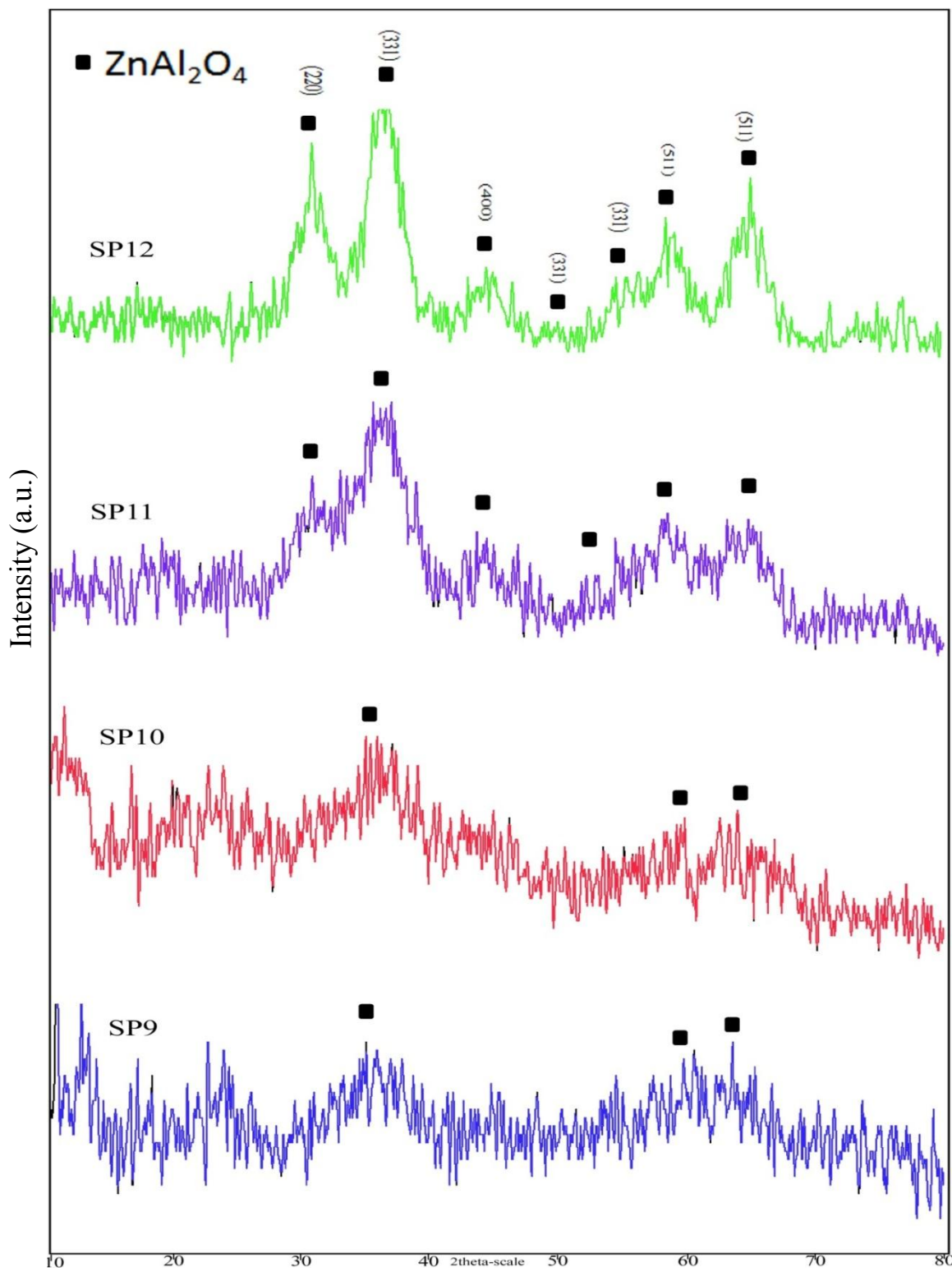


شکل ۳-۱۹. الگوی پرتو ایکس نمونه‌های حاصل از آبکافت ۲-بوتanol (SP12) در دمای ۴۰۰، ۵۰۰، ۶۰۰، ۷۰۰ و ۸۰۰ °C

۳-۱-۳-۷- اثر دمای هیدرترمال بر نمونه‌های حاصل از آبکافت هیدرоторمال



برای بررسی اثر دما به طور جداگانه الگوی پراش پرتو ایکس نمونه‌های تکلیس نشده‌ی حاصل از آبکافت هیدرоторمال سری SP9 تا 12 را در چهار دمای ۵۰، ۱۰۰، ۱۵۰ و ۲۰۰ مقایسه شد. با توجه به شکل ۳-۲ و مقایسه الگوی پراش پرتو ایکس نمونه‌های حاصل از آبکافت هیدرоторمال $\text{Zn}(\text{acac})_2 + \text{Al(O}^{\circ}\text{Bu)}_3$ در ۲-بوتanol (SP9 تا 12) در دمای ۵۰، ۱۰۰، ۱۵۰ و ۲۰۰ نشان می‌دهد در دمای ۵۰°C نوارهای مربوط به روی آلمینات دیده نمی‌شود و این دلیلی است بر شکل نگرفتن ساختار روی آلمینات در این نمونه. اما رفته با افزایش دمای هیدرоторمال به ۱۰۰ و ۱۵۰ نوارهای مربوط به تشکیل ساختار روی آلمینات رشد می‌کند در ۲۰۰°C الگوی ساختار روی آلمینات واضح تر می‌شود. چنین نتیجه‌ای در چنین دمایی نشان از برتری روش به کار رفته نسبت به روش‌های دیگر در ساخت گاهنیت تا به امروز را دارد چرا که حتی بدون تکلیس هم تشکیل شبکه بلوری گاهنیت قابل تشخیص است.



شکل-۳. الگوی پراش پرتو ایکس آبکافت هیدروترمال $\text{Zn}(\text{acac})_2 + \text{Al(O}^{\text{s}}\text{Bu}_3)$ با غلظت ۰/۲۵ مولار در ۲-بوتانول در دمای ۱۰۰، ۱۵۰ و ۲۰۰ °C (SP12 تا SP9).

۳-۱-۳- ابعاد بلورک‌ها

اندازه متوسط بلورک گاهنیت با استفاده از داده‌های بهدست آمده از پراش پرتو ایکس و معادله شرر [52]

به صورت زیر محاسبه گردید:

معادله شرر

$$D = \frac{k \lambda}{\beta \cos \theta}$$

$$D = \frac{k \lambda}{\text{FWHM} \cos \theta}$$

اندازه ذرات

$$\beta = \text{FWMH}$$

تمام پهنا در نیمه‌ی بیشینه (قله نوار)

$$\text{ثابت } k = 0.9$$

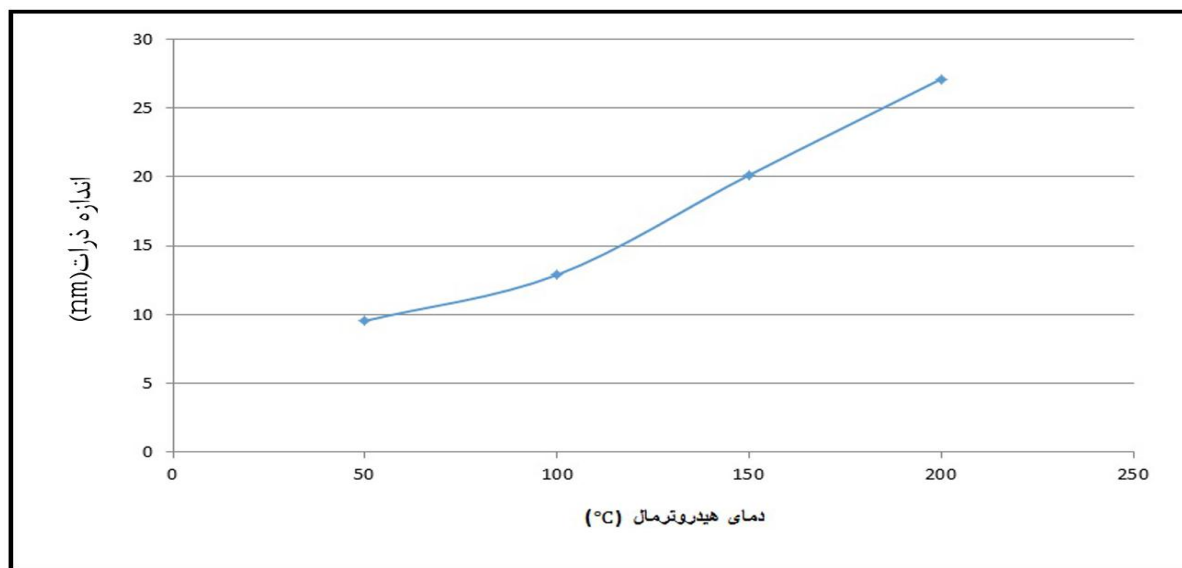
$$\lambda = 0.154 \text{ nm} \quad \text{طول موج پرتو ایکس}$$

$$\theta = \text{زاویه برآگ}$$

این مقادیر در محدوده ۹-۲۷ nm بدست آمد. جدول ۳-۳ مقادیر بدست آمده و شکل ۱۶-۳ ابعاد بلورک‌ها بر حسب دمای هیدروترمال را نشان می‌دهد.

جدول ۳-۳. اندازه متوسط ذرات بدست آمده از آبکافت هیدروترمال $2 \text{ Al(O}^{\text{s}}\text{Bu)}_3 + \text{Zn(acac)}_2$ با غلظت 0.25 مولار در ۲-پوتانول (SP9 تا SP12) در دمای $50^\circ\text{C}, 100^\circ\text{C}, 150^\circ\text{C}$ و 200°C پس از تکلیس در دمای 700°C

Sample	Hydrothermal Temperature $^\circ\text{C}$	Particle size(nm)
SP9	۵۰	۹
SP10	۱۰۰	۱۲
SP11	۱۵۰	۲۰
SP12	۲۰۰	۲۷



شکل ۲۱-۳. نمودار تغییر آهنگ اندازه متوسط ذرات (SP9 تا SP12) بر حسب دمای هیدروترمال.

۳-۱-۴- بررسی و اندازه‌گیری میزان تخلخل و سطح موثر به وسیله دستگاه BET

نتایج اندازه‌گیری میزان تخلخل و سطح موثر به وسیله دستگاه BET نمونه $\text{Al(O}^{\text{s}}\text{Bu)}_3$ با غلظت $0/25$ مولار در ۲-بوتanol (SP9) در دمای 50°C بعد از تکلیس در دمای 700°C و نمونه $\text{Al(O}^{\text{s}}\text{Bu)}_3 + \text{Zn(acac)}$ با غلظت $0/25$ مولار در ۲-بوتanol (SP12) در دمای 200°C پیش از تکلیس در دمای 700°C در جدول ۴-۳ آورده شده است. همان طور که دیده می‌شود در نمونه (SP9) در دمای 50°C بعد از تکلیس در دمای 700°C سطح موثر نسبت به نمونه (SP12) در دمای 200°C بسیار کمتر است و این به دلیل تکلیس نمونه (SP9) در 700°C می‌باشد. با افزایش دما ذرات ریز به هم چسبیده و سبب کاهش چشمگیر خلل و فرج و در ادامه کاهش سطح موثر می‌شود. افرون بر آن، تکلیس سبب کاهش حجم کلی حفره‌ها و افزایش قطر حفرات نیز می‌شود. به طور کلی با بررسی و اندازه‌گیری میزان تخلخل و سطح موثر به وسیله دستگاه BET این نتیجه حاصل می‌شود که با افزایش دما ذرات ریز به هم چسبیده و علاوه بر کاهش سطح ویژه، باعث کاهش حجم کلی حفره‌ها شده و افزایش قطر ورودی حفره‌ها می‌شود.

جدول ۴-۳. نتایج اندازه‌گیری میزان تخلخل و سطح موثر به وسیله دستگاه BET نمونه‌ی ۲
 با غلظت ۰/۲۵ مولار در ۲-بوتanol (SP9) در دمای ۵۰ °C بعد از تکلیس در دمای ۷۰۰ °C و نمونه‌ی ۳
 + با غلظت ۰/۲۵ مولار در ۲-بوتanol (SP12) در دمای ۲۰۰ °C پیش از تکلیس در دمای ۷۰۰ °C
 + Zn(acac)₂

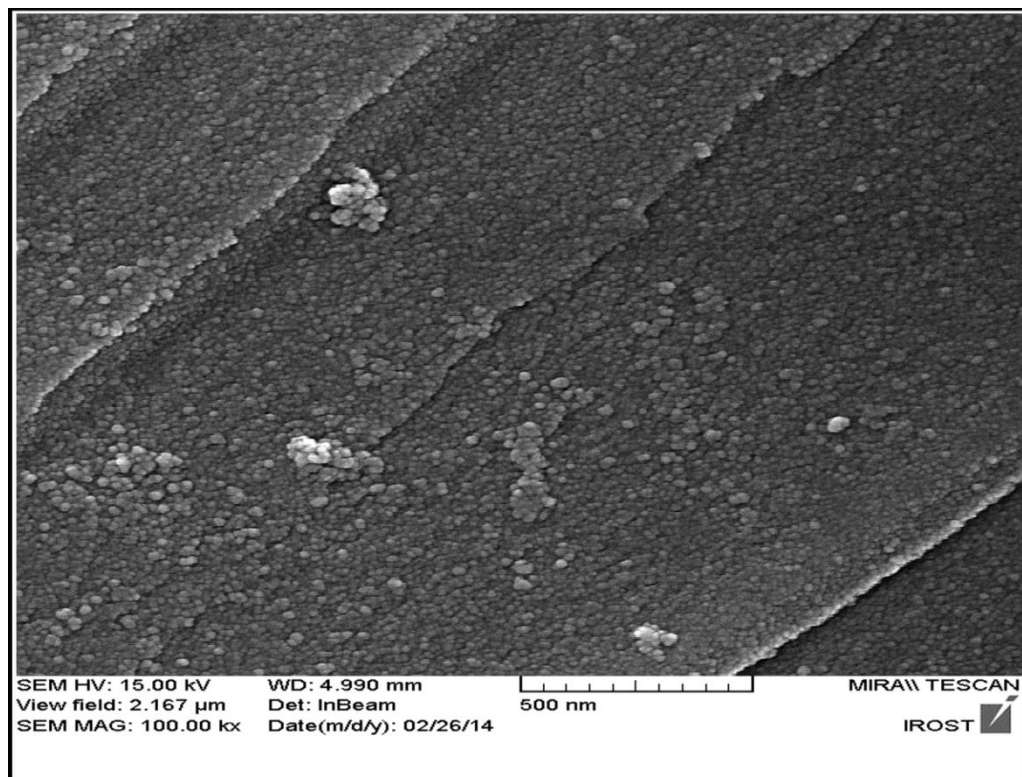
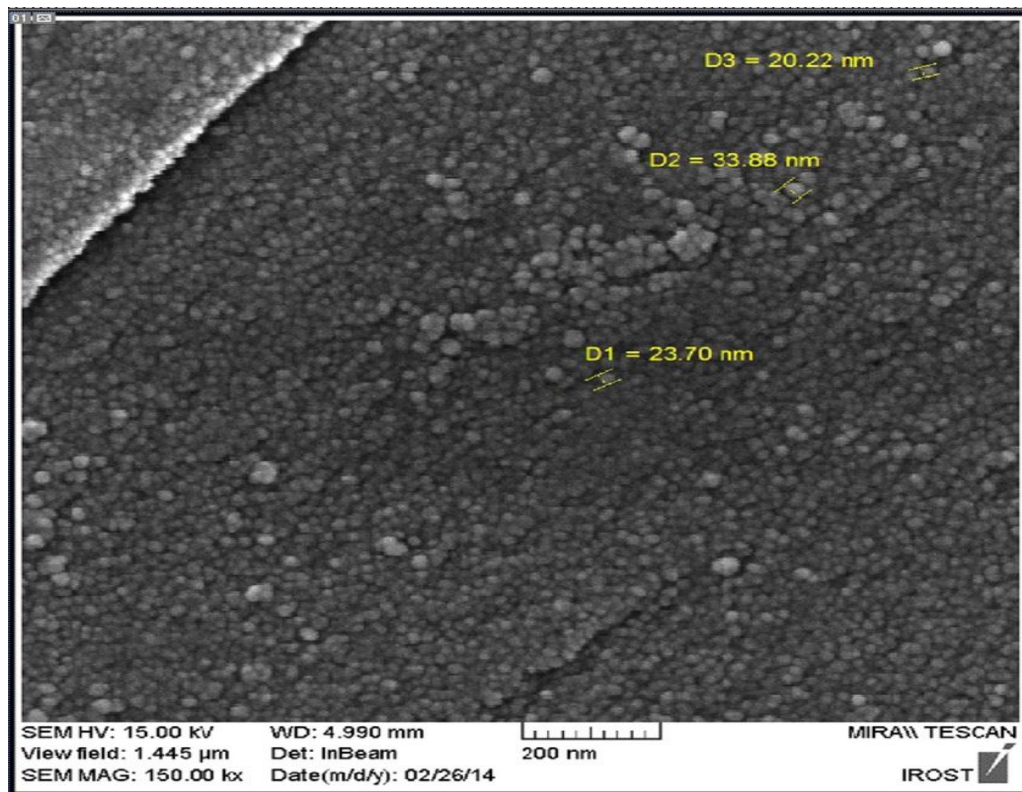
Sample	a _s ,BET [m ² g ⁻¹]	Total pore volume (p/p _o =0/990) [cm ³ g ⁻¹]	Average pore diameter [nm]
50	78	0/12	6/3
200	346	0/3	3/4

۳-۱-۴- بررسی مورفولوژی با میکروسکوپ الکترونی روبشی SEM

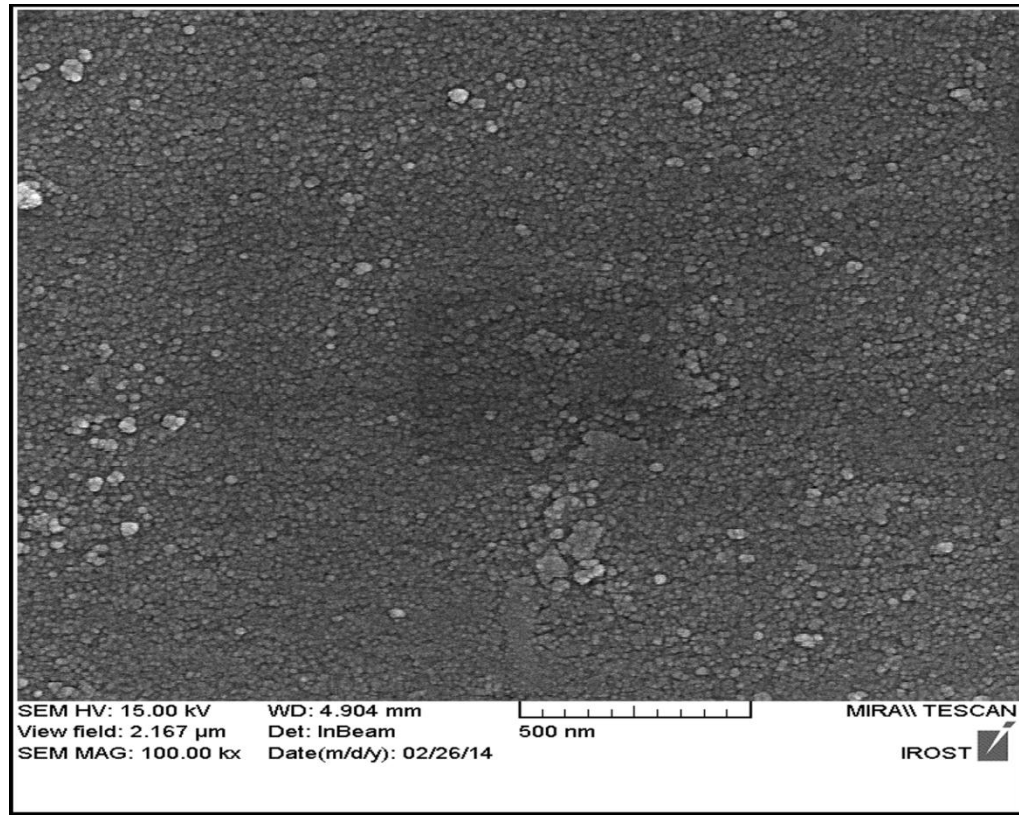
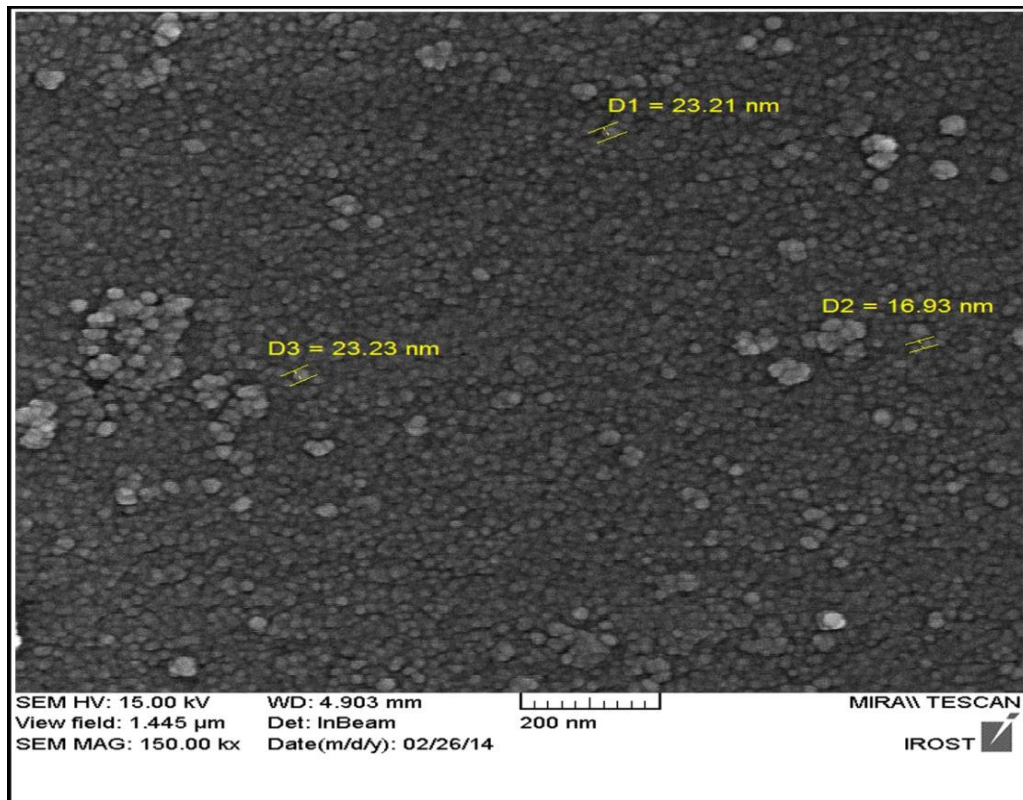
۳-۱-۴-۱- بررسی مورفولوژی نمونه های آبکافت هیدروترمال $\text{Al(O}^{\text{s}}\text{Bu)}_3$

Zn(acac)_2 + با غلظت ۰/۲۵ مولار در ۲-بوتanol

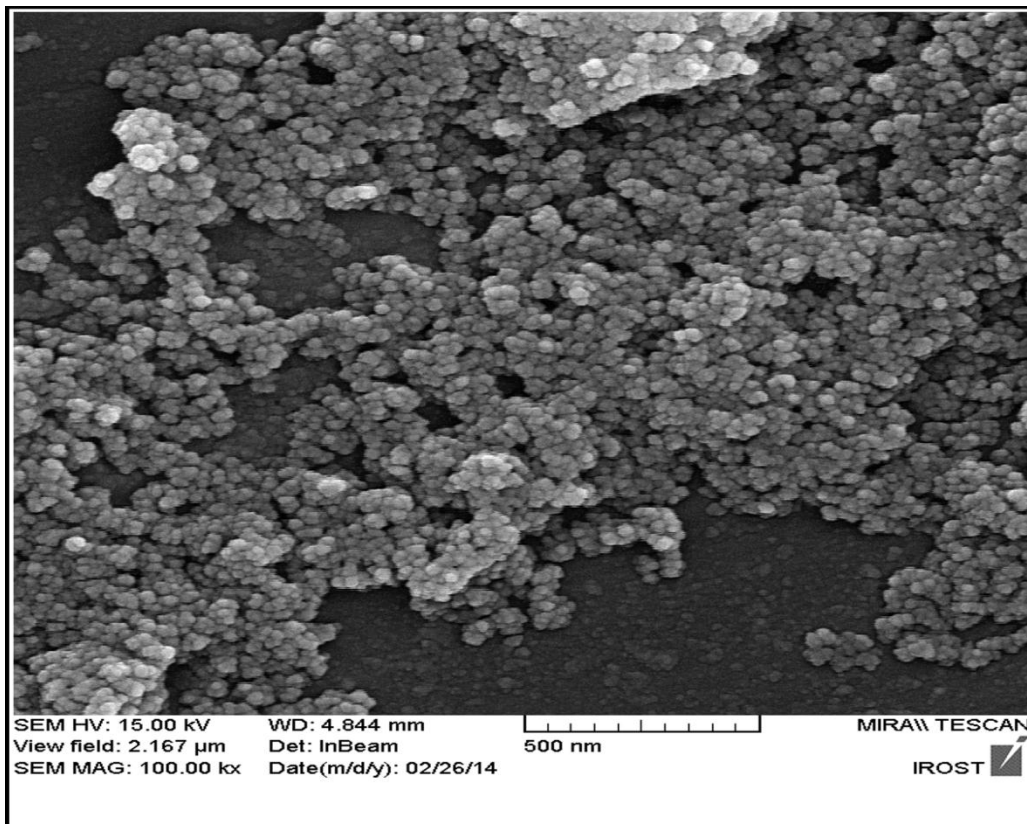
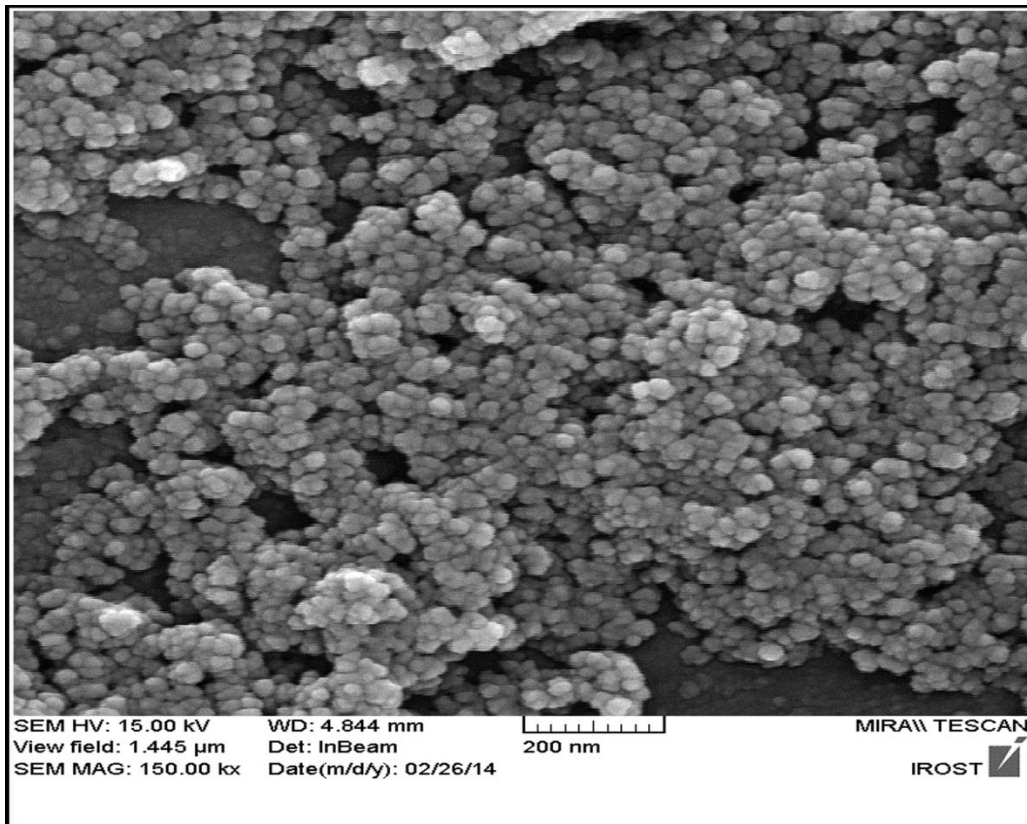
مورفولوژی پودرهای بدست آمده از آبکافت هیدروترمال $\text{Al(O}^{\text{s}}\text{Bu)}_3 + \text{Zn(acac)}_2$ با غلظت ۰/۲۵ مولار در ۲-بوتanol (SP9 تا SP12) در دمای ۵۰، ۱۰۰، ۱۵۰ و ۲۰۰ با بزرگنمایی های متفاوت در شکل های ۲-۳ تا ۲۵-۳ نشان داده شده است. همان طور که دیده می شود در نمونه ۵۰°C و ۱۰۰°C ذرات شکل کروی دارند و به صورت کاملاً یکنواخت پخش شده اند. علت یکنواختی و هم اندازه بودن ذرات را احتمالاً می توان به دمای پایین آبکافت هیدروترمال مربوط دانست. در نمونه ۱۵۰°C با افزایش دمای هیدروترمال اندازه ذرات به وضوح افزایش پیدا کرده و از یکنواختی ذرات کاسته شده است و رو به کلوخه شدن می رود. این رفتار در نمونه ۲۰۰°C به دلیل افزایش دما تشدید شده است. افزایش اندازه ذرات و کلوخه ای شدن نمونه ها را می توان به هم چسبیدن ذرات با افزایش دما دانست.



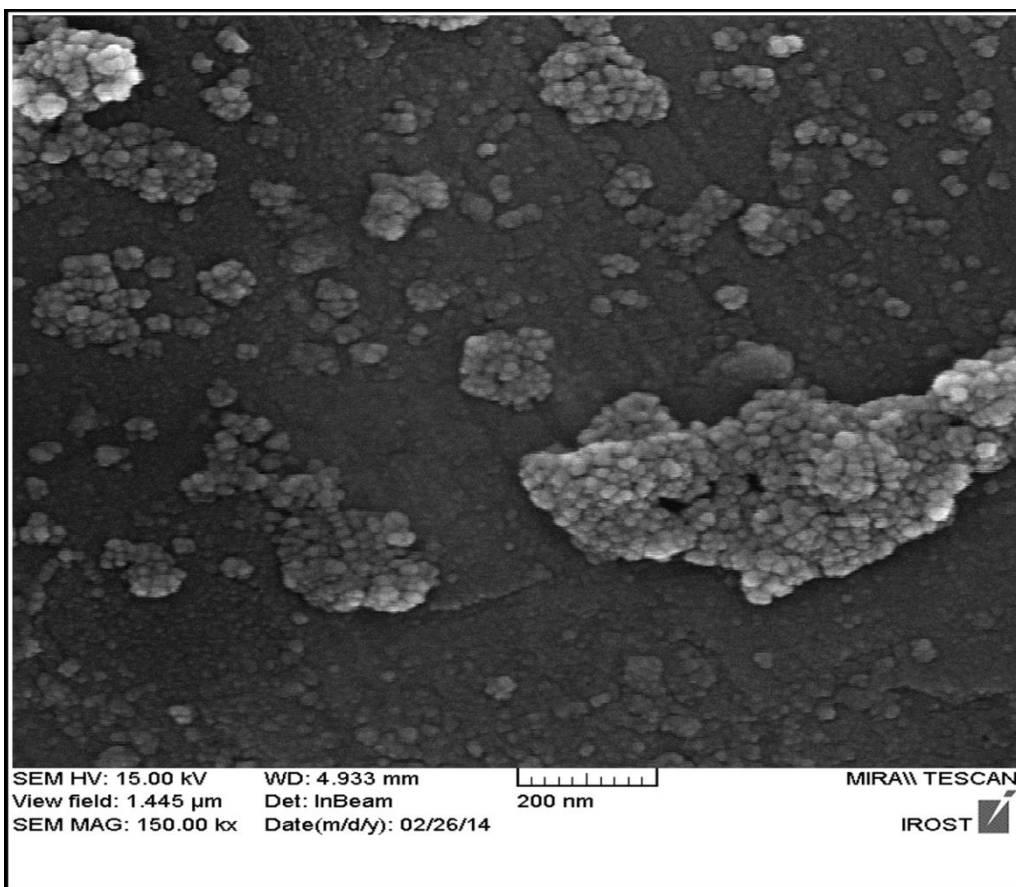
شکل ۳-۲۲. میکروگراف SEM آپکافت هیدرترمال $\text{Al}(\text{O}^{\text{s}}\text{Bu})_3 + \text{Zn}(\text{acac})_2$ با غلظت 0.25 M مولار در ۲-بوتانول (SP9) در دمای 50°C با بزرگنمایی‌های مختلف.



شکل ۳-۲۳. میکروگراف SEM آبکافت هیدرترمال_۰/۲۵ مولار در ۲-بوتانول با بزرگنمایی‌های متفاوت. (SP10) در دمای ۱۰۰ °C



شکل ۲۴-۳. میکروگراف SEM آبکافت هیدرترمال $\text{Al}(\text{O}^{\text{s}}\text{Bu})_3 + \text{Zn}(\text{acac})_2$ با غلظت ۰/۲۵ مولار در ۲-بوتanol در دمای 150°C با بزرگنمایی‌های متفاوت.



SEM HV: 15.00 kV

WD: 4.933 mm

[1 1 1 1 1 1]

MIRAI TESCAN

View field: 1.445 μ m

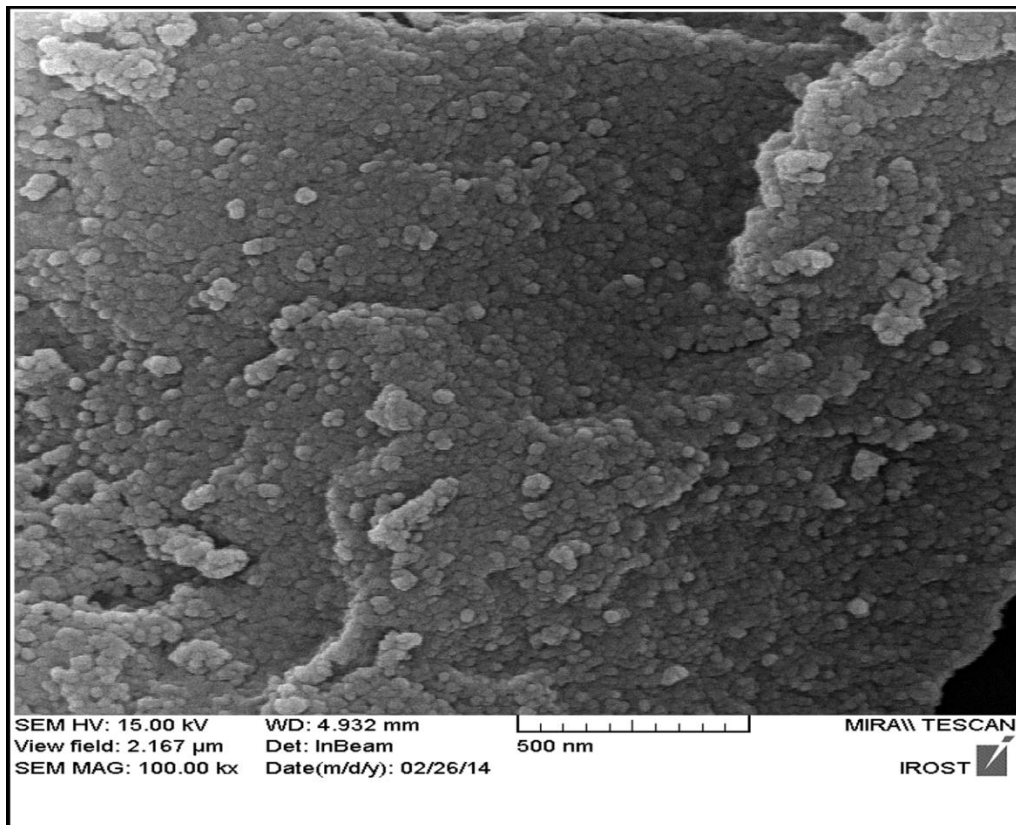
Det: InBeam

200 nm

IROST

SEM MAG: 150.00 kx

Date(m/d/y): 02/26/14



SEM HV: 15.00 kV

WD: 4.932 mm

[1 1 1 1 1 1]

MIRAI TESCAN

View field: 2.167 μ m

Det: InBeam

500 nm

IROST

SEM MAG: 100.00 kx

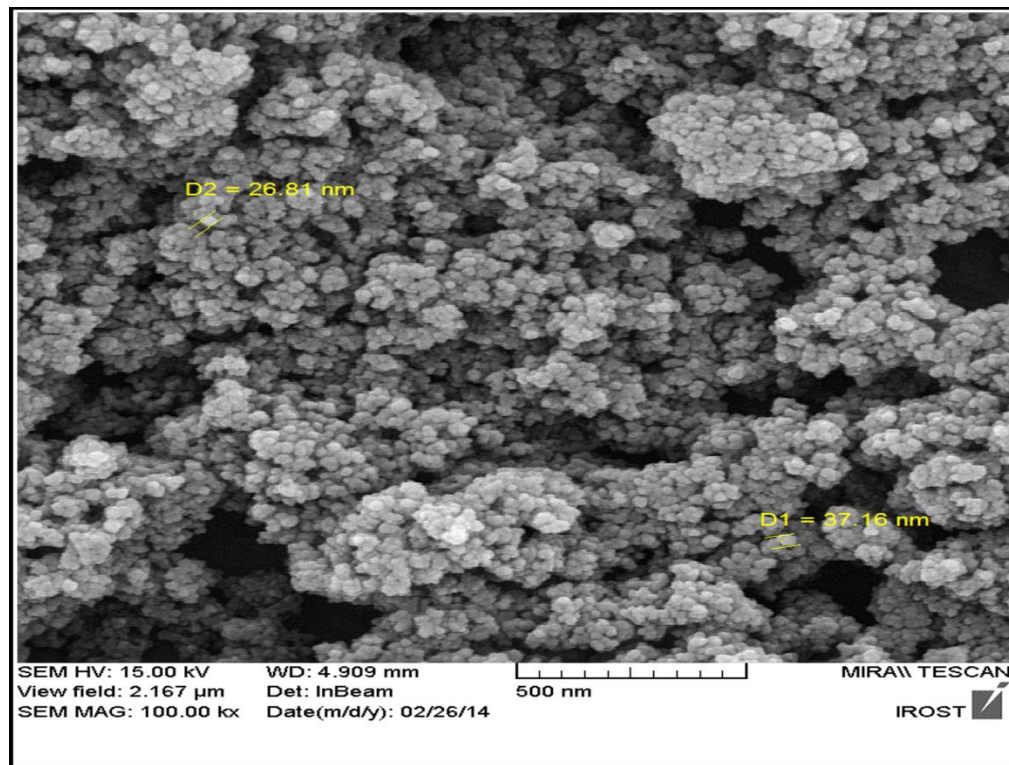
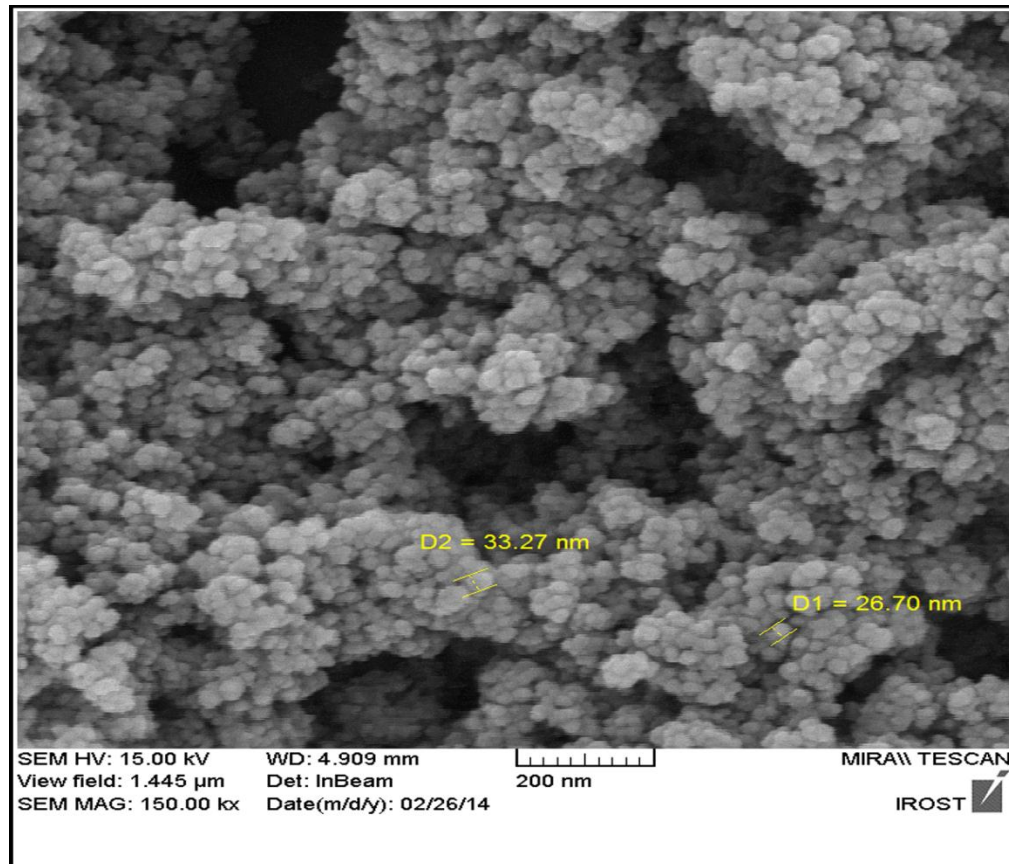
Date(m/d/y): 02/26/14

شکل ۳-۲۵. میکروگراف SEM آبکافت هیدرترمال_۲ Al(O⁸Bu)₃ + Zn(acac)₂ با غلظت ۰/۲۵ مولار در ۲-بوتanol در دمای ۲۰۰ °C با بزرگنمایی‌های متفاوت.

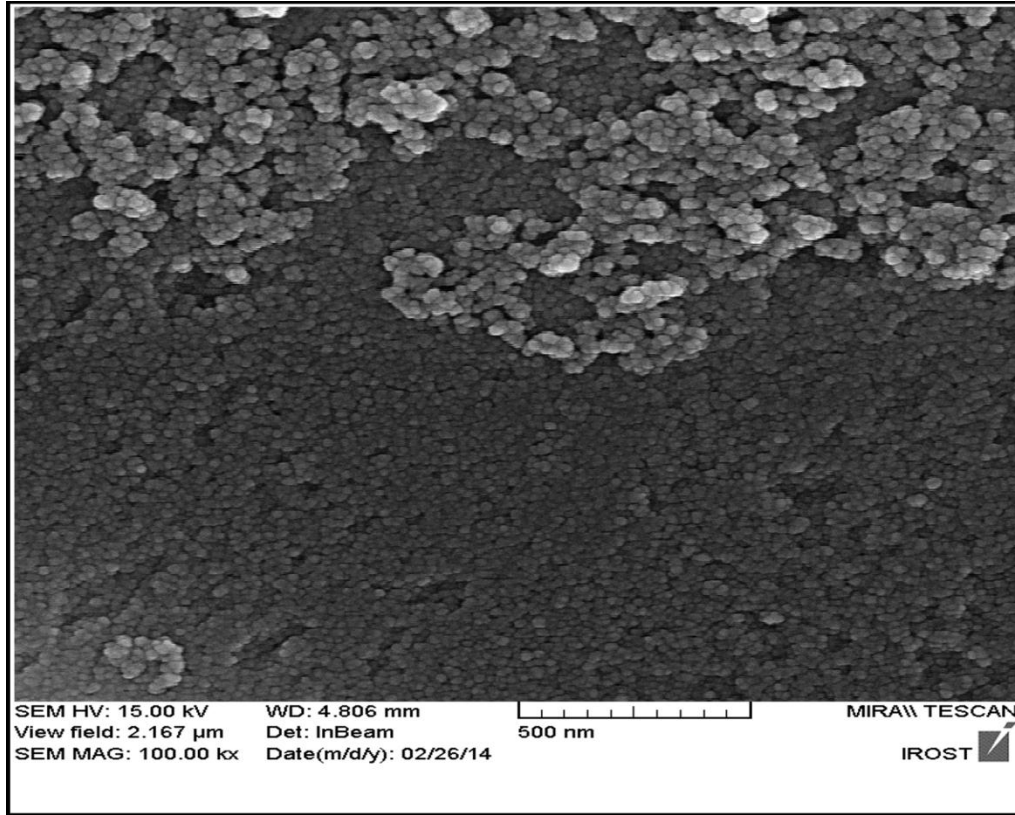
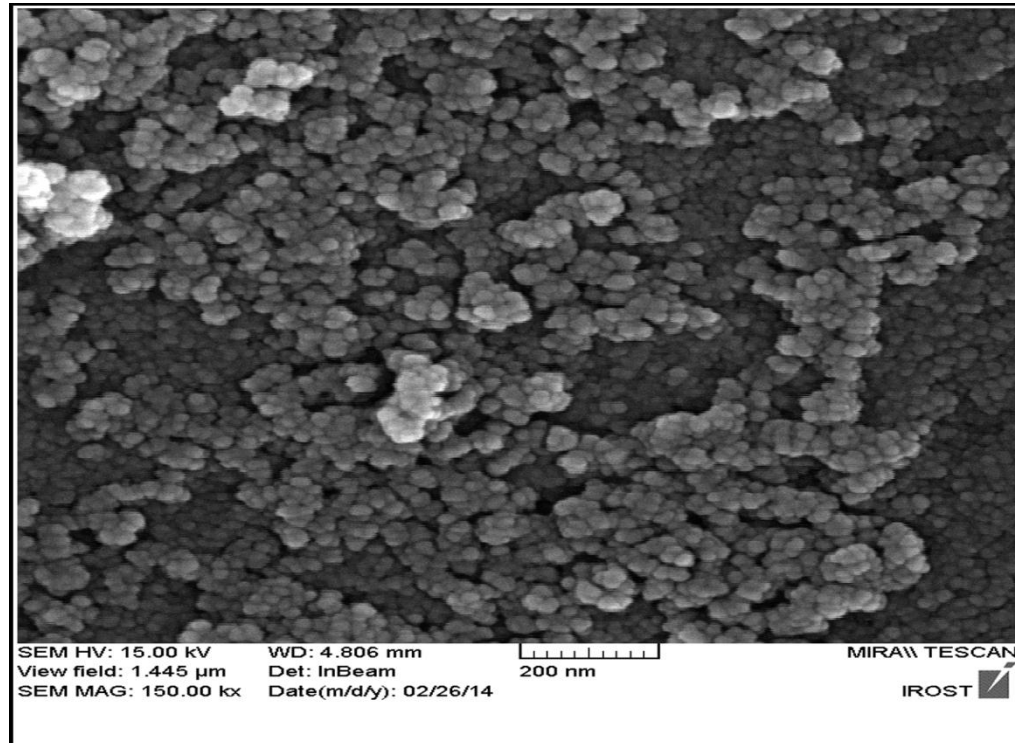
۳-۱-۴-۲- بررسی مورفولوژی نمونه های آبکافت هیدرоторمال در دمای ۵۰°C

مورفولوژی پودرهای بدست آمده از آبکافت هیدرоторمال نمونه های انتخابی در دمای ۵۰°C با غلظت ۰/۲۵ مولار با بزرگنمایی های متفاوت در (شکل های ۲۰-۳ تا ۲۲-۳) نشان داده شده است. همان طور که دیده می شود در شکل های ۲۰-۳ که مربوط به $\text{Al(O}^{\circ}\text{Bu)}_3 + \text{ZnCl}_2$ با غلظت ۰/۲۵ مولار در ۲ بوتانول می باشد ذرات شکل کروی دارند ولی به صورت کاملا یکنواخت پخش نشده اند و حالت کلوخه ای پیدا کرده اند، علت را هم احتمالا می توان به تغییر نمک مورد استفاده در ساخت گاهنیت دانست. در شکل های ۲۱-۳ که مربوط به $\text{Al(O}^{\circ}\text{Bu)}_3 + \text{Zn(acac)}_2$ با غلظت ۰/۲۵ مولار در مخلوط ۲-بوتانول و تولوئن شرایط نسبت به نمونه شکل ۲۰-۳ بهتر شده است ولی با این حال ما عدم یکنواختی را در شکل می بینیم، در شکل های ۲۲-۳ که مربوط به ترکیب $\text{Al(O}^{\circ}\text{Bu)}_3 + \text{Zn(NO)}_3$ با غلظت ۰/۲۵ مولار در مخلوط ۲-بوتانول و تولوئن می باشد شکل کروی ذرات از بین رفته و همچنین ذرات یکنواخت نیستند و به شکل ورقه ای یا میله ای در آمده اند. این پدیده را احتمالا می توان مربوط به هیدرولیز پیش از انجام فرایند هیدرоторمال دانست.

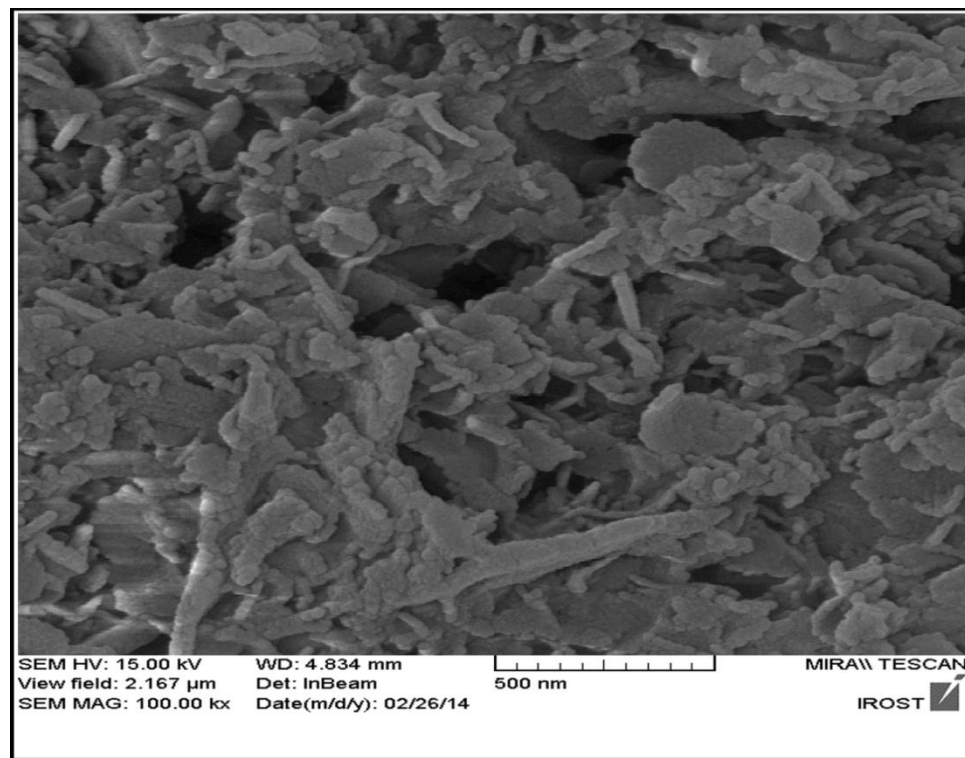
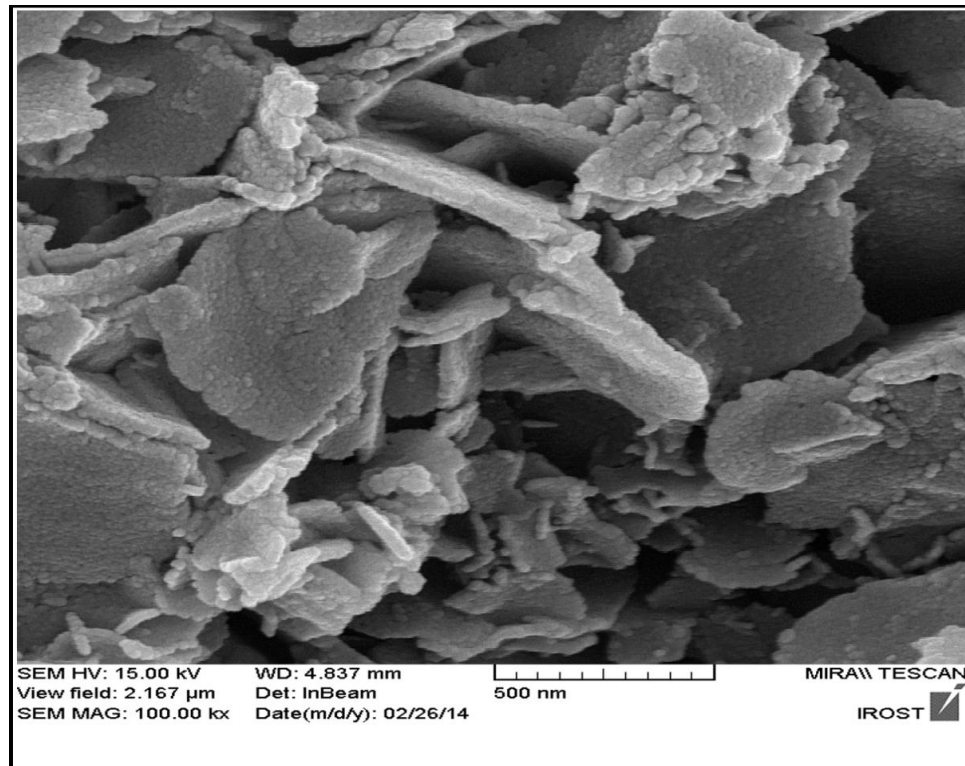
با بررسی مورفولوژی نمونه ها با میکروسکوپ الکترونی روبشی SEM نمونه ها همچون نتایج مربوط به XRD به این نتیجه می رسیم که بهترین نمونه گاهنیت در شرایط آبکافت هیدرotorمال °C با غلظت ۰/۲۵ مولار در ۲-بوتانول (SP12) تا SP9 در دمای $\text{Al(O}^{\circ}\text{Bu)}_3 + \text{Zn(acac)}_2$ با ساخته شده است. از این رو در ادامه مورفولوژی نمونه SP9 و SP12 با میکروسکوپ الکترونی روبشی SEM در شرایط دمایی مختلف مورد بررسی قرار گرفت.



شکل ۳-۲۶. میکروگراف SEM آبکافت هیدرترمال $\text{Al}(\text{O}^{\delta}\text{Bu})_3 + \text{ZnCl}_2$ با غلظت ۰/۲۵ مولار در ۲-بوتانول در دمای 50°C با بزرگنمایی‌های متفاوت. (SP17)



شکل ۳-۲۷. میکروگراف SEM آبکافت هیدرترمال $25/20$ مولار در محلول ۲ بوتانول و تولئن (SP5) در دمای 50°C .

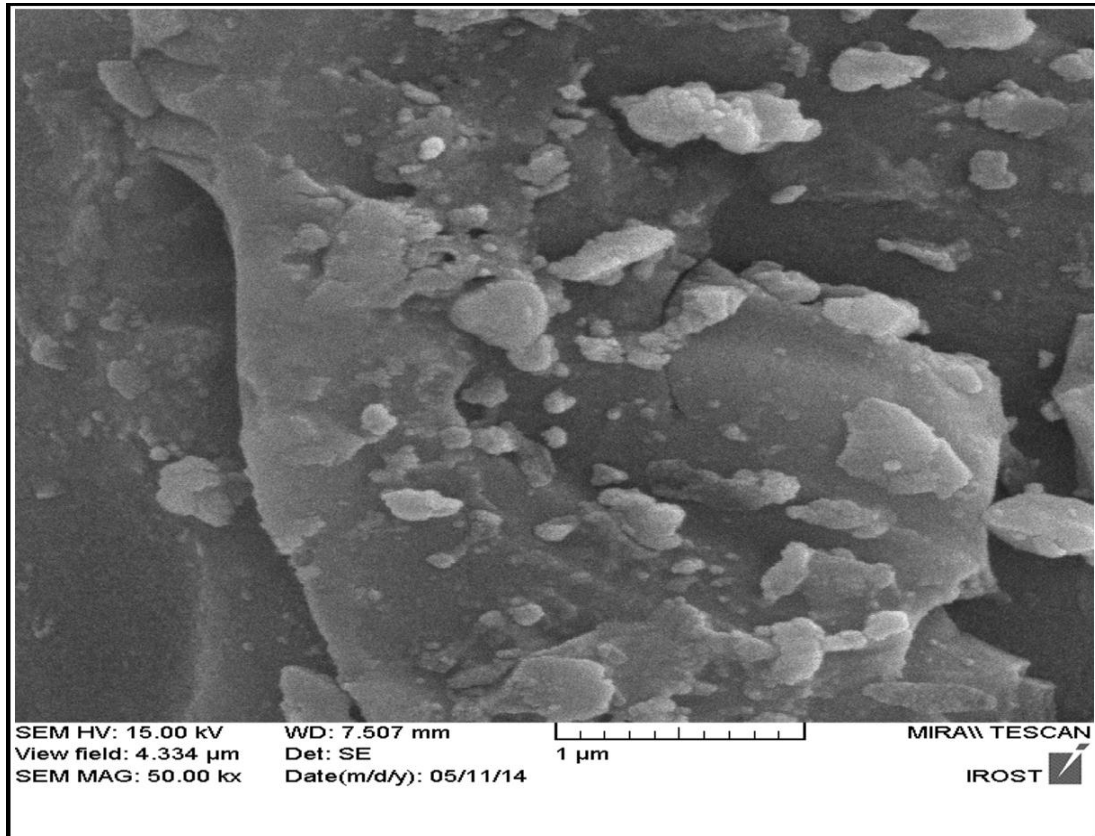
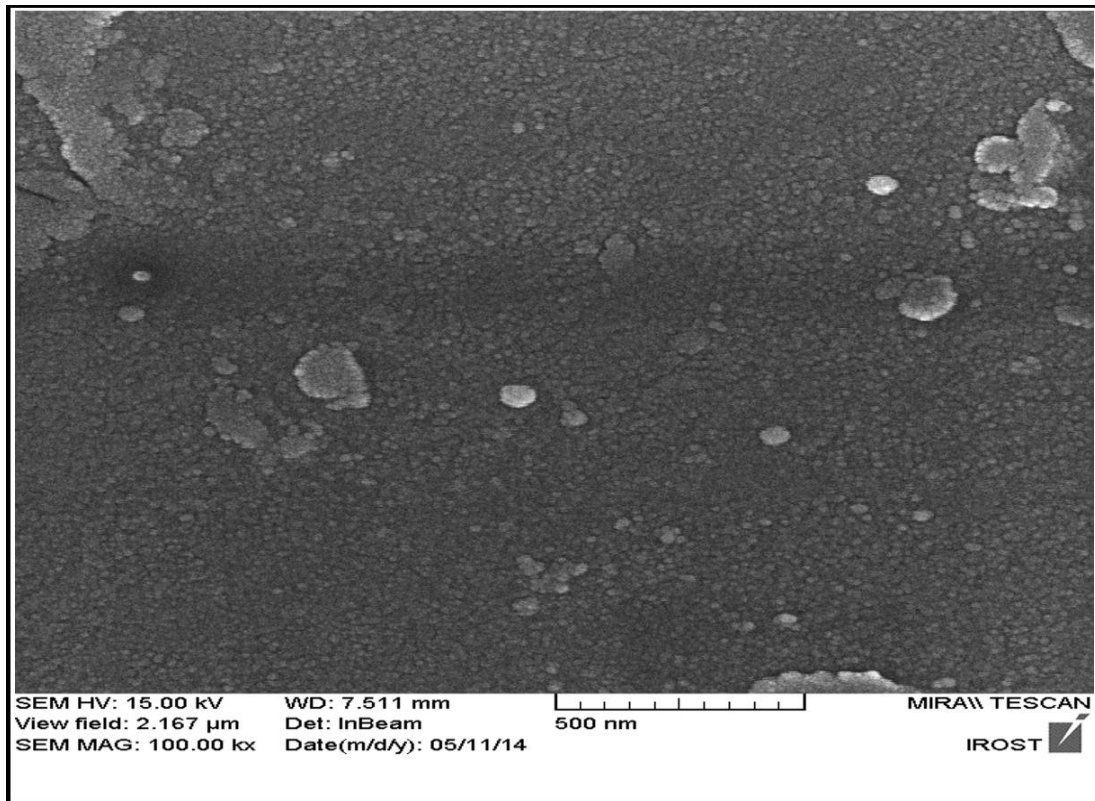


شکل ۲۸-۳. میکروگراف SEM آبکافت هیدرترمال $\text{Al}(\text{O}^{\circ}\text{Bu})_3 + \text{Zn}(\text{NO})_3$ با غلظت $0/25$ مولار در مخلوط ۲-بوتانول و تولوئن (SP21) در دمای 50°C .

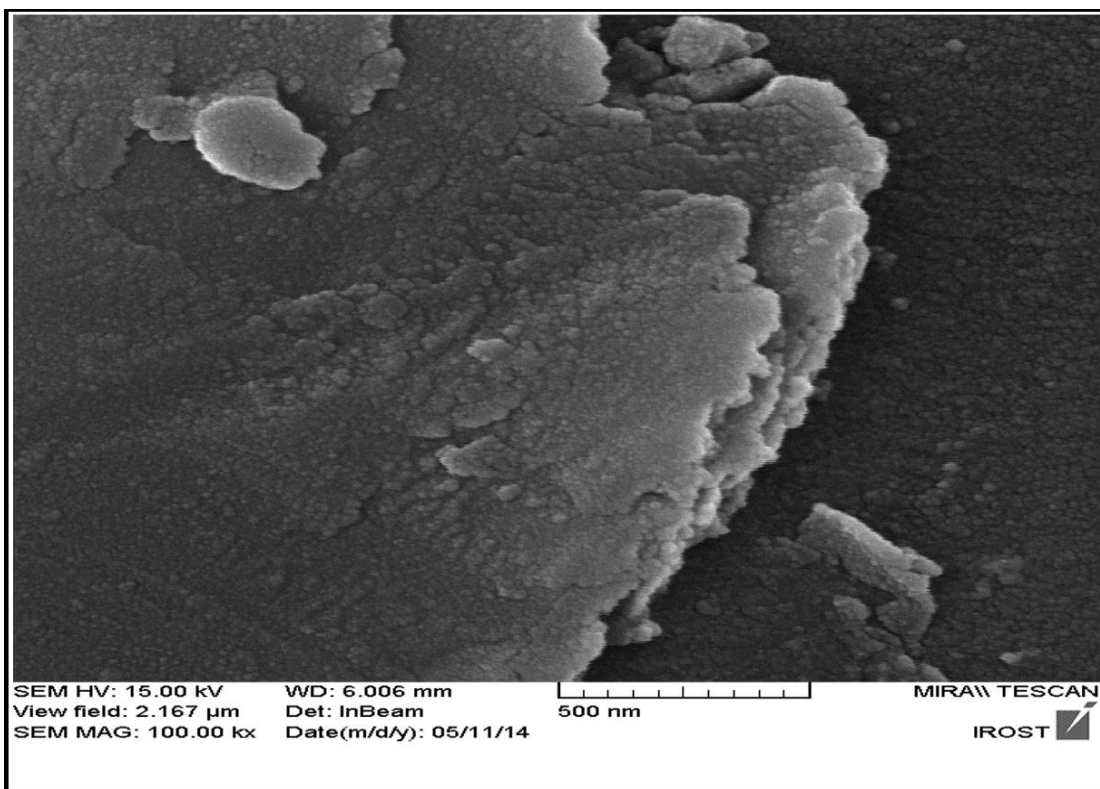
۳-۱-۴-۳- بررسی مورفولوژی نمونه های آبکافت هیدروترمال₃

با غلظت ۰/۲۵ مولار در ۲- بوتانول در دماهای ۴۰۰-۸۰۰ °C + Zn(acac)₂

مورفولوژی پودرهای بدست آمده از آبکافت هیدروترمال₃ Al(O^sBu)₃ با غلظت ۰/۲۵ مولار در ۲- بوتانول (SP12 ، SP9) در دمای °C ۶۰۰، ۴۰۰، ۵۰۰ و ۸۰۰ با بزرگنمایی های متفاوت در (شکل های ۳-۲۶ تا ۳-۳۶) نشان داده شده است. همان طور که دیده می شود در نمونه های °C ۴۰۰ و °C ۵۰۰ ذرات همچنان شکل کروی دارند و به صورت کاملاً یکنواخت پخش شده اند. ولی در نمونه های °C ۶۰۰ تا °C ۸۰۰ با افزایش دمای هیدروترمال، اندازه ذرات به وضوح افزایش پیدا کرده و از یکنواختی ذرات کاسته شده است و رو به کلوخه شدن می رود. این پدیده در نمونه های آبکافت هیدروترمال Al(O^sBu)₃ + Zn(acac)₂ هیدروترمال از °C ۵۰ به °C ۲۰۰ تشدید شده است، و نمونه های در دماهای پایین تر هم شرایط کلوخه ای شدن دارند. به همین دلیل کلوخه ای شدن نمونه ها را احتمالاً می توان حاصل به هم چسبیدن ذرات به دلیل افزایش دما دانست.



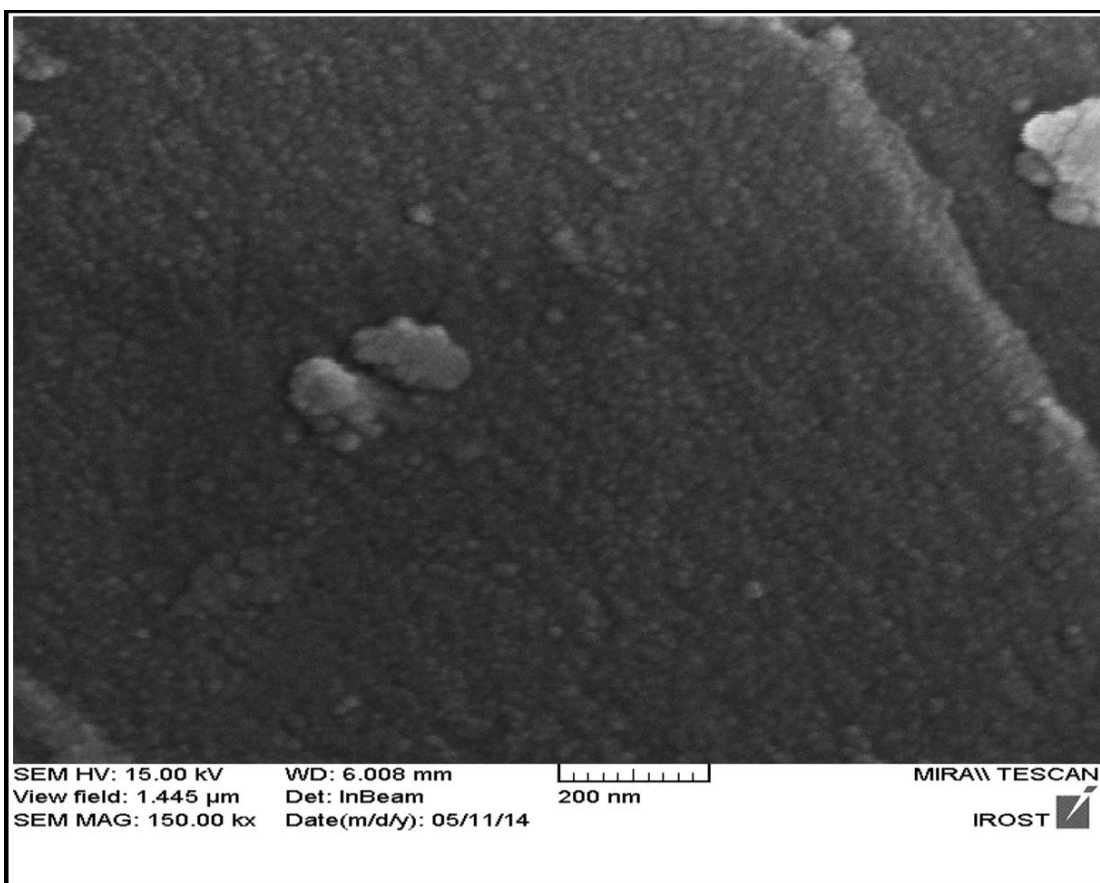
شکل ۲۹-۳. میکروگراف SEM آبکافت هیدرترمال₂ Al(O⁸Bu)₃+Zn(acac)₂ با غلظت ۰/۲۵ مولار در ۲-بوتanol (SP9) در دمای ۴۰۰ °C با بزرگنمایی‌های متفاوت، تکلیس در دمای ۵۰ °C.



SEM HV: 15.00 kV WD: 6.006 mm
View field: 2.167 μ m Det: InBeam
SEM MAG: 100.00 kx Date(m/d/y): 05/11/14

500 nm

MIRAI TESCAN
IROST

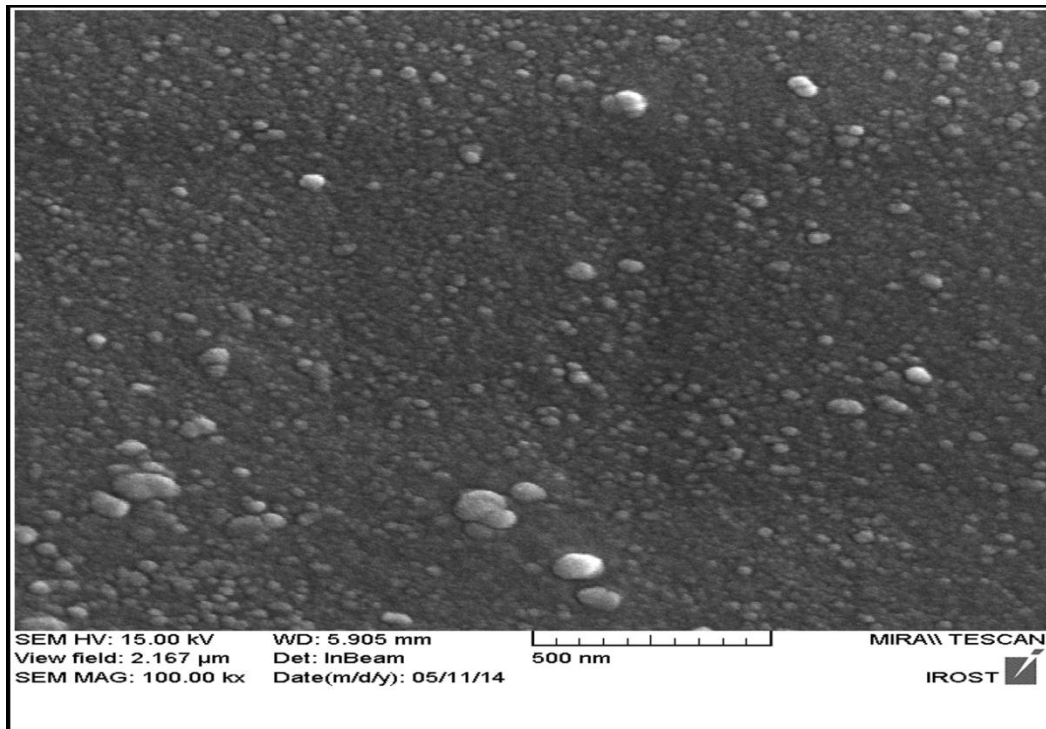
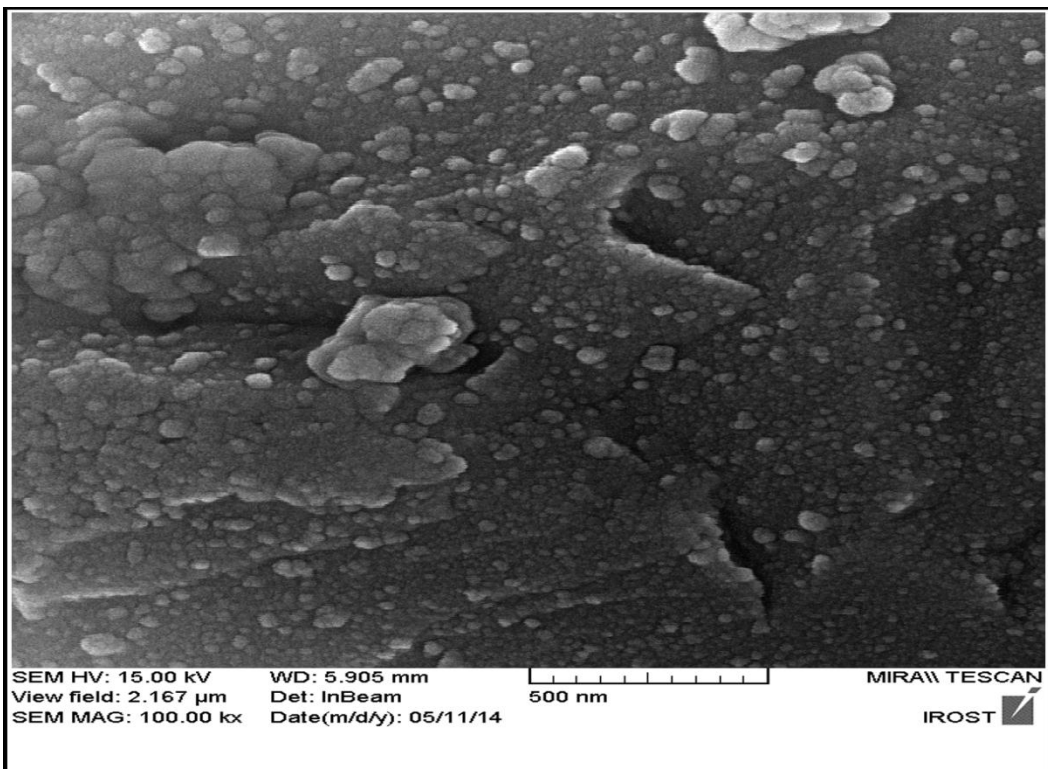


SEM HV: 15.00 kV WD: 6.008 mm
View field: 1.445 μ m Det: InBeam
SEM MAG: 150.00 kx Date(m/d/y): 05/11/14

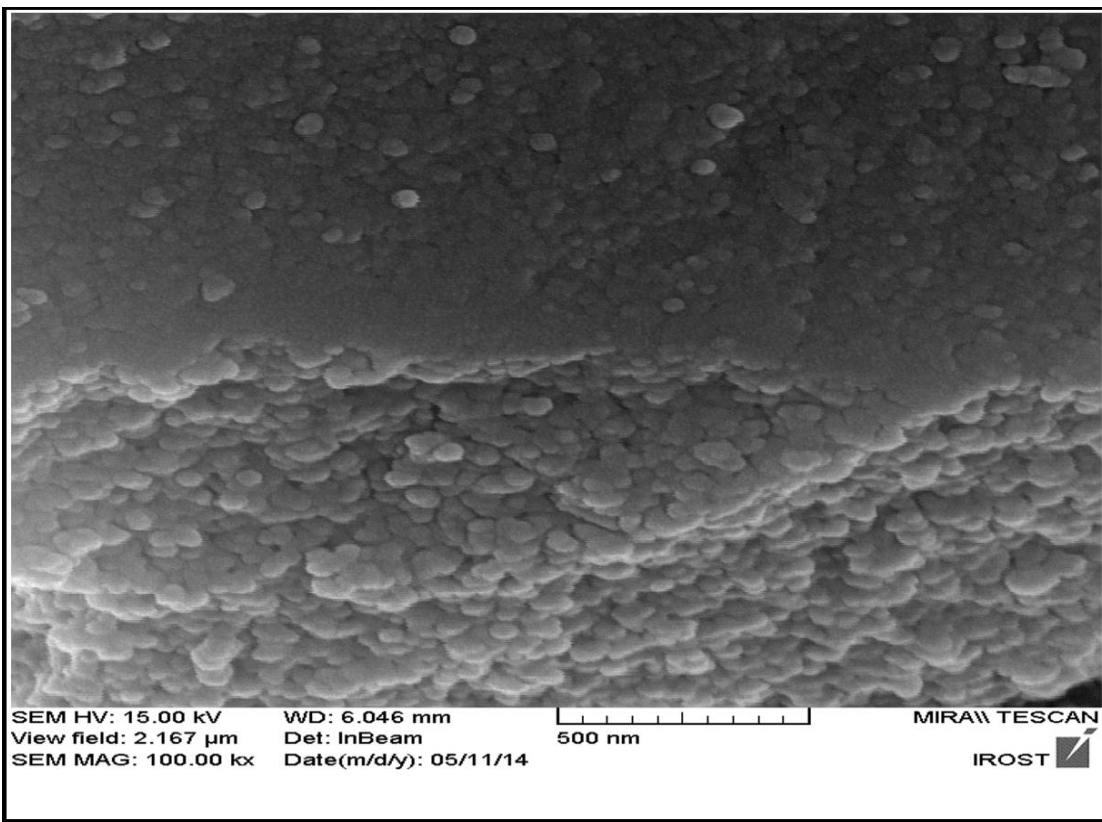
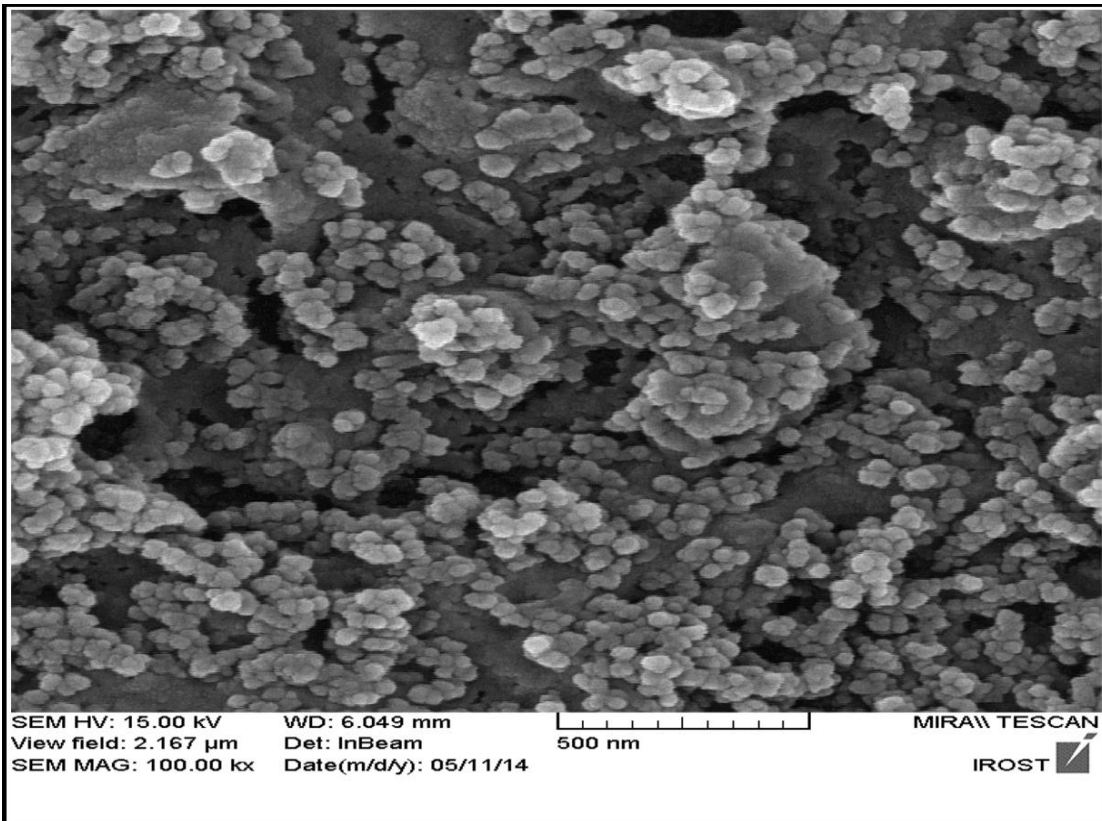
200 nm

MIRAI TESCAN
IROST

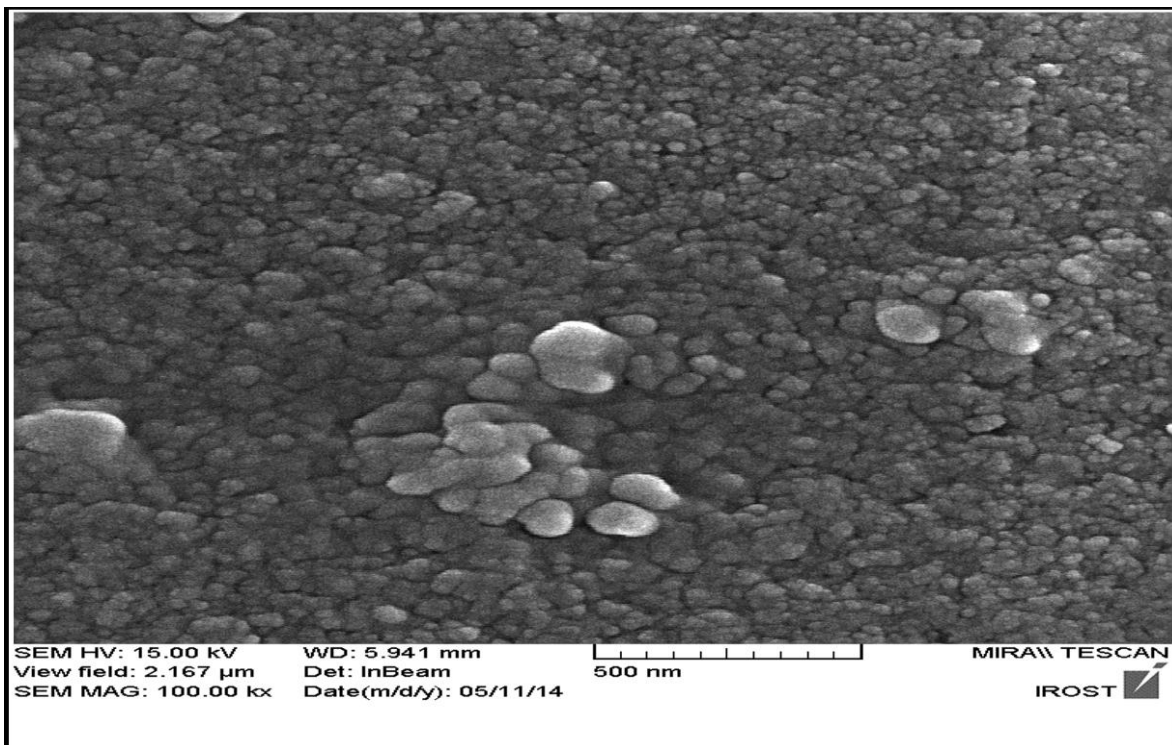
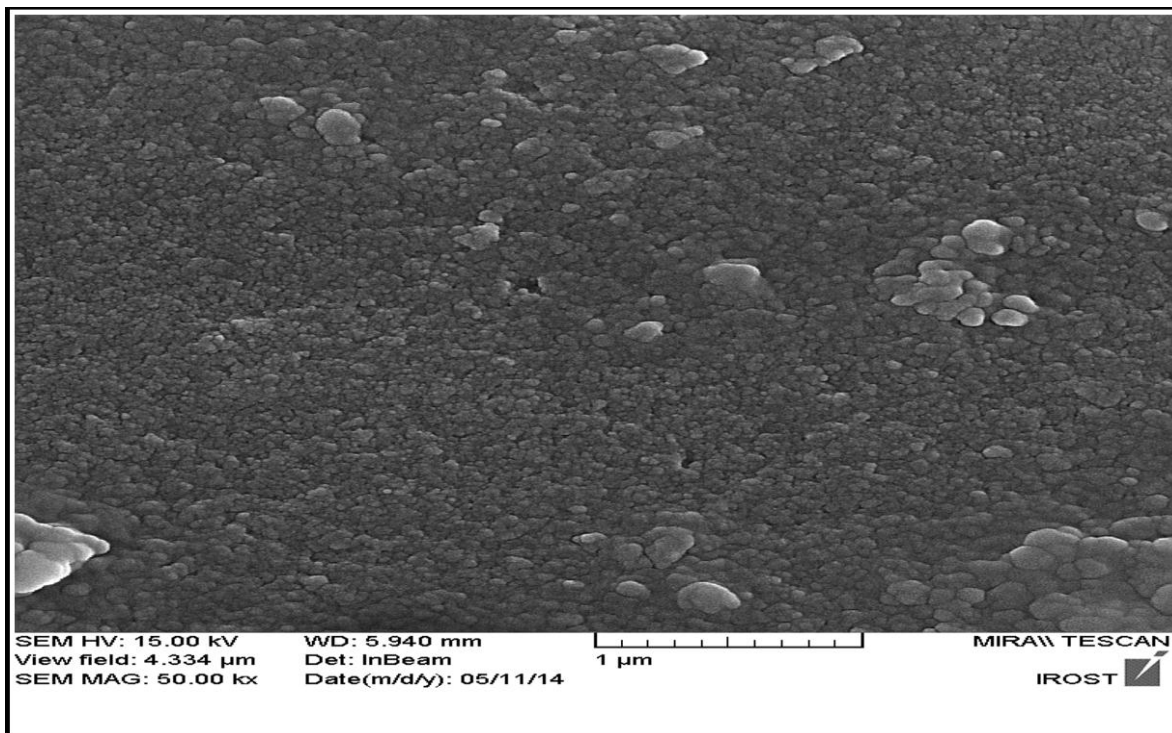
شکل ۳-۳. میکروگراف SEM آبکافت هیدرترمال_۲ Al(O⁸Bu)₃ + Zn(acac)₂ با غلظت ۰/۲۵ مولار در ۲-بوتانول (SP9) در دمای ۵۰ °C با بزرگنمایی‌های متفاوت، تکلیس در دمای ۵۰۰ °C



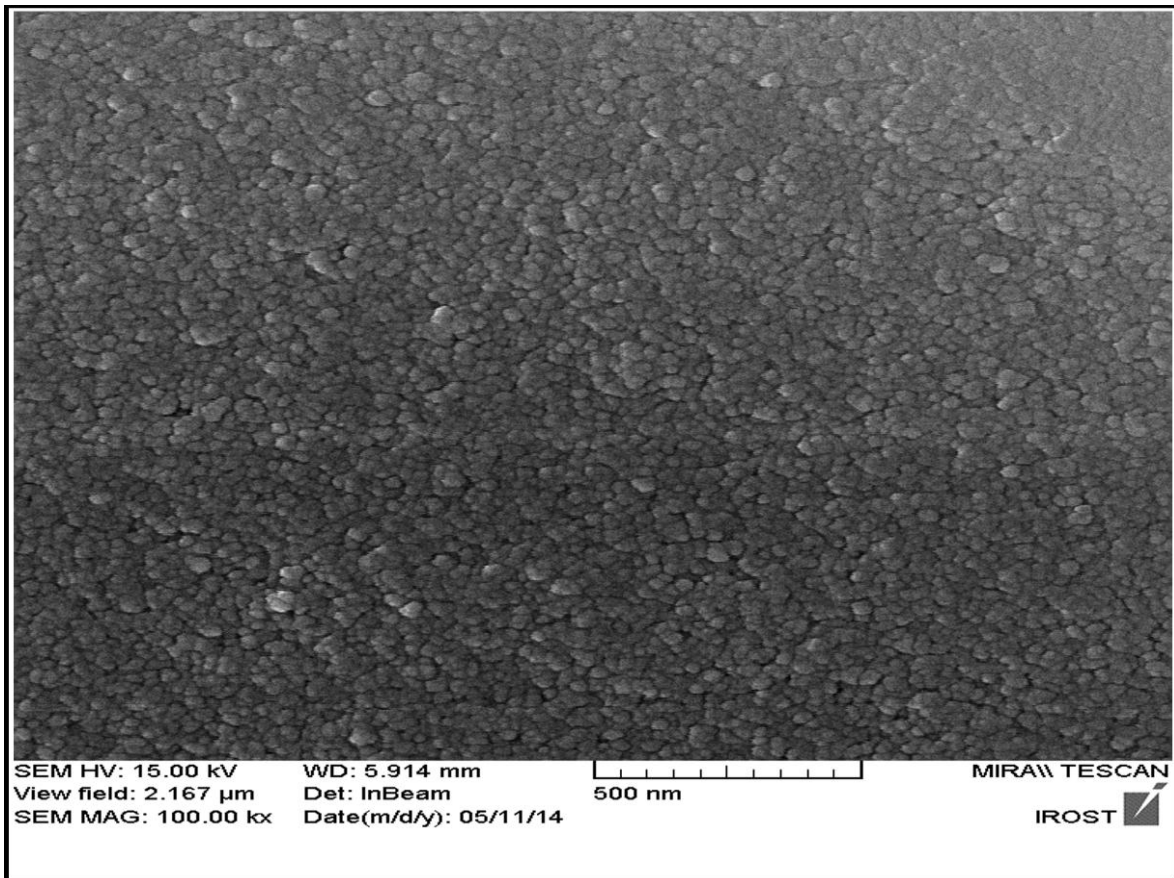
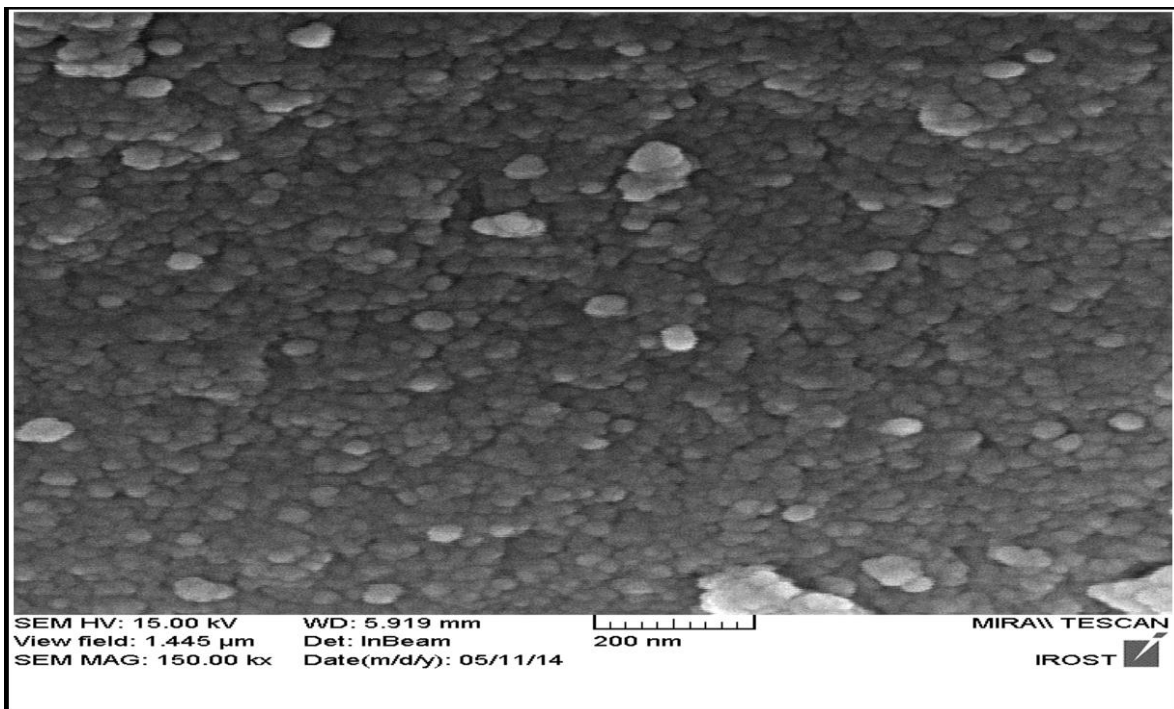
شکل ۳-۳۱. میکروگراف SEM آبکافت هیدرترمال_۲ + Zn(acac)_۲ با غلظت ۰/۲۵ مولار در ۲-بوتanol (SP9) در دمای ۵۰ °C، تکلیس در دمای ۶۰۰.. °C



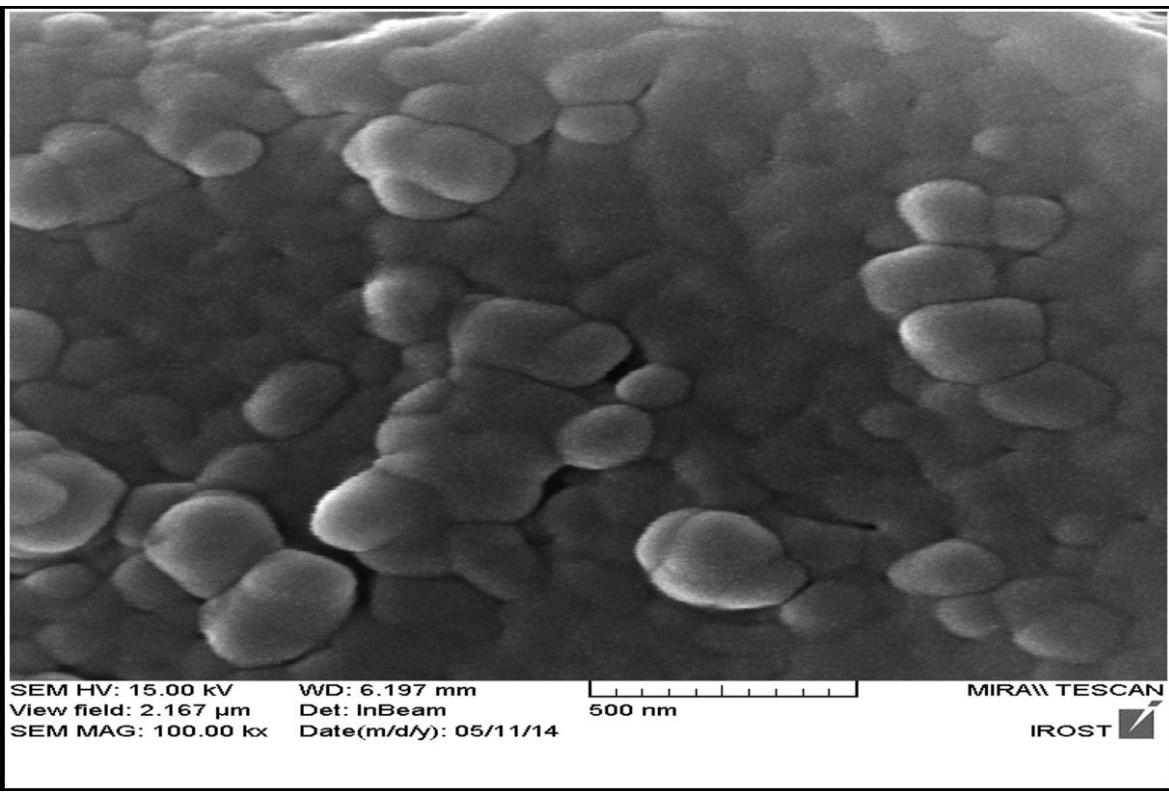
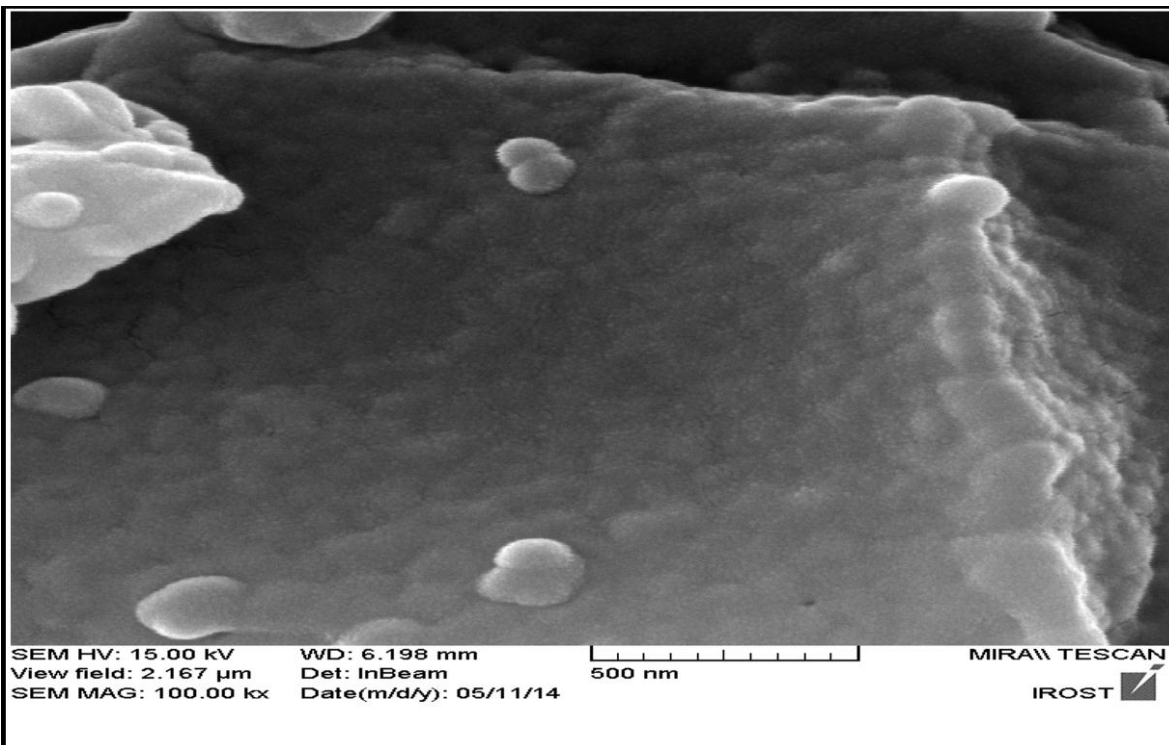
شکل ۳-۳۲. میکروگراف SEM آبکافت هیدرترمال $\text{Al}(\text{O}^{\text{s}}\text{Bu})_3 + \text{Zn}(\text{acac})_2$ با غلظت ۰/۲۵ مولار در ۲-بوتanol در دمای ۵۰ °C تکلیس در دمای ۸۰۰ °C (SP9)



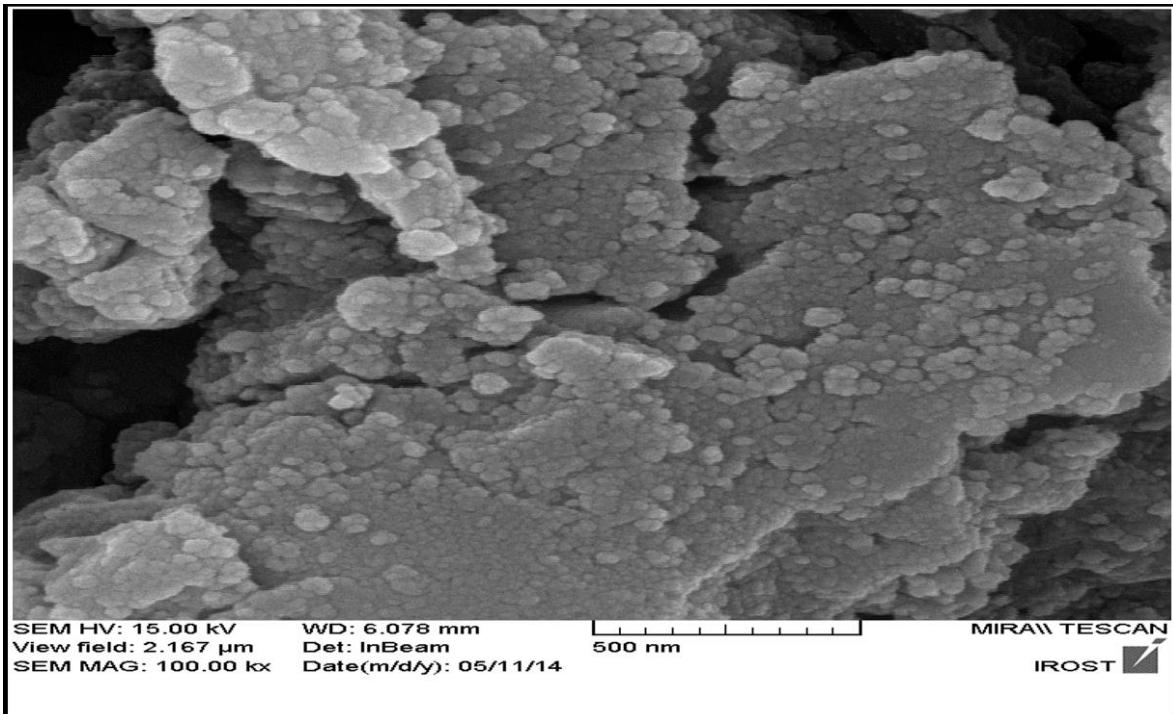
شکل ۳-۳. میکروگراف SEM آبکافت هیدرترمال₂ Al(O^δBu)₃ + Zn(acac)₂ با غلظت ۰/۲۵ مولار در ۲-بوتanol (SP12) در دمای ۴۰۰ °C با بزرگنمایی‌های متفاوت، تکلیس در دمای ۲۰۰ °C



شکل ۳-۳. میکروگراف SEM آبکافت هیدرترمال $\text{Al}(\text{O}^{\delta}\text{Bu})_3 + \text{Zn}(\text{acac})_2$ با غلظت ۰/۲۵ مولار در ۲-بوتanol (SP12) در دمای ۲۰۰ °C با بزرگنمایی‌های متفاوت، تکلیس در دمای ۵۰۰ °C

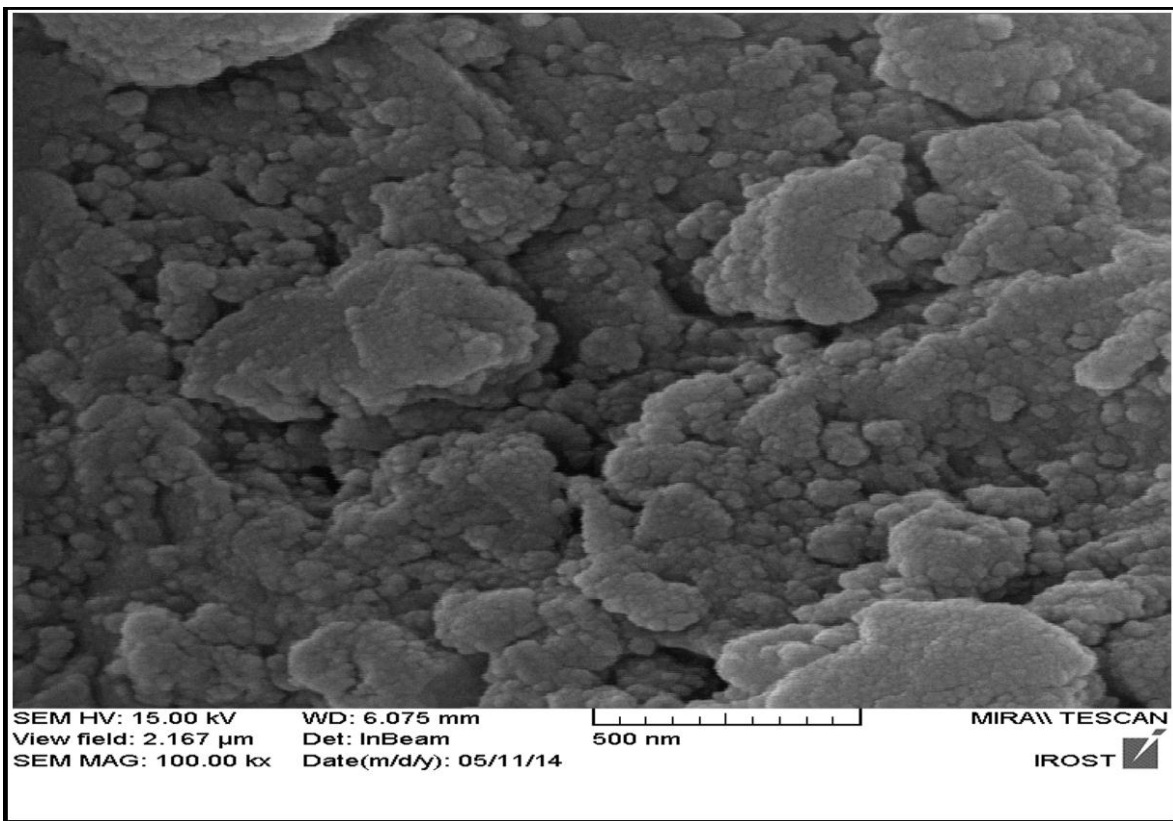


شکل ۳-۳. میکروگراف SEM آبکافت هیدرتمال_۲ + Zn(acac)_۲ با غلظت ۰/۲۵ مولار در ۲-پوتانول (SP12) در دمای ۶۰۰°C با بزرگنمایی‌های متفاوت، تکلیس در دمای ۲۰۰°C



SEM HV: 15.00 kV WD: 6.078 mm
View field: 2.167 μ m Det: InBeam
SEM MAG: 100.00 kx Date(m/d/y): 05/11/14

MIRAI TESCAN
IROST



SEM HV: 15.00 kV WD: 6.075 mm
View field: 2.167 μ m Det: InBeam
SEM MAG: 100.00 kx Date(m/d/y): 05/11/14

MIRAI TESCAN
IROST

شکل ۳-۳۶. میکروگراف SEM آبکافت هیدرترمال $25/0$ مولار در ۲-بوتanol
در دمای 800°C ، تکلیس در دمای 200°C (SP12)

جدول ۳-۵. مقایسه مساحت سطح آلومینات روی بدست آمده از روی روش‌های گوناگون

نمونه	روش تهیه گاهنیت	$S_{BET}(m^2 g^{-1})$ (particle size(nm))	مرجع
۱	روش هم رسوبی	86 (8)	61
۲	روش سل-ژل	58 (20)	62
۳	روش آلكوکسید	126 (28)	63
۴	روش سیتراتی	230 (5-20)	64
۵	روش هیدرورترمال	99 (10)	65
۶	روش تجزیه شمیایی توسط پیش ماده های آلی متفاوت	25/37(30)	66
۷	روش ادغام ماکروویو-هیدرورترمال	140(10)	67
۸	روش جدید سل-ژل هیدرورترمال استفاده شده در این پایان نامه	346 (9)	-

۳-۲- نتیجه‌گیری

فرآیند سل ژل - هیدروترمال به عنوان یک روش جدید برای سنتز نانو ذرات روی آلومینات از پیش ماده‌های مختلف در حللهای گوناگون در دمای پایین به کاربرده شد. نتایج XRD نشان داد که $\text{Al(O}^5\text{Bu)}_3$ با Zn(acac)_2 تک فاز بلوری تنها از آبکافت هیدروترمال نمونه‌های ZnAl_2O_4 بوتانول در دمای 50°C تا 200°C به دست می‌آید و در دیگر نمونه‌هادر بعضی دماها مخلوطی از فازهای ZnAl_2O_4 و ZnO وجود داشت. بدین ترتیب نوع پیش ماده و حلله، تأثیر مهمی در گسترش فاز دارد. همان طور که مشاهده شد، درصد تبلور فراورده با پیش ماده ZnCl_2 در حلله قطبی ۲-بوتانول و یا مخلوط تولوئن و ۲-بوتانول پایین آمده است که این پدیده می‌تواند مربوط به به دلیل انحلال بسیار سخت این پیش ماده در حلله قطبی ۲-بوتانول و یا مخلوط تولوئن و ۲-بوتانول دانست. بررسی میکرو گرافهای SEM نمونه‌ها، نیز اثر دمای آبکافت را تأیید می‌کند. همچنین این پژوهش نشان داد به کارگیری روش سل ژل - هیدروترمال در تهیه اسپینل ZnAl_2O_4 سبب کاهش دمای تکلیس تا 700°C می‌گردد درحالی‌که با روش‌های دیگر مانند حالت جامد در دماهای بالاتری اسپینل بدست می‌آید [۶۴-۶۵]. تکلیس در دمای بالا سبب کلوخه شدن ذرات اسپینل و گاهی هم وارونگی در ساختار اسپینل می‌شود. از برتری‌های دیگر این روش، تهیه فاز خالص اسپینل می‌باشد که با روش‌های دیگر به سبب رعایت نشدن استوکیومتری دقیق پیش ماده‌ها و یا کامل نشدن واکنش حالت جامد امکان‌پذیر نمی‌باشد. این پژوهش نشان داد که فرآیند سل ژل - هیدروترمال شیوه‌ی نوین و کارآمدی برای تهیه نانو ذرات اکسید فلزی می‌باشد و این به سبب امکان کنترل فرآیند آبکافت به شیوه‌ای ویژه می‌باشد چرا که آبکافت بانفوذ آهسته‌ی بخار آب به محلول آلکوکسید فلزی در فرآیند هیدروترمال انجام می‌گیرد [۶۶]. با این حال پژوهش و بررسی‌های بیشتری برای درک بهتر مکانیسم این پدیده نیاز است.

به علاوه همانطور که در جدول ۳-۵ دیده می شود، مساحت سطح آلومینات روی تهیه شده به این شیوه در تمام نمونه های تهیه شده تاکنون بهتر است که این نوآوری بسیار مهمی محسوب می شود. و در آخر می توان به طور کلی به مزایای این روش به کار رفته در ساخت گاهنیت اشاره کرد

- ۱- سنتز پیش ماده آلکوکسید آلومینیوم مورد نیاز از ضایعات آلومینیوم به شیوه‌ای نوین، ساده و ارزان.
- ۲- سنتز جاذب یا بستر کاتالیستی سبز نانو آلومینات روی به روش ساده، نوین و ارزان هیدروترمال-سل-ژل.
- ۳- توانایی بازیافت کامل مواد شیمیایی استفاده شده که سبب از بین رفتن کامل مزاحمت‌های شیمیایی و زیستی می‌گردد (فرآیند سبز محسوب می‌شود).
- ۴- به کارگیری ضایعات آلومینیوم که سبب کاهش آلودگی های زیست محیطی می‌گردد.
- ۵- تهیه نانو آلومینات روی با اندازه ذرات یکنواخت و کوچکتر از ۲۰ نانومتر.
- ۶- کاهش دمای تکلیس جهت تهیه نانو آلومینات روی که هم قیمت تمام شده را کاهش می دهد و هم به حفظ محیط زیست کمک می کند.
- ۷- افزایش مساحت سطح نانو ذرات آلومینات روی تا ۳۴۶ متر مربع بر گرم.

۳-۳-آینده نگری

افزایش نگرانی های زیست محیطی، پیشرفت فرآیندهای شیمی سبز و گاهی عدم انجام واکنش بدون کاتالیزگر، از یکسو، و همچنین قیمت بالای مواد اولیه و محدود بودن منابع آنها، از سوی دیگر، بکارگیری کاتالیزگرها را ضروری نموده است. از این رو و به سبب ارزشمندی و قیمت بالای کاتالیزگرها، پژوهشگران و صنعتگران به دنبال یافتن کاتالیزگرهایی با کارایی بالا و دارای قابلیت بازیابی هستند. همچنین، ناهمنگ کردن کاتالیزگرهای همگن افرون بر بهبود کارایی آنها سبب می شود بتوان با صاف کردن به راحتی کاتالیزگر را از مخلوط واکنش جدا کرده، دوباره مورد استفاده قرار داد. با مطالعه مزایای به کار رفته در این روش نسبت به روش های به کار رفته دیگر در ساخت آلومینات، نشان دهنده برتری این روش نسبت به روش های دیگر ساخت گاهنیت دارد، علاوه بر آن با افزایش مساحت سطح نانو ذرات آلومینات روی تا ۳۴۶ متر مربع بر گرم و هچنین کاهش دمای تکلیس جهت تهیه نانو آلومینات روی، می توان گفت از آلومینات روی ساخته شده با این روش ابتکاری می شود به عنوان یک بستر کاتالیستی در بهبود فرایند های کاتالیستی انواع واکنش های آلی مورد استفاده قرار گیرد.

منابع

1. V. G. Kessler, *Chem. Commun.*, 2003, 11, 1213.
2. D. C. Bradley, *Chem. Rev.*, 1989, 89, 1317.
3. R. C. Mehrotra, A. Singh, *prog. Inorg. Chem.*, 1997, 46, 239.
4. R. C. Mehrotra, A. Singh, S. Sogani, *Chem. Rev.*, 1994, 94, 1643.
5. M. Veith, S. Mathur, C. Mathur, *Polyhedron*, 1998, 12, 1034.
6. H. Dslich, Aria, *Angew. Chem. Int. Ed.*, 1971, 10, 363.
7. K. Byrappa, M. Yoshimura, *Handbook of Hydrothermal Technology*, Noyes Publication, U.S.A, 2001.
8. M. Yoshimura, K. Byrappa, *J. Mater. Sci.*, 2007, 14.
9. M. Yoshimura, K. Byrappa, *J. Mater. Sci.*, 2008, 43, 2085.
10. Y. Wang, G. Xu, L. Yang, Z. Ren, X. Wei, W. Weng, P. Du, G. Shen, G. Han, *Ceram. Int.*, 2008, 63, 239.
11. S. Somiya, R. Roy, *Bull. Mater. Sci.*, 2000, 23, 453.
12. Z. Chen, E. Shi, *Mater. Lett.*, 2002, 56, 601.
13. G. N. Maslennikova, *Glass. Ceram.*, 2001, 58, 23.
14. N. I. Radishevskaya, N. G. Kasatskii, A. Yu. Chapskaya, O. K. Lepakova, V. D. Kitler, Yu. S. Naiborodenko, V. V. Vereshchagin, *Glass. Ceram.*, 2006, 63, 20.
15. J. P. Fortin, *J. Am. Chem. Soc.*, 2007, 129, 2628.
16. I. Miron, C. Enache, I. Grozescu, *Nanomater. Biostruct.*, 2012, 7, 967.
17. S. Farhadi, S. Panahandehjoo, *Appl. Catal., A: Gen.*, 2010, 382, 293.
18. L. Schreyeek, A. Wlosik, H. Fuzellier, *J. Mater. Chem.*, 2001, 11, 486.
19. N. Kapoor, J. Klabunde, *J. Mater. Chem.*, 2003, 13, 414.
20. L. Gamaa, M.A. Ribeiro, B. S. Barros, R. H.A. Kiminami, I. T. Weber, A. C. F. M. Costa, *J. Alloys Compd.*, 2009, 483, 453.
21. M. Osgan and P. Teyssie, *J. Polym. Lett. Ed.*, 1967, 5, 792.
22. R. J. Bratton, *Am. Ceram. Soc. Bull.*, 1969, 48, 759.
23. M. Vasile, P. Vlazan, A. Bucur, P. Sfirloaga, I. Grozescu, N.M. Avram, *J. Optoelectron. Adv. Mater.* 4(2), 220 (2010)

24. Schwickardi, M.; Johann, T.; Schmidt, W.; Schueth, F. *Chem. Mater.* 2002, 14, 3913
25. X. Wei, D. Chen, *Mater. Lett.* 60, 823 (2006)
26. M. Zawadzki, *Solid State Sciences* 8, 14 (2006)
27. S. Menon, B. Dhabekar, E. A. Raja, S. P. More, T. K. Gundu Rao, R. K. Kher, *Luminescence*, 2008, 128, 1673.
28. R. Pandey, J.D. Gale, S.K. Sampath, J.M. Recio, *J. Am. Ceram. Soc.* 12 (1999) 3337-3341.
29. Y. Yang, X.W. Sun, B.K. Tay, J.X. Wang, Z.L. Dong, H.M. Fan, *Adv. Mater.* 19(2007) 1839-1844.
30. N.J. van der Laag, M.D. Snel, P.C.M.M. Magusin, G. de With, *J. Eur. Ceram. Soc.* 24 (2004) 2417-2424.
31. X. Duan, D. Yuan, X. Wang, H. Xu, *J. Sol-Gel Sci. Technol.* 35 (2005) 221-224.
32. D. Dhak, P. Pramanik, *J. Am. Ceram. Soc.* 89 (2006) 1014-1021.
33. X. Duan, D. Yuan, Z. Sun, C. Luan, D. Pan, D. Xu, M.K. Lv, *J. Alloys Compd.* 386 (2005) 311-314.
34. X. Wei, D. Chen, *Mater. Lett.* 60 (2006) 823-827.
35. S. Kurajica, E. Tkalcec, J. Sipusic, G. Matijasic, I. Brnadic, I. Simcic, *J. Sol-Gel Sci. Technol.* 46 (2008) 152-160.
36. M.V. Twigg, Catalyst Handbook, 2nd ed., *Wolfe Pub, London*, 1989
37. pelier F., chaumette P., saussey J., bettahar M.M., lavalley J.C., *Mol. Catal. A: Chemical*, 122 (1997), 131.
38. szymansky R., travers CH., chaumette P., courty PH., durand D., In: delmon B., grange P., jacobs P.A., poncelet G., (ed) *Studies in Surface Science and Catalysis*, Elsevier, Amsterdam 31 (1987), 739.
39. poesky R., weiguny J., bestgen H., dingerdissen U., *Appl. Catal. A: General*, 176 (1999), 213.
40. M. Zawadzki, *Solid State Sci.*, 2006, 8, 14.
41. X. Wei, D. Chen, *Mater. Lett.*, 2006, 60, 823.
42. A. Ballarini, S. Bocanegra, A. Castro, S. de Miguel, O. Scelza, *Catal. Lett.*, 2009, 302, 129.

47. R. Chandramohan, V. Dhanasekaran, R. Arumugam, K. Sundaram, J. Thirumalaie, T. Mahalingam, *Nanomater. Biostruct.*, 2012, 7, 1315.
48. G. Busca, V. Lorezelli, V. Bolis, Mater. *Chem. Phys.*, 1992, 31, 221.
49. A.G. Khaledi, S. Afshar a, H.S. Jahromi, **Materials Chemistry and Physics**, 2012, 135 ,855.
50. Saeed Farhadi, Kosar Jahanara, **Chinese Journal of Catalysis**, 2014, 35 , 368.
51. Mei Fang , Guoli Fan , Feng Li, **Catal Lett** ,2014, 144,142.
52. R. Thinesh Kumar , N. Clament Sagaya Selvam , C. Ragupathi , L. John Kennedy , J. Judith Vijaya, **Powder Technology** ,224,2012,147.
53. Robert Ianos,Silvana Borca-nescu,Radu Laza-u, **Chemical Engineering Journal** 240, 2014, 260.
54. Fatemeh Davara, Masoud Salavati-Niasari, **Journal of Alloys and Compounds** ,509, 2011, 2487.
55. Mehdi Ranjbar , Masoud Salavati-Niasari , S. Mostafa Hosseinpour-Mashkani, **J Inorg Organomet Polym** ,2012,22,1093.
56. Zhengru Zhu, Xinyong Li, Qidong Zhao, Shaomin Liu, Xijun Hu, Guohua Chen, **Materials Letters** 65 ,2011, 194.
57. M. Mirzaee, *Ph. D. Thesis*, Shahid Beheshti University, Tehran, Iran, 2007.
58. M. Ranjbar, M. Salavati-Niasari, S. M. Hosseinpour-Mashkani, *Inorg. Organomet. Polym.*, 2012, 22, 1093.
59. A. Gammard, O. Babaot , B. Jousseaucne, MC. Rasclle, TToupance, G .Campet, *Chem. Mater.*, 2000, 12, 3419.
60. W. Staszak, M. Zawadzki, J. J. Okal, *J. Alloys Compd.*, 2010, 492, 500.
61. D. Mazza, M. Vallino, G. Busca, *J. Am. Ceram. Soc.*, 1992, 75, 1929.
62. A. A. Da Silva, A. de Souza Goncalves, M. R. Davolos, *J. Sol-Gel Sci. Technol.*, 2009.,
63. F. Davar, M. Salavati-Niasari, *J. Alloys Compd.*, 2011, 509, 2487.
64. V. Ciupina, I. Carazeanua, G. Prodan, *Optoelectron. Adv. Mater.*, 2004, 6, 1317.
65. Saeid Farhadi, Somayeh Panahandehjoo, *Applied Catalysis A: General* 382,2010, 293.
66. A.A. Da Silva, A.D.S. Goncalves, M.R. Davolos, *J. Sol-Gel Sci. Technol.* 49,2009, 101.

63. C.O. Arean, B.S. Sintes, G.T. Palomino, C.M. Carbonell, E.E. Platero, *J.B. Soto, Micropor. Mater.* 8, 1997, 187.
64. L. Chen, X. Sun, Y. Liu, K. Zhou, Y. Li, *J. Alloys Comp.* 376, 2004, 257.
65. H. Grabowska, M. Zawadzki, L. Syper, *Appl. Catal. A: Gen.* 265, 2004, 221.
66. M. KUTTY PV, S. DASGUPTA, S. BANDYOPADHYAY, *Materials Science-Poland*, 29, 2011, 121.
67. Hanna Grabowska , Mirosław Zawadzki, Ludwik Syper, *Catal Lett* 121, 2008, 103.

Absract

Zinc aluminate spinel (Gahnite) has drawn considerable attention as a catalytic material with desirable properties such as high thermal stability, high mechanical resistance, low temperature sinterability, better diffusion and ductility, and low surface acidity. Due to these properties, it was used as a high temperature material, catalyst, catalyst support, and optical coating. In general, there are several preparation methods for ZnAl_2O_4 spinels, such as solid state-reaction, precipitation or co-precipitation, sol-gel, hydrothermal, molten salt, etc. In recent years, preparation of ceramic powders by sol-gel process and hydrothermal method has attracted a considerable interest. Part of this interest was caused by the fact that these methods offer good grip for control of morphology, homogeneity, surface area and pore size distribution in comparison to conventional routes. The effects of various parameters, including hydrothermal processing temperature, solvent polarity and the type of precursor in development of the zinc aluminate phase by hydrothermal-assisted sol-gel processing has been studied. In the present work, aluminum t-butoxide and aluminum 2-butoxide as aluminum precursor and zinc chloride as zinc precursors mixed in stoichiometric ratio with 0.25M concentration in a mixture of toluene and 2-butanol. The mixture then hydrolyzed in a stainless steel reactor at different temperatures (50-200 °C). The produced gels dried at 100°C overnight and calcined at 700 °C for 3 hours. The product powders have been characterized by FT-IR, PXRD, SEM,BET and TG/DSC. It was concluded that $\text{Zn}(\text{acac})_2$ as zinc precursor, polar protic solvents such as alcohols and hydrothermal process at 50°C were more appropriate for the preparation of pure single phase zinc aluminate with particle size of 9-27 nm.

Key words: Gahnite, Zinc Aluminate, Sol-gel, Hydrothermal, Nano-particle.



**Shahrood University Of Technology
Faculty of Chemistry**

**Investigation of Temperature, Concentration, Solvent and
Precursor on Preparation of $ZnAl_2O_4$**

Nano-Particle by Hydrothermal-Assisted Sol-Gel Processing

Mehdi abroudi

Supervisor:

Dr. Mahdi Mirzaee

september 2014